

**T.C.  
PAMUKKALE ÜNİVERSİTESİ  
FEN BİLİMLERİ ENSTİTÜSÜ  
FİZİK ANABİLİM DALI**

**Sn BAZLI YARI İLETKEN MALZEMELERİN İLK  
PRENSİPLER YÖNTEMİ İLE FİZİKSEL ÖZELLİKLERİNİN  
İNCELENMESİ**

**DOKTORA TEZİ**

**İSA ERDEM**

**DENİZLİ, MAYIS - 2015**

**T.C.  
PAMUKKALE ÜNİVERSİTESİ  
FEN BİLİMLERİ ENSTİTÜSÜ  
FİZİK ANABİLİM DALI**



**S<sub>n</sub> BAZLI YARI İLETKEN MALZEMELERİN İLK  
PRENSİPLER YÖNTEMİ İLE FİZİKSEL ÖZELLİKLERİNİN  
İNCELENMESİ**

**DOKTORA TEZİ**

**İSA ERDEM**

**DENİZLİ, MAYIS - 2015**

## KABUL VE ONAY SAYFASI

**İsa ERDEM** tarafından hazırlanan “**Sn Bazlı Yarı İletken Malzemelerin İlk Prensipler Yöntemi ile Fiziksel Özelliklerinin İncelenmesi**” adlı tez çalışmasının savunma sınavı 21.05.2015 tarihinde yapılmış olup aşağıda verilen jüri tarafından oy birliği / oy çokluğu ile Pamukkale Üniversitesi Fen Bilimleri Enstitüsü Fizik Anabilim Dalı Doktora Tezi olarak kabul edilmiştir.

Jüri Üyeleri

İmza

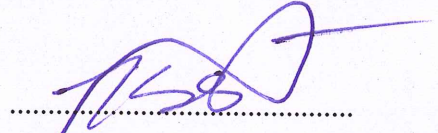
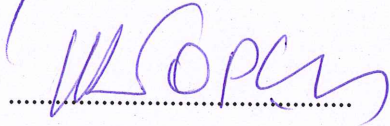

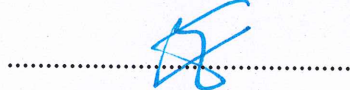
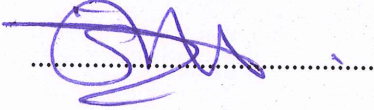
Danışman  
Doç. Dr. Hasan Hüseyin KART

Üye  
Prof. Dr. Muzaffer TOPÇU

Üye  
Prof. Dr. Orhan KARABULUT

Üye  
Prof. Dr. Ersen METE

Üye  
Doç. Dr. Sevgi ÖZDEMİR KART

  
.....  
  
.....  
  
.....  
  
.....  
  
.....

Pamukkale Üniversitesi Fen Bilimleri Enstitüsü Yönetim Kurulu'nun  
03/06/2015 tarih ve 20/15 sayılı kararıyla onaylanmıştır.

  
.....

Prof. Dr. Orhan KARABULUT

Fen Bilimleri Enstitüsü Müdürü

**Bu tez çalışması Pamukkale Üniversitesi BAP Koordinasyon Birimi ve TÜBİTAK-BİDEB tarafından 2012FBE002 ve 2214-Yurt Dışı Doktora Sırası Araştırma Bursu nolu proje ile desteklenmiştir.**

**Bu tezin tasarımı, hazırlanması, yürütülmesi, arařtırmalarının yapılması ve bulgularının analizlerinde bilimsel etięe ve akademik kurallara özenle riayet edildiđini; bu çalışmanın doğrudan birincil ürünü olmayan bulguların, verilerin ve materyallerin bilimsel etięe uygun olarak kaynak gösterildiđini ve alıntı yapılan çalışmalara atfedildiđine beyan ederim.**

**İsa ERDEM**

## ÖZET

### **Sn BAZLI YARI İLETKEN MALZEMELERİN İLK PRENSİPLER YÖNTEMİ İLE FİZİKSEL ÖZELLİKLERİNİN BELİRLENMESİ**

**DOKTORA TEZİ  
İSA ERDEM**

**PAMUKKALE ÜNİVERSİTESİ FEN BİLİMLERİ ENSTİTÜSÜ  
FİZİK ANABİLİM DALI**

**(TEZ DANIŞMANI:DOÇ. DR. HASAN HÜSEYİN KART)**

**DENİZLİ, MAYIS - 2015**

Bu çalışmada Sn (kalay) bazlı yarı iletken malzemelerin fiziksel özellikleri *ab initio* simülasyon yöntemi ile incelenmiştir. İlk prensipler yoğunluk fonksiyonel teorisi (DFT) hesapları, PAW (GGA) potansiyellerinin PBE tipi ve US (LDA) potansiyelleri kullanılarak yapılmıştır. SnO<sub>2</sub> malzemesinin gözlemlenen altı yapısal fazı vardır. Bütün fazların elastik sabitleri ve bunların basınç ile değişimleri hesaplanmıştır. Hesaplanan yapısal parametreler ve elastik sabitleri elde edilebilen diğer teorik ve deneysel sonuçlar ile uyumludur. Fazlar mekanik olarak kararlıdır. GGA ve LDA fonksiyonelleri ile hesaplanan SnO<sub>2</sub> rutil fazı enerji band aralığı beklenildiği gibi küçük hesaplanmıştır. SnO<sub>2</sub> rutil (tetragonal) fazının fonon dispersiyonları polarizasyondan kaynaklanan frekans kaymaları (LO/TO kayma) dahil edilecek şekilde örgü dinamiği hesapları ile elde edilmiştir. Deney sonuçlarından sapma % 10 mertebelerinde veya daha azdır. Bu sonuçlar örgü dinamiği hesaplamalarında DFT' nin başarısıdır ve güvenilir olduğunun göstergesidir. Mod frekanslarının basınç davranışları 10 GPa basınca kadar hesaplanmıştır. B<sub>1g</sub> modunda sonraki yapıya ferroelastik faz geçişinin bir işareti olarak değerlendirilen yumuşama görülmüştür. Kuazi-harmonik yaklaşım yapılarak Gibbs serbest enerjisi, hacim modülü, termal genleşme gibi fiziksel özelliklerin sıcaklık ile değişimleri elde edilmiştir. Gözlemlenen fazların dispersiyonları hesaplanmıştır, bu fazlar termodinamik kararlılık göstermektedirler. Farklı basınçlardaki SnO<sub>2</sub> florit yapı dispersiyonları termodinamik olarak kararsızlık göstermektedirler. Sonuç olarak, bazı teorik çalışmaların tersine, florit yapının SnO<sub>2</sub>' nin bir fazı olması mümkün görünmemektedir.

**ANAHTAR KELİMELELER:** İlk Prensipler Hesapları, Yoğunluk Fonksiyonel Teorisi, Yapısal Özellikler, Mekanik Özellikler, Enerji Band Aralığı, Fonon Dispersiyonları, Kuazi-harmonik Yaklaşım.

## ABSTRACT

### INVESTIGATION of PHYSICAL PROPERTIES of Sn BASED SEMICONDUCTOR MATERIALS by FIRST PRINCIPLES TECHNIQUES

PH.D THESIS  
İSA ERDEM

PAMUKKALE UNIVERSITY INSTITUTE OF SCIENCE  
PHYSICS

(SUPERVISOR:ASSOC. PROF. DR. HASAN HÜSEYİN KART)

DENİZLİ, MAY 2015

Physical properties of Sn (tin) based semiconductor materials have been investigated via *ab initio* simulation techniques in this study. First principles DFT calculations have been performed by employing PBE type of PAW (GGA) and US (LDA) potentials. SnO<sub>2</sub> has six polymorphs observed. Elastic constants of polymorphs of SnO<sub>2</sub> and pressure behavior of them have been calculated. Calculated structural parameters and elastic constants are in good agreement with other available theoretical and experimental studies. These polymorphs are stable mechanically. Calculated band gap energy values of rutile phase of SnO<sub>2</sub> using GGA and LDA functionals are underestimated as expected. Phonon dispersions of rutile (tetragonal) structured SnO<sub>2</sub> are obtained through lattice dynamics calculations including frequency shifts (LO/TO splitting) due to polarization. Deviations from experimental results are in the rate of 10 % or less. These results indicate that lattice dynamics calculations by DFT are successful and reliable. Pressure behavior of mode frequencies up to 10 GPa pressure are also calculated. Softening of B<sub>1g</sub> mode has been detected which can be interpreted as a sign of ferroelastic phase transition to the following structural phase. Temperature dependences of some physical properties such as Gibbs free energy, bulk modulus, thermal expansivity are obtained by applying quasi-harmonic approximation. The dispersions of polymorphs of SnO<sub>2</sub> observed are calculated and they show thermodynamical stability. However, dispersions of fluorite structure of SnO<sub>2</sub> at different pressures show thermodynamical instability. Hence, contrary to some theoretical studies, it seems impossible for fluorite structure to be a phase of SnO<sub>2</sub>.

**KEYWORDS:** First Principles Calculations, Density Functional Theory, Structural Properties, Band Gap energy, Phonon Dispersions, Quasi-harmonic Approximations.

# İÇİNDEKİLER

Sayfa

ÖZET.....	i
ABSTRACT .....	ii
İÇİNDEKİLER .....	iii
ŞEKİL LİSTESİ.....	v
TABLO LİSTESİ .....	vii
SEMBOLLER ve KISALTMALAR LİSTESİ.....	viii
ÖNSÖZ.....	x
<b>1. GİRİŞ.....</b>	<b>1</b>
<b>2. TEMEL BİLGİLER.....</b>	<b>6</b>
2.1 Kristal Yapılar .....	6
2.2 Çok Cisim Teorisi .....	9
2.3 Yoğunluk Fonksiyonel Teorisi (DFT).....	11
2.3.1 Hohenberg-Kohn Teoremleri.....	12
2.3.1.1 Teorem 1 .....	13
2.3.1.2 Teorem 2 .....	13
2.3.2 Kohn-Sham Benzetimi.....	15
2.3.3 Değiş-Tokuş ve Korelasyon (XC) Fonksiyonelleri .....	16
2.3.3.1 LDA ve Yerel Spin Yoğunluk Yaklaşımı (LSDA) .....	18
2.3.3.2 Genelleşmiş Gradyanlar Yaklaşımları (GGA).....	20
2.3.3.3 Hibrit Yaklaşımlar.....	21
2.3.4 Kohn-Sham Denkleminin Çözümü.....	22
2.3.5 Elektron-Çekirdek Etkileşmeleri ve Dalga Fonksiyonları.....	24
2.3.5.1 Baz Fonksiyonu Kümeleri.....	25
2.3.5.2 Düzlem Dalgalar (PW).....	26
2.3.6 Psödo Potansiyeller (PP).....	28
2.3.6.1 NCPP (Büyüklik Koruyan Psödo Potansiyeller).....	30
2.3.6.2 USPP(Ultra Yumuşak Psödo Potansiyeller) .....	32
<b>3. YÖNTEM.....</b>	<b>33</b>
3.1 Yapısal ve Mekanik Özellikler.....	33
3.1.1 Yapısal Özellikler ve Hesaplama Yöntemi.....	33
3.1.2 Faz Geçişleri ve Hesaplama Yöntemi.....	38
3.1.3 Mekanik Özellikler ve Hesaplama Yöntemi.....	39
3.1.3.1 Zorlanma ve Zor.....	39
3.1.3.2 Hooke Yasası ve Elastik Sabitleri .....	42
3.1.3.3 Elastik Sabitlerini Hesaplama Yöntemi .....	45
3.2 Enerji Band Aralığı .....	47
3.2.1 $E_g$ Band Aralığı Hesaplama Yöntemi .....	49
3.3 Örgü Dinamiği Özellikleri.....	50
3.3.1 Harmonik Enerji ve Termodinamik Fonksiyonlar .....	59
3.3.2 Kuazi-harmonik Yaklaşım .....	62
3.3.3 Örgü Dinamiği Hesaplama Yöntemi .....	65
<b>4. BULGULAR ve TARTIŞMA .....</b>	<b>66</b>
4.1 Yapısal Özellikler.....	66
4.1.1 Mekanik Özellikler .....	76
4.2 Elektronik Band Aralığı .....	80



4.3 Örgü Dinamiği Özellikleri.....	83
<b>5. SONUÇLAR VE ÖNERİLER.....</b>	<b>94</b>
<b>6. KAYNAKLAR.....</b>	<b>98</b>
<b>7. ÖZGEÇMİŞ.....</b>	<b>105</b>

# ŞEKİL LİSTESİ

## Sayfa

- Şekil 1.1:** Simülasyonlarda kullanılan programların uzunluk ve zaman ölçeği. 2
- Şekil 2.1:** Bir boyutta yapısal periyodikliğin  $u_k(x)$  Bloch teoremi ile dalga fonksiyonuna yansıtılması  $\psi_k(x) = e^{ikx}u_k(x)$ . ..... 7
- Şekil 2.2:** a) Basit tetragonal ve b) basit ortorombik yapıların IBZ' nin yüksek simetri noktalarından geçen yollar boyunca taranması..... 8
- Şekil 2.3:** Kohn-Sham denkleminin kendisiyle uyumlu iteratif (döngüsel) çözüm için iş-akış şeması..... 23
- Şekil 2.4:** Psödo potansiyel ve psödo dalga fonksiyonları temsili gösterimi. AE dalga fonksiyonu ve potansiyeli düz çizgilerle, psödodalga fonksiyonu ve psödopotansiyel daha düzgün davranış gösteren kesikli çizgi ile gösterilmiştir. .... 30
- Şekil 2.5:** PAW potansiyeli oluşturulmasında kullanılan dalga bileşenlerinin şematik gösterimi (Lee 2012). .... 31
- Şekil 3.1:** GGA(PBE) tipi PAW potansiyeli ile SnO<sub>2</sub>' nin yapısal fazlarının E-V (toplam enerji-hacim) grafikleri. Deneysel olarak gözlenmeyen florit fazı da dahil edilmiştir ..... 36
- Şekil 3.2:** SnO<sub>2</sub> yapısal fazlarının birim hücrelerinin temsili gösterimi a) rutil b) CaCl<sub>2</sub> c)  $\alpha$ -PbO<sub>2</sub> d) pirit e) ZrO<sub>2</sub> f-) cotunit..... 37
- Şekil 3.3:** PAW (GGA) PBE potansiyel hesaplamalarına göre SnO<sub>2</sub> malzemesinin  $\alpha$ -PbO<sub>2</sub> fazından pirit fazına geçişi  $P_T = 18.70$  GPa basınçta gerçekleşir. .... 38
- Şekil 3.4:** Uygulanan kuvvetler sırasıyla a) germe, b) sıkıştırma, c) kesme ve d) burma sağlamaktadır (Callister ve Rethwisch 2007). .... 39
- Şekil 3.5:** Kenarları ana eksnlere paralel birim kübün  $\epsilon_1$ ,  $\epsilon_2$  ve  $\epsilon_3$  zorlanmaları sonrasındaki görünümü. Şekilde sadece yer değiştirmeler gösterilmiş olup, rijit cisim ötelemeleri ve dönmeler gösterilmemiştir (Nye 1957). .... 41
- Şekil 3.6:** İki boyutta zor bileşenlerinin gösterimi..... 41
- Şekil 3.7:** a) Tek elektron enerji durumlarının bir araya gelmeleri ve b) bir araya gelen izinli enerji bandlarının arasındaki  $E_g$  yasak enerji aralığının (enerji band aralıkları) gösterimi (Callister ve Rethwisch 2007)..... 48
- Şekil 3.8:** Metaller, yarı iletkenler ve yalıtkan malzemelerin (Cu, Si ve Al<sub>2</sub>O<sub>3</sub>)  $E_g$  enerji band aralıklarının temsili gösterimi. .... 49
- Şekil 3.9:** a) Si band aralığı indirek, b) GaAs band aralığı direk band aralığıdır. .... 50
- Şekil 3.10:** Kristallerde ilerleyen dalgalar a) boyuna , b) enine (Dove 1993)..52
- Şekil 3.11:** Doğrusal zincir modeli. Atomik yerdeğiştirmeler u ile harmonik kuvvet sabitleri J ve etkileşmeler yay ile gösterilmiştir (Dove 1993)..... 52
- Şekil 3.12:** Bir boyutta tek atomlu örgünün akustik mod dispersiyonu (Dove 1993)..... 54
- Şekil 3.13:** İki atomlu lineer harmonik zincir. a örgü sabiti, M ve m atom kütleleri, G ve g kuvvet sabitleri ve  $U_n$  ve  $u_n$  yer değiştirmeler (Dove 1993)..... 55

<b>Şekil 3.14:</b> Baz atomları arasındaki yay sabitleri K ve G olan iki atomlu lineer zincirin dispersiyonunda akustik ve optik kollar. Burada kütleler ( $m = M$ ) eşit alınmıştır (Ashcroft ve Mermin 1976).....	56
<b>Şekil 4.1:</b> SnO litharge yapı optimizasyonlarının değerlendirme grafikleri, a) $E_{cut}$ (kesme enerjisi), b) $K_{cut}$ (ters uzay grid oluşturma), c) $c/a$ oranı, d) $u$ (iç parametre), e) E-V (toplam enerji-hacim) ve f) P-V (basınç-hacim).....	67
<b>Şekil 4.2:</b> SnO malzemesinin hesaplanan a) $c/a$ oranının, b) $u$ iç parametresinin deneysel veriler ile karşılaştırılması (Wang ve diğ. 2004).....	68
<b>Şekil 4.3:</b> SnO <sub>2</sub> malzemesinin yapısal fazlarının toplam enerji-hacim ilişkisi. Veriler a) Sn atomunun 4 valans elektronlu olduğu LDA tipi USPP ve b) Sn atomunun 14 valans elektronlu olduğu LDA tipi USPP potansiyelleri ile elde edilmiştir..	72
<b>Şekil 4.4:</b> SnO <sub>2</sub> yarı iletken malzemesinin PAW (GGA) potansiyellerinin PBE tipi kullanılarak hesaplanan band aralığı değeri 0.63 eV olup $\Gamma$ noktasında direk band aralığıdır. ....	81
<b>Şekil 4.5:</b> SnO <sub>2</sub> malzemesinin PAW (GGA) potansiyelinin PBE tipi kullanılarak hesaplanan detaylı durumlar yoğunluğu (PDOS). ....	82
<b>Şekil 4.6:</b> SnO <sub>2</sub> malzemesinin farklı potansiyeller kullanılarak Brillouin Bölgesi merkezi $\Gamma(0, 0, 0)$ civarında akustik mod frekanslarının davranışları, .....	84
<b>Şekil 4.7:</b> SnO <sub>2</sub> malzemesi rutil yapısının US (LDA) Sn(d) potansiyeli kullanılarak hesaplanan dispersiyonları. ....	85
<b>Şekil 4.8:</b> Boyuna ve enine optik modlarda polarizasyon kaynaklı frekans kaymaları (LO/TO) dahil edildiğinde SnO <sub>2</sub> rutil yapı dispersiyonları. ....	85
<b>Şekil 4.9:</b> SnO <sub>2</sub> rutil yapı mod frekanslarının basınç ile değişimleri. ....	88
<b>Şekil 4.10:</b> Denge hacmi civarında Helmholtz serbest enerjisinin değişimleri. Düşey çizgi minimum enerjilerden geçmektedir. ....	88
<b>Şekil 4.11:</b> Kuazi-harmonik yaklaşım uygulanarak a) Gibbs serbest enerjisi, b) B hacim modülü, c) Termal genleşme katsayısı, d) Hacim, e) $c_p$ sabit basınç öz ısısı, f) Grüneisen parametresinin sıcaklık ile değişimleri. ....	90
<b>Şekil 4.12:</b> SnO <sub>2</sub> yapısal fazlarının dispersiyonları ve hesaplandıkları basınç değerleri a) Rutil (0 GPa), b) CaCl <sub>2</sub> (7.07 GPa), c) $\alpha$ -PbO <sub>2</sub> (9.75 GPa), d) pirit (15.00 GPa), e) ZrO <sub>2</sub> (33.96 GPa) f) cotunit (43.62 GPa). ....	91
<b>Şekil 4.13:</b> SnO <sub>2</sub> malzemesinin florit yapısında farklı basınçlardaki dispersiyonları a) 0 GPa, b) 38 GPa, c) 63 GPa, d) 96 GPa.....	93

# TABLO LİSTESİ

## Sayfa

<b>Tablo 1.1:</b> Malzeme biliminde uzunluk ve zaman ölçekleri, birinci sütunda her ölçekteki önemli birim yapı, orta sütunlarda yaklaşık uzunluk ve zaman ölçekleri, son sütunda ise malzemenin mekanik davranışını simüle etmek için kullanılan yaklaşım gösterilmiştir (LeSar 2013).....	3
<b>Tablo 2.1:</b> Üç boyutta ögü çeşitleri (Kittel 2005). ....	6
<b>Tablo 3.1:</b> SnO <sub>2</sub> malzemesi için yapısal bilgiler. Sütunlarda sırasıyla faz adı, uzay grubu, uzay grup numarası, formül başına molekül sayısı Z, Wyckoff gösteriminde koordinat sembolleri ve birim hücredeki baz atomlarının pozisyonları verilmiştir. ....	34
<b>Tablo 3.2:</b> Kübik (C <sub>i</sub> ), tetragonal (T <sub>j</sub> ) ve ortorombik (O <sub>k</sub> ) zorlanmalar ve karşılık gelen enerji yoğunlukları ( $\Delta E/V_0$ ) (Soykan ve Kart 2014; Wallace 1972; Beckstein ve diğ. 2001).....	46
<b>Tablo 4.1:</b> SnO <sub>2</sub> malzemesinin yapısal fazlarının hesaplanan yapısal parametreleri a(Å), b(Å), c(Å) ve u, v, w, x, y, z iç parametrelerinin, B <sub>0</sub> hacim modülü, B' <sub>0</sub> hacim modülünün basınç türevinin deneysel ve diğer teorik çalışmalar ile karşılaştırılması. Verildiği faza bir önceki fazdan geçişi gösteren P <sub>T</sub> geçiş basınçları GPa biriminde verilmiştir. ....	69
<b>Tablo 4.2:</b> SnO <sub>2</sub> malzemesinin fazlarının hesaplanan yapısal parametreleri a(Å), b(Å), c(Å) ve u, v, w iç parametrelerinin, B <sub>0</sub> hacim modülü ve B' <sub>0</sub> hacim modülünün basınca göre türevinin deneysel çalışmalar ile karşılaştırılması. Verilerin elde edildiği basınç değeri Basınç (GPa) şeklinde, verilen fazdan bir sonraki faza geçiş basıncı ise P <sub>T</sub> (GPa) şeklinde verilmiştir. ....	74
<b>Tablo 4.3:</b> SnO <sub>2</sub> rutil yapının 0 GPa basınçta hesaplanan elastik sabitlerinin deneysel sonuçlarla karşılaştırılması ve elastik sabitlerinin basınç ile değişimleri. ....	77
<b>Tablo 4.4:</b> SnO <sub>2</sub> malzemesinin yapısal fazlarının C <sub>ij</sub> (GPa) elastik sabitlerinin basınç altında değişimleri, Basınç değerleri GPa biriminde verilmiştir.....	78
<b>Tablo 4.5:</b> SnO <sub>2</sub> rutil yapının elastik sabitlerinin farklı potansiyeller ile hesaplanması ve sonuçların deneysel ve LDA potansiyelinin kullanıldığı teorik çalışmalar ile karşılaştırılması, elastik sabitleri GPa birimindedir. ....	80
<b>Tablo 4.6:</b> SnO <sub>2</sub> malzemesinin hesaplanan band aralığı enerjisinin deneysel ve teorik çalışmalar ile karşılaştırılması.....	82
<b>Tablo 4.7:</b> SnO <sub>2</sub> malzemesinin $\Gamma$ noktasında farklı potansiyeller kullanılarak hesaplanan titreşim frekanslarının deneysel sonuç ile karşılaştırılması. ....	84
<b>Tablo 4.8:</b> SnO <sub>2</sub> rutil yapı dispersiyonlarına boyuna ve enine optik modlarda polarizasyon kaynaklı frekans kaymaları (LO/TO) dahil edildiğinde BB merkezi $\Gamma$ noktasında hesaplanan frekans değerlerinin elde edilebilen deneysel ve teorik çalışmalar ile karşılaştırılması. ....	87

## SEMBOLLER ve KISALTMALAR LİSTESİ

<b>AE</b>	: All Electrons (Tüm Elektronlar)
<b>APW</b>	: Augmented Plane Waves (Çoğaltılmış Düzlem Dalgalar)
<b>BB</b>	: Brillouin Bölgesi
<b>BBB</b>	: Birinci Brillouin Bölgesi
<b>BLYP</b>	: Becke-Lee-Yang-Parr
<b>CI</b>	: Configuration Interactions (Konfigürasyon Etkileşimleri)
<b>DFT</b>	: Density Functional Theory (Yoğunluk Fonksiyonel Teorisi)
<b>DFPT</b>	: Density Functional Perturbation Theory (Yoğunluk Fonksiyonel Pertürbasyon Teorisi)
<b>DMFT</b>	: Dynamical Mean Field Theory (Dinamik Ortalama Alan Teorisi)
<b>DOS</b>	: Density of States (Durumlar Yoğunluğu)
<b>EOS</b>	: Equation of State (Durum Denklemi)
<b>FEA</b>	: Finite Element Analysis (Sonlu Elemanlar Analizi)
<b>FFT</b>	: Fast Fourier Transformation (Hızlı Fourier Dönüşümü)
<b>GGA</b>	: Generalized Gradient Approximation (Genelleşmiş Gradyan Yaklaşımı)
<b>GW</b>	: Green's Function and Dynamical Screened Coulomb Kernel (Green Fonksiyonları ve Dinamik Olarak Perdelenmiş Etkileşimler)
<b>HF</b>	: Hartree-Fock
<b>HK</b>	: Hohenberg-Kohn
<b>HSE</b>	: Heyd-Scuseria-Ernzerhof
<b>IR</b>	: Infrared (Kızılötesi)
<b>IBZ</b>	: Irreducible Brillouin Zone (İndirgenemez Brillouin Bölgesi)
<b>KS</b>	: Kohn-Sham
<b>LA</b>	: Longitudinal Acoustic (Boyuna Akustik)
<b>LCD</b>	: Liquid Crystal Display (Sıvı Kristal Görüntüleme)
<b>LDA</b>	: Local Density Approximation (Yerel Yoğunluk Yaklaşımı)
<b>LSDA</b>	: Local Spin Density Approximation (Yerel Spin Yoğunluk Yaklaşımı)
<b>LO</b>	: Longitudinal Optic (Boyuna Optik)
<b>MBPT</b>	: Many Body Perturbation Theory (Çok Parçacık Pertürbasyon Teorisi)
<b>MC</b>	: Monte Carlo
<b>MD</b>	: Molecular Dynamics (Moleküler Dinamik)
<b>NAC</b>	: Non Analytic Corrections (Analitik Olmayan Düzeltmeler)
<b>NCPP</b>	: Norm Conserving Pseudo Potential (Büyüklik Korunmalı Psödo Potansiyel)
<b>NLCC</b>	: Non Linear Core Corrections (Lineer Olmayan Kor Düzeltmeleri)
<b>NŞA</b>	: Ambient Conditions (Normal Şartlar Altında)
<b>OPW</b>	: Orthogonalized Plane Waves (Dikleştirilmiş Düzlem Dalgalar)
<b>OEP</b>	: Optimized Effective Potential (Optimize edilmiş Etkin Potansiyel)
<b>PBC</b>	: Periodic Boundary Conditions (Periyodik Sınır Şartları)
<b>PDOS</b>	: Projected Density of States (Ayrıştırılmış Durumlar Yoğunluğu)
<b>PP</b>	: Pseudo Potential (Psödo Potansiyel)
<b>PW</b>	: Plane Waves (Düzlem Dalgalar)
<b>PAW</b>	: Projector Augmented Waves (Hedefleyen Çoğaltılmış Dalgalar)

<b>PBE</b>	: Perdew-Burke-Ernzerhof
<b>QHA</b>	: Quasi-harmonic Approximation (Kuazi-harmonik Yaklaşım)
<b>SDFT</b>	: Spin Density Functional Theory (Spin Yoğunluk Fonksiyonel Teorisi)
<b>TA</b>	: Transverse Acoustic (Enine Akustik)
<b>TDDFT</b>	: Time Dependent Density Functional Theory (Zamana Bağlı Yoğunluk Fonksiyonel Teorisi)
<b>TF</b>	: ThomasFermi
<b>TO</b>	: Transverse Optic (Enine Optik)
<b>TM</b>	: Troullier-Martin
<b>USPP</b>	: Ultra Soft Pseudo Potential (Ultra Yumuşak Psödo Potansiyel)
<b>XC</b>	: Exchange and Correlation (Değiş-Tokuş ve Korelasyon)
<b>VASP</b>	: Vienna <i>Ab Initio</i> Simulation Package (Viyana <i>Ab Initio</i> Simülasyon Paketi)
<b>YFT</b>	: Yoğunluk Fonksiyonel Teorisi
<b>WDA</b>	: Weighted Density Approximation (Yerel Olmayan Ağırlıklı Yoğunluk Fonksiyonel Teorisi)

## ÖNSÖZ

Çalışmalarında maddi ve manevi desteklerini gördüğüm tecrübelerinden istifade ettiğim değerli danışmanım Doç. Dr. Hasan Hüseyin KART' a ve çoğu zaman eş danışman gibi görev alan sevgili hocam Doç. Dr. Sevgi ÖZDEMİR KART' a teşekkür ederim. Projenin hayata geçirilmesinde büyük emeği olan bilgi ve tecrübesinden istifade ettiğim ve beni yanında bir yıl misafir eden Texas A&M Üniversitesi öğretim üyesi Prof. Dr. Tahir Çağın hocama ayrıca teşekkür ederim. Doktora tez izleme jürisinde görev alan fikir ve düşünceleriyle bana rehberlik eden değerli hocalarım Prof. Dr. Muzaffer TOPÇU ve Prof. Dr. Orhan KARABULUT' a teşekkür ederim. Simülasyonlarda yoğunluk fonksiyonel teorisinde tıkanıp noktalarda bana yol gösteren Prof. Dr. Ersen METE' ye teşekkür ederim. Pamukkale Üniversitesi Fen Edebiyat Fakültesi Fizik Bölümü' nde hocalarıma, mesai arkadaşlarıma ve Simülasyon Grubu arkadaşlarıma teşekkür ederim.

Yetişmemde emeği geçen herkese, aileme ve özellikle de maddi ve manevi desteğini doğduğumdan bu yana hiç eksik etmeyen anneme teşekkür eder, bu tez çalışmamı kendisine ithaf ederim.

Simülasyonlar Pamukkale Üniversitesi Fizik Bölümü Malzeme Fiziği Simülasyon Laboratuvarı bilgisayarları, TÜBİTAK (ULAKBİM) TR-GRİD küme bilgisayarları, Texas A&M Üniversitesi süperbilgisayar ve küme bilgisayar imkanları kullanılarak gerçekleştirilmiştir.

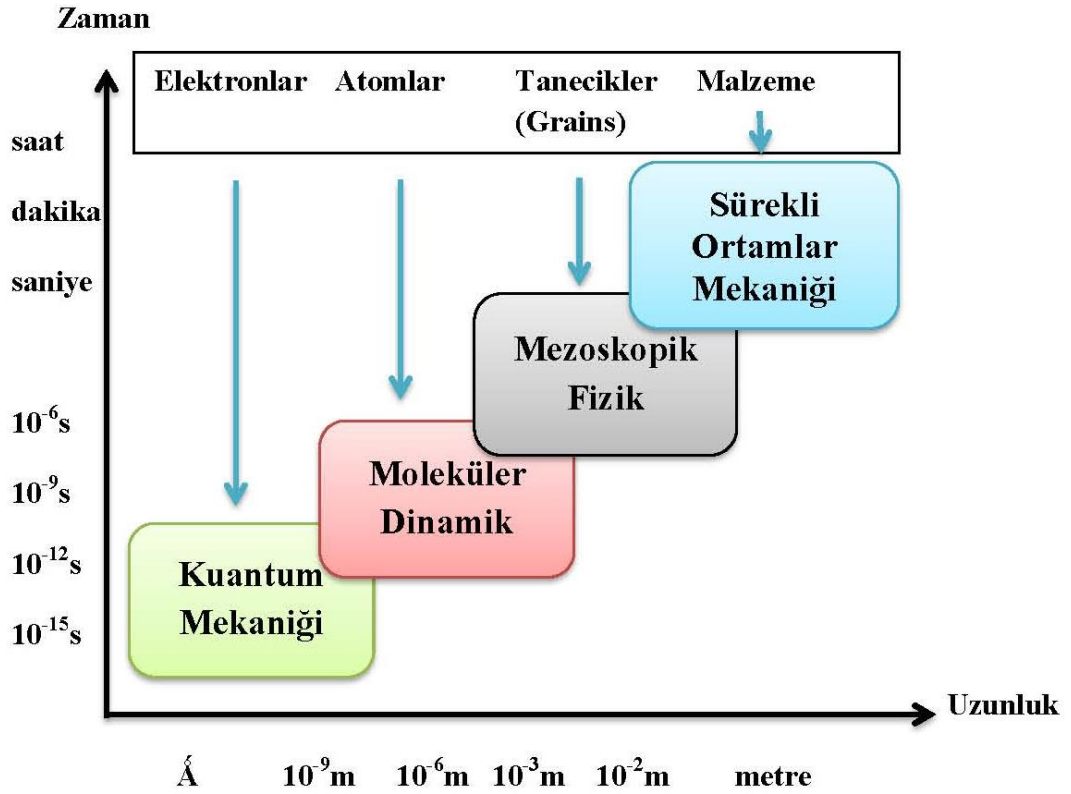
Doktora çalışmalarına maddi katkılarından dolayı Pamukkale Üniversitesi Bilimsel Araştırma Projeleri Koordinasyon Birimine, tez çalışmalarımın bir kısmını Amerika Birleşik Devletleri Texas A&M Üniversitesi' nde yapmam için 2214-Doktora Sırası Yurt Dışı Araştırma bursu (12 ay) desteğinden dolayı TÜBİTAK-BİDEB kurumuna teşekkür ederim.

# 1. GİRİŞ

Malzemelerin karakteristik özelliklerinin anlaşılması yeni malzemelerin geliştirilmesinde rol oynar. Yapı ve karakteristik özellikler arasındaki ilişkiyi malzeme bilimciler araştırırken, malzeme mühendisleri ve diğer mühendisler tesbit edilen bu özelliklerin ihtiyacı karşılayacak şekilde üretime dönüştürülmesi için çalışırlar. Malzemelerin karakteristik özellikleri şu başlıklar altında toplanabilir: Mekanik, elektrik, termal, manyetik, optik ve bozulma. Bu özelliklerin belirlenmesinde deneysel çalışmaların yanında teorik ve modelleme çalışmaları da yaygın bir şekilde kullanılmaktadır (Callister ve Rethwisch 2007). Son yıllarda bilgisayarların hem yazılım hem de donanım alanındaki baş döndürücü gelişmeler, hesaplamalı (computational) modelleme ve simülasyonların malzeme alanındaki kullanımını oldukça kolaylaştırmış ve yaygınlaştırmıştır. Malzemelerin özelliklerinin incelenmesinde veya yeni malzemelerin tasarlanmasında bilgisayar veya programlama uzmanı olmanıza gerek olmadan hesaplamalı yöntemleri kullanmak mümkündür. Model; gerçek bir davranışın idealleştirilmesi veya fiziksel dayanağını kullanarak kabaca tanımının yapılmasıdır. Model; gerçek bir davranışın belirli bir doğruluğa kadar tanımlanması olduğu için kesinlikle doğru olan temel bir tanım demek olan teori ile karıştırılmamalıdır. Simülasyon ise modellenen bir sistemin belirlenen şartlar altında dış kuvvetlere tepkisinin hesaplanmasıdır. Simülasyonlar modeller temel alınarak yapılırlar ve malzemelerin fiziksel özelliklerinin araştırılmasında bilimsel amaçlı olarak ya da uygulamaya yönelik mühendislik amaçlı olarak kullanılırlar. Simülasyon ile etkisi araştırılmak istenilen parametre dışındaki etkileri sabitleyerek veya tamamen ortadan kaldırarak temiz deney ya da düşünce deneyi (gedanken experiment) gerçekleştirilebilir. Modeller ve hesaplamalar geçerlilikleri önce deneysel verilerle test edilir sonra da deneysel verilerin hiç olmadığı veya çok sayıdaki parametrelerin ihtimal dahilindeki bütün değişimleri için çıkarımlar yapmakta kullanılabilirler. Bu yönüyle bilimsel çalışmalarda laboratuvar deneyleriyle özdeş bir ortak gibi hizmet verirler. Malzemelerin davranışları nanometreden metreye uzunluk ölçeğinde veya femtosaniyeden on yıllara zaman ölçeğinde değişiklik gösterdiği için kullanılacak modelin seçiminde titizlik gösterilmelidir. Örneğin bir malzemenin mekanik özelliklerinin incelenmesi için



kullanılması gereken modelin belirlenmesinde Şekil 1.1 ve Tablo 1.1’de verilen uzunluk ve zaman ölçeklemesi iyi bir fikir vermektedir. Simülasyon metodu hesaplanmak istenilen özellik için o boyutta etkili olan birime göre seçilmelidir. Başarılı ve amaca hizmet eden bir modelleme ve simülasyon yapabilmek için sistem ve problem iyi tanımlanmalı ve simülasyon yöntemi doğru seçilmelidir (LeSar 2013).



**Şekil 1.1:** Simülasyonlarda kullanılan programların uzunluk ve zaman ölçeği.

Matematiksel modellerin bilimsel çalışmada çok önemli bir yeri vardır. Fiziksel bir olgu onların yardımıyla sayısal analizlerde kullanılabilir. Modelin bilgisayar programı yazılır, bilgisayar ve program da hesaplama deneyi (computing experiment) ile modellenen fiziksel sistemin zaman içerisindeki değişimini keşfetmeyi mümkün kılar. Fizik olayları başlangıçta analitik çözümleri yapılabilen lineer problemler olarak ele alınsa da doğadaki süreçlerin çoğunluğu lineer değildir. Değişkenlerinden birindeki küçük bir değişim diğer bir değişkeninde büyük değişimlere sebep olabilir. Sayısal modelleme çok parçacıklı (ya da çok serbestlik dereceli) sistemlerin davranışlarının analizinde çok yararlıdır. Sayısal modellemeler hesaplama deneyi olarak da adlandırılmaktadır. Fiziksel bir sistemin idealleştirilmesi ile oluşturulan bir modelin gerçekleşmesi yani

simülasyonu çeşitli algoritma ve yöntemlerle bilgisayarda yapılır. İdealleştirilmiş modellerle henüz laboratuvarında deneyi yapılmamış bir durumun vereceği sonuçlar tam olarak elde edilebilmektedir. Modelleme ve simülasyona bazı fiziksel özelliklerin araştırılmasının zor olduğu ya da doğrudan araştırma yapmanın mümkün olmadığı durumlarda da başvurulmaktadır. Hesaplama deneylerinde laboratuvarın aksine sistem parametrelerinin kontrolü daha kolaydır ve tam olarak bilinmektedir, bu da olgu ve süreç analizlerinin kolaylaşması anlamına gelmektedir (Ovrutsky 2014).

**Tablo 1.1:** Malzeme biliminde uzunluk ve zaman ölçekleri, birinci sütunda her ölçekteki önemli birim yapı, orta sütunlarda yaklaşık uzunluk ve zaman ölçekleri, son sütunda ise malzemenin mekanik davranışını simüle etmek için kullanılan yaklaşım gösterilmiştir (LeSar 2013).

Birim	Uzunluk	Zaman	Mekanik
Kompleks yapı	$10^3$ m	$10^6$ s	Yapısal mekanik
Basit yapı	$10^1$ m	$10^3$ s	Kırılma mekaniği
Bileşke (component)	$10^{-1}$ m	$10^0$ s	Sürekli (continuum) mek.
Topak (grain) mikroyapı	$10^{-3}$ m	$10^{-3}$ s	Kristal plastisite
Dislokasyon mikroyapı	$10^{-5}$ m	$10^{-6}$ s	Mikromekanik
Tek dislokasyon	$10^{-7}$ m	$10^{-9}$ s	Dislokasyon dinamiği
Atomik	$10^{-9}$ m	$10^{-12}$ s	Moleküler dinamik
Elektron orbitalleri	$10^{-11}$ m	$10^{-15}$ s	Kuantum mekaniği

Atomistik bilgisayar simülasyonu ile kristallerin yapıları, kimyasal bağlar ve enerjileri hesaplanabilir. Enerji ve gradyanının (değişim oranının) hesaplanması doğrudan veya dolaylı olarak birçok fiziksel özelliğin hesaplanması demektir. Toplam enerji, iç enerji, kohesif enerji ve serbest enerji hesaplanarak faz geçişleri, faz kararlılıkları, atomlar üzerindeki kuvvetler, mekanik, elektronik, optik, manyetik ve termodinamik özellikler ile bunların basınç, sıcaklık ya da ilgili parametre ile değişimlerinin hesaplanması verilebilecek örneklerden birkaçıdır (Brázdová ve Bowler 2013). Malzeme, fizik, kimya ve mühendislik uygulamalarında kullanılmakta olan simülasyon metodları doğadaki dört temel kuvvetten en etkili olan elektromanyetik kuvvetler esas alınarak yapılmaktadır. Simülasyon metodlarını dört ana başlık altında toplamak mümkündür:

- 1-) Sonlu eleman analizi (finite element analysis, FEA)
- 2-) Monte Carlo (MC) metodu
- 3-) Moleküler dinamik (MD)
- 4-) First principles (ilk prensipler) veya *ab initio* (başlangıçtan) metodu (Lee 2012).

*Ab initio* metodların başarısı başlangıçta sadece atom türlerinin belirtilmesi ve başka herhangi bir deneysel dış parametre ve müdahaleye gerek olmamasında yatmaktadır (Ovrutsky 2014).

Bu tez çalışması; ilk prensipler metodlarından olan yoğunluk fonksiyonel teorisi (density functional theory, DFT) metodu kullanılarak yapılmıştır. Kuantum mekanik hesapların yapıldığı bu metod bir sonraki bölümde ayrıntılı bir şekilde anlatılacaktır. Kalay (Sn) bazlı malzemelerden SnO<sub>2</sub> (kalay iki oksit) literatürdeki diğer isimleri cassiterite ve stannic oxide olan malzeme hem elektriksel iletkenlik hem de optik geçirgenlik özelliklerine aynı anda sahip olan ender malzemelerden birisidir (Kılıç ve Zunger 2002). Bu yönü ile malzeme en son teknoloji ürünlerinde çok yaygın bir şekilde kullanılmaktadır. Boya duyarlı güneş hücrelerinde foto anod olarak, elektro-katalitik ve foto-katalitik özelliklerinden dolayı organik oksidasyon süreçlerinde, kendini temizleme özelliğine sahip yüzey ve anti-mikrobiyal ortam oluşturmada, opto-elektronik nanomalzeme üretiminde, sıvı kristal ve plazma görüntüleme (LCD) sistemleri, dokunmatik ekran yapımı, gaz sensörleri yapımında ve lityum-iyon pillerde anod malzemesi olarak kullanımı uygulama alanlarından sadece bazılarıdır (Li ve diğ. 2011; Yeng ve diğ. 2010; Hwang ve diğ. 2011; Çağlar ve diğ. 2009; Ohgaki ve diğ. 2010; Lian ve diğ. 2011). SnO<sub>2</sub> malzemesi normal şartlar altında rutil (tetragonal) yapıda kristalleşmiş halde bulunur. Deneysel olarak sıcaklık ve/veya basınç uygulanarak (bu DFT çalışmasında ise sadece basınç uygulanarak) diğer yapısal fazlarına geçişi sağlanmaktadır. Deneysel olarak gözlenen ve yapısal parametreleri elde edilen ve hesaplarla da doğrulanan yapısal fazlar ve bu fazların sıralanması şu şekildedir: Rutil (tetragonal), CaCl<sub>2</sub> (ortorombik),  $\alpha$ -PbO<sub>2</sub> (ortorombik), pirit (kübik), ZrO<sub>2</sub> (ortorombik) ve cotunit (ortorombik) yapılarıdır. Bu tez çalışmasının amacı Sn (kalay) bazlı yarı iletken malzemelerin *ab initio* simülasyon yöntemini kullanarak fiziksel özelliklerinin belirlenmesidir. SnO<sub>2</sub> yarı iletken malzemesinin ve yüksek basınç fazlarının yapısal özellikleri, faz geçişleri ve bu fazların mekanik özellikleri, elastik sabitleri ve basınç ile değişimleri, rutil yapıdaki elektronik band aralığı, kuazi-harmonik yaklaşım ile titreşim frekansları (fonon dispersiyonları), hacim modülü, Gibbs serbest enerjisi, termal genleşme gibi fiziksel özelliklerinin sıcaklık ile değişimleri incelenmiş ve yüksek basınç fazlarının termodinamik olarak kararlı olup olmadıkları, fonon dispersiyonları hesaplanarak ve deneysel çalışmalar göz önünde bulundurularak incelenmiştir. Simülasyonlar Vienna

*Ab Initio* Simülasyon Paket programı (VASP) kullanılarak gerçekleştirilmiştir (Kresse ve Hafner 1993). Örgü dinamiği hesaplamalarında ve sonuçlarının görüntülenmesinde PHONOPY programından yararlanılmıştır (Togo ve diğ. 2008). Grafikler açık kaynak kodlu program Gnuplot kullanılarak çizilmiştir (Gnuplot 2015). Yapısal fazların görüntüsü XCrySDen programında oluşturulmuştur (Kokalj 2003). Elektronik band yapıları ve parçalı durumlar yoğunluğu (PDOS) grafikleri açık kaynak kodlu program p4VASP kullanılarak elde edilmiştir (p4VASP 2015).

## 2. TEMEL BİLGİLER

### 2.1 Kristal Yapılar

Katı kristal yapıları birim hücre ya da bir örgü noktası içeren ilkel hücre veya kristalin bütün simetrilerini içerecek şekilde seçilmiş olan ilkel hücre olan Wigner-Seitz hücrelerinin üç boyutlu uzayda ötelenmesi ile oluşturulan periyodik yapılar şeklinde tanımlamak mümkündür. Bir veya daha çok sayıda baz atomu içeren Bravais örgülerde öteleme işlemi şu şekilde tanımlanan bir vektör ile yapılır:

$$\mathbf{R} = n_1\mathbf{a}_1 + n_2\mathbf{a}_2 + n_3\mathbf{a}_3. \quad (2.1)$$

Burada  $n_1, n_2, n_2$  tam sayılar,  $\mathbf{a}_1, \mathbf{a}_2, \mathbf{a}_3$  aynı düzlemde olmayan üç vektördür. Örneğin yüzey merkezli kübik örgüde orijindeki bir örgü noktasını kübün yüzey merkezlerindeki örgü noktalarına bağlayan ilkel öteleme vektörleri şu şekildedir:  $\mathbf{a}_1 = \frac{1}{2} a (\mathbf{x} + \mathbf{y})$ ;  $\mathbf{a}_2 = \frac{1}{2} a (\mathbf{y} + \mathbf{z})$ ;  $\mathbf{a}_3 = \frac{1}{2} a (\mathbf{z} + \mathbf{x})$ . Tablo 2.1' de verildiği gibi Bravais örgüler küresel simetri altında nokta grubuna göre sınıflandırıldığında 7, uzay grubuna göre sınıflandırıldığında 14 çeşittir. Serbest simetri altında ise toplamda 230 uzay grubu vardır (Aschcroft ve Mermin 1976).

**Tablo 2.1:** Üç boyutta örgü çeşitleri (Kittel 2005).

Sistem	Örgü Sayısı	Konvansiyonel birim hücre için eksen ve açı şartları
Triklinik	1	$a_1 \neq a_2 \neq a_3$ ve $\alpha \neq \beta \neq \gamma$
Monoklinik	2	$a_1 \neq a_2 \neq a_3$ ve $\alpha = \gamma = 90^\circ \neq \beta$
Ortorombik	4	$a_1 \neq a_2 \neq a_3$ ve $\alpha = \gamma = \beta = 90^\circ$
Tetragonal	2	$a_1 = a_2 \neq a_3$ ve $\alpha = \gamma = \beta = 90^\circ$
Kübik	3	$a_1 = a_2 = a_3$ ve $\alpha = \gamma = \beta = 90^\circ$
Trigonal	1	$a_1 = a_2 = a_3$ ve $\alpha = \gamma = \beta < 120^\circ, \neq 90^\circ$
Hegzagonal	1	$a_1 = a_2 \neq a_3$ ve $\alpha = \beta = 90^\circ, \gamma = 120^\circ$

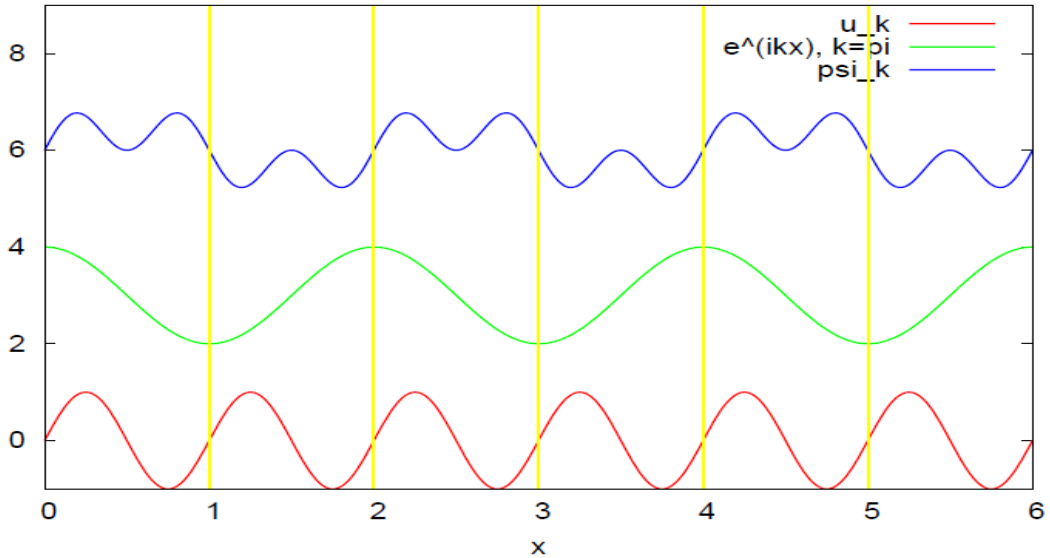
Kristal örgü Fourier dönüşümü yapılarak boyutları 1/uzunluk şeklinde olan ters uzayda (k-uzayı) da tasvir edilebilir. Bu uzayda eksen vektörleri şu şekilde tanımlanır:

$$\mathbf{b}_1 = 2\pi \frac{\mathbf{a}_2 \times \mathbf{a}_3}{\mathbf{a}_1 \cdot (\mathbf{a}_2 \times \mathbf{a}_3)}; \mathbf{b}_2 = 2\pi \frac{\mathbf{a}_3 \times \mathbf{a}_1}{\mathbf{a}_1 \cdot (\mathbf{a}_2 \times \mathbf{a}_3)}; \mathbf{b}_3 = 2\pi \frac{\mathbf{a}_1 \times \mathbf{a}_2}{\mathbf{a}_1 \cdot (\mathbf{a}_2 \times \mathbf{a}_3)}. \quad (2.2)$$

Ters uzayda öteleme vektörü de şu şekilde verilir:

$$\mathbf{G} = k_1 \mathbf{b}_1 + k_2 \mathbf{b}_2 + k_3 \mathbf{b}_3, \quad (2.3)$$

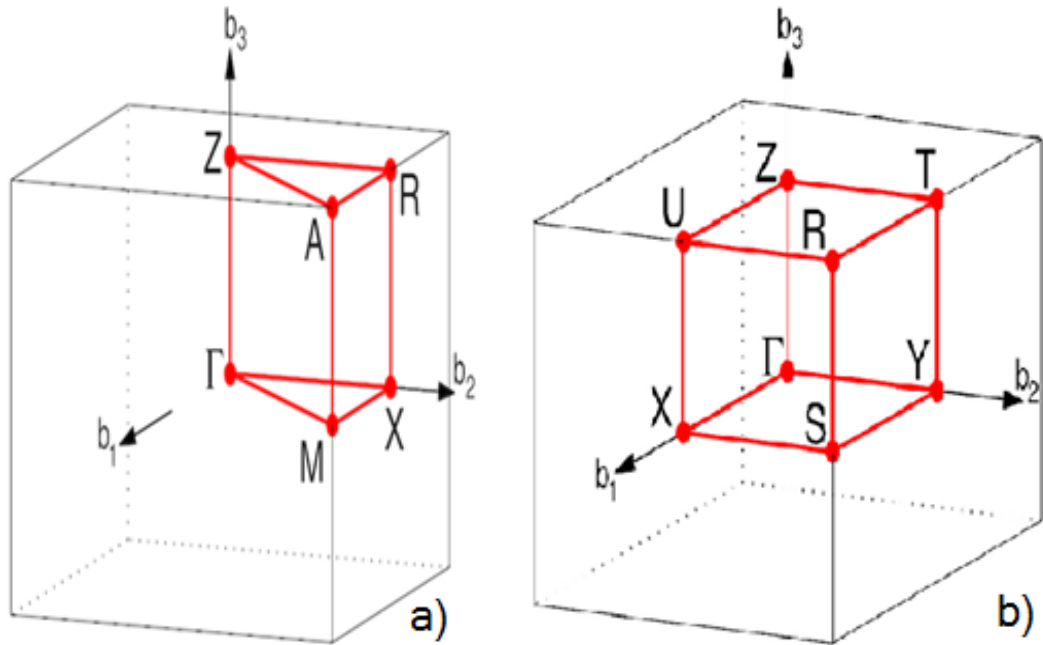
burada  $k_1, k_2, k_3$  tam sayılardır. Ters uzayın Wigner-Seitz hücresine ise birinci Brillouin bölgesi (BBB) denir. Kristal yapılarda iki çeşit periyodiklik vardır. Birinci tipi yalıtılmış küme şartları ikinci tipi ise makroskopik olarak örgüyü oluştururken kullanılan Born-Von Karman periyodik sınır şartlarıdır (periodic boundary condition, PBC). Bir elektronun dalga fonksiyonuna örgü yapısındaki periyodikliğin yansıtılması şeklindeki Bloch Teoremi ile sağlanan periyodiklik PBC' nin bir uygulamasıdır. Örneğin serbest elektronun durumunu temsil eden  $\Psi(\mathbf{r}) = Ce^{i\mathbf{k}\cdot\mathbf{r}}$  şeklindeki bir düzlem dalga fonksiyonu  $U(\mathbf{r}) = U(\mathbf{r}+\mathbf{R})$  şeklindeki periyodik bir potansiyel alanında bir faz çarpanı ile modüle edilerek periyodiklik kazandırılabilir. Bloch teoremine göre düzlem dalga önce birim hücrenin periyodikliğini yansıtacak şekilde yarı-periyodik hale getirilir (bkz. Şekil 2.1).



**Şekil 2.1:** Bir boyutta yapısal periyodikliğin  $u_k(x)$  Bloch teoremi ile dalga fonksiyonuna yansıtılması  $\psi_k(x) = e^{i\mathbf{k}\cdot\mathbf{x}}u_k(x)$ .

$\Psi_{\mathbf{k}}(\mathbf{r}) = u_{\mathbf{k}}(\mathbf{r})e^{i\mathbf{k}\cdot\mathbf{r}}$  sonra da tüm sistemin periyodikliğini yansıtacak hale getirilir.  $\Psi_{\mathbf{k}}(\mathbf{r}+\mathbf{R}) = u_{\mathbf{k}}(\mathbf{r}+\mathbf{R})e^{i\mathbf{k}\cdot(\mathbf{r}+\mathbf{R})} = \Psi_{\mathbf{k}}(\mathbf{r})e^{i\mathbf{k}\cdot\mathbf{R}}$ . Bu işlem bir örgü sistemini incelerken örgünün tamamını almak yerine sadece birim hücrenin (ters uzayda ise BBB) alınmasının yeterli olacağı şeklinde çok büyük bir kolaylık sağlar (Lee 2012).

Simetri işlemleri göz önüne alındığında BBB' nin sistemin özelliklerini taşıyan en küçük bir bölümü vardır. Bu en küçük bölüme indirgenemez Brillouin Bölgesi (irreducible Brillouin zone, IBZ) denir ve burada da yüksek simetriye sahip özel noktalar vardır. Her bir Bravais örgü tipi için bu IBZ ve özel noktalar farklılık göstermektedir. Elektronik band yapısı, durum yoğunlukları ve fonon dispersiyonu gibi özellikler hesaplanırken bu özellikleri doğru elde edebilmek için IBZ bu noktalardan geçen yollar ile taranmalıdır. Örneğin basit tetragonal ve basit ortorombik yapılar için bu noktalar ve yollar Şekil 2.2' de görülmektedir. Bu noktalar basit tetragonal yapı için  $\Gamma(0,0,0)$ ,  $X(0,0.5,0)$ ,  $M(0.5,0.5,0)$ ,  $Z(0,0,0.5)$ ,  $R(0,0.5,0.5)$  ve  $A(0.5,0.5,0.5)$ ; basit ortorombik yapı için  $\Gamma(0,0,0)$ ,  $X(0.5,0,0)$ ,  $S(0.5,0.5,0)$ ,  $Y(0,0.5,0)$ ,  $Z(0,0,0.5)$ ,  $U(0.5,0,0.5)$ ,  $R(0.5,0.5,0.5)$  ve  $T(0,0.5,0.5)$  şeklindedir (Bilbao Crystallographic Server 2015).



**Şekil 2.2:** a) Basit tetragonal ve b) basit ortorombik yapıların IBZ' nin yüksek simetri noktalarından geçen yollar boyunca taranması.

## 2.2 Çok Cisim Teorisi

Coulomb kuvveti ile etkileşen çekirdekler ve elektronlardan oluşan bir sistemin genel olarak Hamiltonyeni şöyledir:

$$\hat{H} = -\frac{\hbar^2}{2m_e} \sum_i \nabla_i^2 - \sum_{i,I} \frac{Z_I e^2}{|\mathbf{r}_i - \mathbf{R}_I|} + \frac{1}{2} \sum_{i \neq j} \frac{e^2}{|\mathbf{r}_i - \mathbf{r}_j|} - \sum_I \frac{\hbar^2}{2M_I} \nabla_I^2 + \frac{1}{2} \sum_{I \neq J} \frac{Z_I Z_J e^2}{|\mathbf{R}_I - \mathbf{R}_J|}. \quad (2.4)$$

Burada, elektronlar küçük harf, yükü  $Z_I$  ve kütlesi  $M_I$  olan çekirdekler büyük harf indisli olarak gösterilmektedir. Bu terimlerden en küçük olanı  $1/M_I$  katsayısını içerendir ve çekirdeklerin kütlesini sonsuz kabul eden mükemmel bir yaklaşım olan Born-Oppenheimer ile kaldırılabilir. Bu yaklaşımda proton kütlesinin elektron kütlesinin 1836 katı olduğu göz önüne alındığında, elektronların hareketlerini çekirdek hareketlerine anlık olarak uydurduğu kabul edilir. Çok küçük bir pertürbasyon mertebesinde olan bu terimin kalkması birçok fiziksel özelliğin hesaplanmasında büyük kolaylık sağlar. Çekirdek kinetik enerjisinin ihmalinden sonra Hamiltonyen ifadesi şu şekilde kısılanır:

$$\hat{H} = \hat{T} + \hat{V}_{dış} + \hat{V}_{etklş} + E_{II}. \quad (2.5)$$

Formüllerin yazımında Hartree atomik birimleri kullanıldığı durumlarda,  $\hbar = m_e = e = 1/4\pi\epsilon_0 = 1$  alınmaktadır. Elektronların kinetik enerji operatörü şu şekildedir:

$$\hat{T} = \sum_i -\frac{1}{2} \nabla_i^2. \quad (2.6)$$

Çekirdeklerden dolayı elektronlara etkiyen potansiyel operatörü şöyle yazılır:

$$\hat{V}_{dış} = \sum_{i,I} V_I(\mathbf{r}_i - \mathbf{R}_I), \quad (2.7)$$

ve elektron-elektron etkileşmeleri operatörü aşağıdaki gibidir:

$$\hat{V}_{etklş} = \frac{1}{2} \sum_{i \neq j} \frac{1}{|\mathbf{r}_i - \mathbf{r}_j|}. \quad (2.8)$$



Çekirdek-çekirdek etkileşmelerini gösteren  $E_{II}$  terimi Hamiltonyene eklenen sabit bir terim gibi düşünülebilir. Çok cisim elektron sistemi için non-rölativistik kuantum mekaniği (Schrödinger) denklemi şöyledir:

$$i\hbar \frac{\partial \Psi(\{\mathbf{r}_i\}; t)}{\partial t} = \hat{H} \Psi(\{\mathbf{r}_i\}; t). \quad (2.9)$$

Burada, çok parçacık dalga fonksiyonu  $\Psi(\{\mathbf{r}_i\}; t) \equiv \Psi(\mathbf{r}_1, \mathbf{r}_2, \dots, \mathbf{r}_N; t)$  spin değişkenlerinin  $\mathbf{r}_i$  koordinatlarına dahil edildiği varsayılarak  $\mathbf{r}_1, \mathbf{r}_2, \dots, \mathbf{r}_N$  elektron koordinatlarına göre anti-simetriktir. (2.9) denkleminin öz fonksiyonları  $\Psi(\{\mathbf{r}_i\}; t) = \Psi(\mathbf{r}_i) e^{-i(E/\hbar)t}$  şeklindedir ve sistemin dinamiğini (zaman içindeki değişimini) belirler. Bu tez çalışmasındaki hesaplamalar taban durum hesaplarıyla ve zamandan bağımsız yapıldığı için dalga fonksiyonunun sadece uzay koordinatlarına bağlı kısmı kullanılmaktadır. Kuantum mekaniğinden bilindiği gibi  $\hat{O}$  operatörü ile gösterilen bir gözlenebilirin zamandan bağımsız beklenen değeri şu şekilde verilir:

$$\langle \hat{O} \rangle = \frac{\langle \Psi | \hat{O} | \Psi \rangle}{\langle \Psi | \Psi \rangle}. \quad (2.10)$$

Elektronik yapı teorisinde önemli bir yeri olan yoğunluk operatörünün  $\hat{n} = \sum_{i=1, N} \delta(\mathbf{r} - \mathbf{r}_i)$  beklenen değeri ile parçacıkların yoğunluğu hesaplanır:

$$n(\mathbf{r}) = \frac{\langle \Psi | \hat{n} | \Psi \rangle}{\langle \Psi | \Psi \rangle} = N \frac{\int d^3 r_2 \dots d^3 r_N \sum_{\sigma_i} |\Psi(\mathbf{r}, \mathbf{r}_2, \dots, \mathbf{r}_N)|^2}{\int d^3 r_1 d^3 r_2 \dots d^3 r_N |\Psi(\mathbf{r}_1, \mathbf{r}_2, \dots, \mathbf{r}_N)|^2}. \quad (2.11)$$

Yoğunluk daha basit bir şekilde aşağıdaki gibi tanımlanır:

$$n(\mathbf{r}) = 2 \sum_i \Psi_i^*(\mathbf{r}) \Psi_i(\mathbf{r}). \quad (2.12)$$

Burada, toplama herbir elektronun dalga fonksiyonları üzerinden yapılmaktadır ve toplam sembolünün içindeki ifade dalga fonksiyonu  $\Psi_i$  olan bir elektronun  $\mathbf{r}$  konumunda bulunma olasılığı demektir. Toplama işareti önündeki 2 katsayısı ise Pauli dışarlama ilkesi gereğince spinleri farklı olmak kaydıyla dalga fonksiyonunun 2 elektronu temsil edeceğini göstermektedir. Etkileşmeyen tek parçacıklar sisteminde bir parçacığın durumu  $\psi_i$  ile gösterilirse (spin dikkate alınmamıştır), bir elektronun  $i$  durumunda bulunma olasılığı Fermi-Dirac dağılımına göre şu şekilde ifade edilir:

$$f_i = \frac{1}{e^{\beta(\epsilon_i - \mu)} + 1}, \quad (2.13)$$

burada  $\beta=1/k_B T$  ve  $\mu$  ise Fermi enerjisidir (ya da kimyasal potansiyeldir).  $\rho(\mathbf{r}, \mathbf{r}') = \sum_i \psi_i^*(\mathbf{r}) f_i \psi_i(\mathbf{r}')$  şeklindeki tek parçacık yoğunluk matrisinin köşegen elemanları  $n$  yoğunluğunu verir:  $n(\mathbf{r}) = \sum_i f_i |\psi_i(\mathbf{r})|^2$ . Bazı kaynaklarda elektron yoğunluğu  $\rho(\mathbf{r})$  sembolü ile de gösterilmektedir. Bu tez çalışmasında  $n(\mathbf{r})$  sembolü ile gösterilecektir. Amaç çok parçacıklı sistemin zamandan bağımsız Schrödinger denkleminin  $\hat{H}\Psi = E\Psi$  çözülmesidir (Martin 2004). Bu denklemin çözümünde  $\Psi$  dalga fonksiyonunu esas alan yöntemler ve  $n$  yoğunluğunu esas alan yöntemler vardır. Her iki yöntemle de tam çözüm bulunabilmiş değildir ve bilimsel çalışmalar devam etmektedir. Dalga fonksiyonunu esas alan yöntemler: Hartree (etkileşmeyen parçacıklar yaklaşımı), Hartree-Fock (HF, korelasyonu dikkate almaz), Hartree-Fock ötesi yaklaşımlar, Moller-Plesset, pertürbasyon ve konfigürasyon etkileşimleri (configuration interactions, CI) gibi yaklaşımlar. Daha başarılı bir yaklaşım olan  $n$  yoğunluğunu esas alan yoğunluk fonksiyonel teorisini (YFT) bugünkü kullanıldığı anlamda ortaya çıkaran bilim adamı Walter Kohn 1998 nobel kimya ödülünü paylaşmıştır.

### 2.3 Yoğunluk Fonksiyonel Teorisi (DFT)

Temelleri 1927 ve 1928 yıllarında Thomas ve Fermi tarafından atılan yoğunluk fonksiyonel teorisine göre bir sistemin özellikleri skaler bir fonksiyon olan  $n_0$  taban durum yoğunluğunun bilinmesiyle hesaplanabilir (Thomas 1927; Fermi 1928). Serbest elektron gazı yaklaşımını etkileşmeyen parçacıklar yöntemiyle ele alan teori elektronların kinetik enerjisini taban durum yoğunluğunun bir fonksiyonu olarak kabul ediyor, değiş-tokuş ve korelasyon etkilerini hesaba katmıyordu. Thomas-Fermi yoğunluk fonksiyonel teorisinde bir elektronun çekirdeklerin ve diğer elektronların oluşturduğu ortalama bir dış potansiyelde bulunduğu (ortalama alan yaklaşımı) ve sistemin yoğunluğunun sistemin her yerinde aynı olduğu kabul edilir. Dirac 1930 yılında değiş-tokuş ve korelasyon etkilerini teoriye eklese de teorisinin bugünkü kullanılmakta olan modern anlamdaki matematik formülasyonu 1964 yılında Hohenberg ve Kohn tarafından yapılmıştır (Dirac 1930). Etkileşen  $N$  sayıdaki çok parçacıklar sisteminin Schrödinger denkleminin çözümünü  $\Psi$  dalga fonksiyonu kullanılması durumunda gerekli olan  $3N$  bağımsız değişkenden  $n$  yoğunluğu

kullanıldığında sadece 3 değişkene indirerek çok büyük bir basitleştirme yapmıştır (Martin 2004). Bunun sonucu olarak fizik, kimya ve malzeme bilimlerindeki elektron dağılımlarını hesaplamayı amaç edinen elektronik yapı hesaplamalarında büyük çığır açmıştır.

Tanım olarak fonksiyon bir değişkeni bir sayıya götüren işlem demektir. Fonksiyonel ise bir fonksiyonun tamamını bir sayıya götüren işlemdir. Fonksiyon  $\phi(x)$  şeklinde gösterilirken, fonksiyonel  $F[\phi]$  şeklinde gösterilir. Örneğin  $F[\phi(x)] = \int f(\phi(x))dx$  şeklindeki bir ifadeden  $F[\phi(x)]$ ' in  $\phi(x)$ ' in bir fonksiyoneli olduğu anlaşılmaktadır. Köşeli parantez ile gösterilen fonksiyonelin diferansiyeli varyasyon hesaplamalarına göre şu şekilde tanımlanır:

$$\delta F[\phi(x)] = F[\phi(x) + \delta\phi(x)] - F[\phi(x)] = \int \frac{\delta F[\phi(x)]}{\delta\phi(x)} \delta\phi(x) dx. \quad (2.14)$$

Fonksiyonelin  $\phi'$  ye göre türevi ise  $\delta F[\phi(x)] / \delta \phi(x)$  şeklinde gösterilir (LeSar 2013). Thomas-Fermi (TF) yaklaşımında toplam enerji fonksiyoneli şu şekildedir:

$$E_{TF} = E_{KE} [n(\mathbf{r})] + E_{ee} [n(\mathbf{r})] + E_{el} [n(\mathbf{r})] + E_{II}. \quad (2.15)$$

### 2.3.1 Hohenberg-Kohn Teoremleri

Formülasyonu Hohenberg ve Kohn tarafından yapılan yoğunluk fonksiyonel teorisi, elektronların sabitlenmiş olarak kabul edilen çekirdekler tarafından oluşturulan bir dış  $V_{dış}(\mathbf{r})$  potansiyelinde buldukları ve birbirleriyle de etkileşim içinde oldukları çok parçacıklı sistemlere uygulanabilir. Çekirdek elektron etkileşmelerini açıklarken kullanılan bu potansiyele dış denmesinin sebebi elektronların buldukları konuma göre isimlendirilmesinden kaynaklanmaktadır. Böyle bir sistemde bulunan elektronlar için Hamiltonyen şu şekilde yazılabilir:

$$\hat{H} = -\frac{\hbar^2}{2m_e} \sum_i \nabla_i^2 + \sum_i V_{dış}(\mathbf{r}_i) + \frac{1}{2} \sum_{i \neq j} \frac{e^2}{|\mathbf{r}_i - \mathbf{r}_j|}. \quad (2.16)$$

Hohenberg-Kohn teoremleri ve sonuçları aşağıda açıklanmaktadır (Hohenberg ve Kohn 1964).

### 2.3.1.1 Teorem 1

Bir  $V_{\text{dış}}(r)$  dış potansiyelinde parçacıkların birbirleriyle etkileşim içinde oldukları herhangi bir sistem için bu  $V_{\text{dış}}(r)$  dış potansiyeli yalnızca  $n_0(r)$  taban durum yoğunluğu kullanılarak sabit bir sayı kadar farkla belirlenir.

Sonuç 1: Denklem (2.16)'daki birinci ve üçüncü terimler (kinetik enerji ve elektron-elektron etkileşimleri) bütün sistemlerde aynıdır yani sistemden bağımsızdır. İkinci terim ise sistemden sisteme değişir (pozitif yüklü çekirdek sayısı her sistem için farklıdır). Hamiltonyenin tam olarak belirlenebilmesi için  $V_{\text{dış}}(r)$ 'nin bilinmesi gerekmektedir. Böyle bir sistemde Hamiltonyenin tamamen belirlenmesi toplam enerjisinin de sabit bir sayı kadarlık bir kayma ile hesaplanabilmesi sonucuna götürür. Bu ise böyle bir sistemin sadece  $n_0(r)$  taban durum yoğunluğunun verilmesiyle uyarılmış durumlar (excited states) dahil bir çok fiziksel özelliklerinin belirlenebilmesi anlamına gelmektedir.

### 2.3.1.2 Teorem 2

Enerji için herhangi bir  $V_{\text{dış}}(\mathbf{r})$  dış potansiyelinde geçerli olan evrensel (bütün elektron sistemleri için aynı olan) bir  $E[n]$  fonksiyoneli  $n(\mathbf{r})$  yoğunluğu cinsinden tanımlanabilir. Belirli bir  $V_{\text{dış}}(\mathbf{r})$  dış potansiyeli için sistemin tam (exact) taban durumu bu fonksiyonelin global minimumudur. Başka bir deyişle fonksiyoneli minimize eden  $n(\mathbf{r})$  yoğunluğu  $n_0(\mathbf{r})$  taban durum yoğunluğudur.

Sonuç 2:  $E[n]$  enerji fonksiyoneli, tam şekli ile verilmesi halinde sistemin gerçek taban durum enerjisi ve yoğunluğunu belirlemek için tek başına yeterlidir. Bunun için verilen bir enerji fonksiyoneli varyasyonel ilkeler çerçevesinde değişik  $n(\mathbf{r})$  yoğunlukları kullanılarak minimize edilmeye çalışılmalıdır.

Buna göre Hohenberg-Kohn (HK) enerji fonksiyoneli şu şekilde ifade edilebilir:

$$\begin{aligned} E_{\text{HK}}[n] &= T[n] + E_{\text{etk}}[n] + \int d^3r V_{\text{dış}}(r)n(r) + E_{\text{II}} \\ &\equiv F_{\text{HK}}[n] + \int d^3r V_{\text{dış}}(r)n(r) + E_{\text{II}} . \end{aligned} \quad (2.17)$$

Burada,  $E_{\text{II}}$  çekirdek-çekirdek etkileşme enerjisi,  $F_{\text{HK}}[n]$  fonksiyoneli ise etkileşen elektronlar sisteminin potansiyel ve kinetik enerjilerinin de dahil olduğu bütün iç

enerjilerini içerir;  $F_{HK}[n] = T[n] + E_{etkileş}[n]$ . Elektron-elektron etkileşme terimi ya klasik yoğunluk cinsinden şu şekilde yazılır:

$$E_{Hartree}[n] = \frac{1}{2} \int d^3r d^3r' \frac{n(\mathbf{r})n(\mathbf{r}')}{|\mathbf{r}-\mathbf{r}'|}, \quad (2.18)$$

ya da etkileşmeyen parçacıkların olduğu  $\psi_s$  tek elektron dalga fonksiyonları cinsinden şöyle tanımlanır:

$$E_{Hartree} = \frac{1}{2} \sum_{i,j,\sigma_i,\sigma_j} \int d\mathbf{r} d\mathbf{r}' \psi_i^{\sigma_i*}(\mathbf{r}) \psi_j^{\sigma_j*}(\mathbf{r}') \frac{1}{|\mathbf{r}-\mathbf{r}'|} \psi_i^{\sigma_i}(\mathbf{r}) \psi_j^{\sigma_j}(\mathbf{r}'). \quad (2.19)$$

Hartree enerjisinin bu şekillerde alınması bazı yanlışlıkları beraberinde getirir. Bu yanlışlıklardan ilki, bir elektronun kendisiyle öz-etkileşmesi olarak adlandırılan ve fiziksel olarak bir anlamı olmayan katkılar içermesidir. Bu katkılar değiş-tokuş (exchange) enerjisinin hesaba dahil edilmesiyle ortadan kaldırılabilir. Değiş-tokuş enerjisi Pauli dışarlama ilkesi gereğince spinleri aynı olan iki elektronun yer değiştirmesi durumunda dalga fonksiyonunun anti-simetrik kalması gerekliliğinin bir sonucudur. Değiş-tokuş enerjisini tek parçacık dalga fonksiyonları cinsinden şu şekilde yazabiliriz:

$$E_{değiş-tokuş} = -\frac{1}{2} \sum_{i,j,\sigma} \int d\mathbf{r} d\mathbf{r}' \psi_i^{\sigma*}(\mathbf{r}) \psi_j^{\sigma*}(\mathbf{r}') \frac{1}{|\mathbf{r}-\mathbf{r}'|} \psi_i^{\sigma}(\mathbf{r}) \psi_j^{\sigma}(\mathbf{r}'). \quad (2.20)$$

Bu terimin Hartree enerjisine eklenmesiyle  $i=j$  durumları için öz-etkileşim katkıları ortadan kaldırılır. Diğer yanlışlık ise korelasyon etkilerinin hesaba katılmamış olmasıdır. Korelasyon etkisini fiziksel olarak  $\mathbf{r}$  konumunda bulunan bir elektronun bu konuma yakın  $\mathbf{r}'$  konumunda başka bir elektronun bulunmasını Coulomb itmesinden dolayı engellemeye çalışması şeklinde tanımlayabiliriz.

Hohenberg-Kohn teoremleri  $E_{HK}[n]$  gibi bir fonksiyonelin var olması gerektiğini söyler ama onun tam şeklinin ne olduğu ve nasıl bulunacağı hakkında bilgi vermez. DFT üzerinde çeşitli çalışmalar yapılmıştır ve bazıları hala devam etmektedir. Manyetik sistemler için spin değişkenini göz önüne alacak şekilde spin yoğunluk fonksiyonel teorisi SDFT geliştirilmiştir. Levy-Lieb dejenere durumları da kapsayacak çalışmalar yapmıştır (Dreizler ve Providencia 1985). Mermin ise sonlu sıcaklık ve değişik istatistik topluluklara uyarlamaya çalışmıştır (Mermin 1965). Uyarılmış durumlar için zamana bağlı DFT (TDDFT) geliştirme çalışmaları başarılı

bir şekilde devam etmektedir. Bu çalışmaların büyük bir çoğunluğu Kohn ve Sham'ın çalışması üzerinde yoğunlaşmış ve ilerlemektedir (Kohn ve Sham 1965; Martin 2004).

### 2.3.2 Kohn-Sham Benzetimi

Kohn ve Sham çok cisim problemini çözmek için etkileşimlerin olduğu gerçek sistemin yerine bağımsız parçacıkların oluşturduğu ikincil bir sistem olarak bir yaklaşım geliştirmişlerdir (Kohn ve Sham 1965). Etkileşmeyen parçacıklardan oluşan bu ikincil sistemin taban durum yoğunluğu etkileşen parçacıkların olduğu gerçek sistemin taban durum yoğunluğuna eşit olması gerekiyordu. Bu amaçla ikincil sistemin Hamiltonyenine değiş-tokuş ve korelasyon (XC) etkilerini içeren bir terim eklediler. Hesaplamaların etkileşmeyen parçacıklar sisteminde yapılması çok büyük kolaylık sağlamaktadır. İkincil sistemde yoğunluk her bir spin orbitalinin karelerinin toplamı şeklinde tanımlanır:

$$n(\mathbf{r}) = \sum_{\sigma} n(\mathbf{r}, \sigma) = \sum_{\sigma} \sum_{i=1}^{N_{\sigma}} |\psi_i^{\sigma}(\mathbf{r})|^2. \quad (2.21)$$

$T_s$  bağımsız parçacık kinetik enerjisi ise şu şekildedir:

$$T_s = -\frac{1}{2} \sum_{\sigma} \sum_{i=1}^{N_{\sigma}} \int d^3r \psi_i^{\sigma*}(\mathbf{r}) \nabla^2 \psi_i^{\sigma}(\mathbf{r}) = \frac{1}{2} \sum_{\sigma} \sum_{i=1}^{N_{\sigma}} \int d^3r |\nabla \psi_i^{\sigma}(\mathbf{r})|^2, \quad (2.22)$$

ve klasik Hartree enerjisi ise Denklem 2.18' de verildiği gibidir.

Tam etkileşme içerisinde olan çok parçacık problemine Kohn ve Sham'ın yaptığı yaklaşım Hohenberg ve Kohn'un Denklem (2.17) ile önerdiği enerji fonksiyonelini yeniden yazmaktır.

$$E_{KS}[n] = T_s[n] + \int d\mathbf{r} V_{dış}(\mathbf{r})n(\mathbf{r}) + E_{Hartree}[n] + E_{II} + E_{xc}[n]. \quad (2.23)$$

Bu yeniden yazım yapılırken etkileşen parçacık sistemindeki elektronların kinetik enerjisindeki korelasyon etkileriyle elektron-elektron etkileşmelerindeki değiş-tokuş ve korelasyon etkileri  $E_{xc}$  değiş-tokuş ve korelasyon enerji fonksiyonelinde toplanmıştır:

$$E_{xc}[n] = \langle \hat{T} \rangle - T_s[n] + \langle V_{etklş} \rangle - E_{Hartree}[n]. \quad (2.24)$$

Kohn-Sham' ın ileri sürdüğü ikincil sistemin taban durumunu bulmak üzere çözülmesi, Denklem (2.23) ile verilen fonksiyonelin varyasyon ilkeleri içerisinde yoğunluğa göre minimize edilmesi anlamına gelmektedir. Bu işlem ile Kohn-Sham (KS) denklemleri adıyla meşhur (Schrödinger benzeri) denklemler elde edilir:

$$(H_{KS}^{\sigma} - \varepsilon_i)\psi_i^{\sigma}(\mathbf{r}) = 0. \quad (2.25)$$

Burada,  $\varepsilon_i$  özdeğerlerdir ve Kohn-Sham Hamiltonyeninin açık şekli aşağıdaki gibidir:

$$H_{KS}^{\sigma}(\mathbf{r}) = -\frac{1}{2}\nabla^2 + V_{KS}^{\sigma}(\mathbf{r}). \quad (2.26)$$

Etkin Kohn-Sham potansiyeli ise  $V_{dış}$ ,  $V_{Hartree}$ ,  $V_{xc}^{\sigma}(\mathbf{r})$  terimlerinden oluşur:

$$V_{KS}^{\sigma}(\mathbf{r}) = V_{dış}(\mathbf{r}) + V_{Hartree}(\mathbf{r}) + V_{xc}^{\sigma}(\mathbf{r}). \quad (2.27)$$

Bu terimler sırasıyla çekirdek-elektron etkileşmelerini, elektron-elektron etkileşmelerini, değiş-tokuş ve korelasyon etkilerini göstermektedir.

### 2.3.3 Değiş-Tokuş ve Korelasyon (XC) Fonksiyonelleri

Kohn-Sham denklemlerinin çözümündeki başarı neredeyse tamamen değiş XC fonksiyoneline bağlıdır. Çünkü Denklem (2.25) ile verilen Hamiltonyendeki diğer terimler tamdır ve bilinmeyen terimler onda toplanmıştır. Doğru tanımlanmaması durumunda gerçek sistem ile ikincil sistem arasındaki bağlantının tamamen kopmasına ve hesaplanmak istenen fiziksel özelliklerin beklenen gerçek değerlerinden uzaklaşmasına neden olur. Normalde  $E_{xc}$  enerjisi toplam enerjinin % 10' u mertebesindedir ama bağ, spin-polarizasyonu, band aralığı gibi özellikleri belirlemede çok etkilidir. Bu yüzden mümkün olduğunca doğru belirlenmesi gerçeğe en yakın sonuçların elde edilmesini sağlar. Değiş-tokuş kısmı, elektron orbitalleri anti-simetrik olduğu için aynı spinli elektronların birbirlerinden uzak orbitallerde bulunmasını sağlar, bu da yoğunluğu azaltıcı bir etkidir. Hartree terimindeki öz-etkileşimin kaldırılmasında etkili olan bu kısımdır. Korelasyon kısmı ise spinleri farklı olan iki elektron aynı orbitalde bulunabilirler ama aynı cins elektrik yükü taşıdıkları için birbirlerini iterler. Yani bu kısımda yoğunluğu azaltıcı bir etki gösterir. İkisi birlikte düşünülüğünde  $n(\mathbf{r})$  elektron yoğunluğunun yüksek olduğu

yerlerde deęiş-tokuş kısmı baskındır, yoğunluęun düşük olduęu bölgelerde ise korelasyon kısmının etkisi deęiş-tokuş kısmı mertebelerine kadar çıkabilmektedir (Lee 2012).

Deęiş-tokuş ve korelasyon enerji fonksiyoneli řu řekilde tanımlanır:

$$E_{xc}[n(\mathbf{r})] = \int d\mathbf{r} n(\mathbf{r}) \epsilon_{xc}(\mathbf{r}, [n]). \quad (2.28)$$

Burada,  $\epsilon_{xc}([n], \mathbf{r})$  yoğunluęun  $n(\mathbf{r})$  olduęu bir  $\mathbf{r}$  konumu civarında elektron başına enerjidir; XC boşluęu yoğunluęudur. Fonksiyonelin yoğunluęa göre türevi alındığında Kohn-Sham potansiyelindeki  $V_{xc}$  potansiyeli elde edilir (Martin 2004):

$$V_{xc}^\sigma = \frac{\delta E_{xc}[n]}{\delta n(\mathbf{r}, \sigma)} = \epsilon_{xc}([n], \mathbf{r}) + n(\mathbf{r}) \frac{\delta \epsilon_{xc}([n], \mathbf{r})}{\delta n(\mathbf{r}, \sigma)}. \quad (2.29)$$

Bu potansiyelin var olduęu Hohenber-Kohn teoremleriyle garanti edilmesine raęmen matematiksel řekli bilinmemektedir.  $E_H$  teriminin sabit sayı olarak alınan katkısı dıřarıda kalacak řekilde Kohn-Sham enerji fonksiyoneli řu řekilde de yazılabilir:

$$E[n] = T_s + V_{dis} + E_H + E_x + \tilde{E}_c. \quad (2.30)$$

Burada, ikinci ve üçüncü terimler yoğunluęun fonksiyonelidir ve řekilleri bilinmektedir. Birinci ve dördüncü terimler ise etkileşmeyen tek parçacık dalga fonksiyonları cinsinde bilinmektedir. Korelasyon enerjisinin řekli ise hiç bilinmemektedir. Deęiş-tokuş ve korelasyon fonksiyonelinin řeklini belirlemek için ilk girişimler homojen elektron gazı sistemi ile yapılmıřtır (von Barth ve Hedin 1972; Vosko ve dię. 1980). Ceperley ve Alder' in kuantum Monte Carlo simülasyon sonuçlarını kullanarak Perdew ve Zunger' in elde ettięi deęiş-tokuş ve korelasyon fonksiyoneli ise bu çalışmaların en mükemmeli olmuřtur. Sayıları 100' ü geęen ve çalışmalarını halen devam etmekte olan deęiş-tokuş ve korelasyon fonksiyonelleri řu ana başlıklar altında incelenebilir (Kohanoff 2006):

1-) Kohn-Sham yaklaşımları:

- a) Yerel yoğunluk yaklaşımı (Local Density Approximation, LDA).
- b) Genelleřmiř gradyanlar yaklaşımı (Generalized Gradient Approximation, GGA).

2-) Aęırlıklı yoğunluk fonksiyonel yaklaşımı (Weighted Density Approximation, WDA).



- 3-) Hibrit (Hartree-Fock ve Kohn-Sham karışımı) yaklaşımlar.
- 4-) Optimize efektif potansiyel yaklaşımı (Optimized Effective Potential, OEP).
- 5-) Orbital bağımlı korelasyon fonksiyonelleri:
  - a) Colle-Salvetti.
  - b) Çok parçacık pertürbasyon teorisi (Many Body Perturbation Theory, MBPT).
- 6-) Van der Waals (dispersiyon) etkileşimleri.
- 7-) GW Green fonksiyonları (uyarılmış durumlar için).
- 8-) Güçlü korelasyonlar:
  - a) LDA+U.
  - b) LDA+DMFT dinamik ortalama alan korelasyon yaklaşımı.

Bunlardan en popüler olan ve yaygın olarak kullanılmakta olan LDA, GGA ve hibrit fonksiyoneller aşağıda ayrıntılı olarak anlatılmaktadır. Bu tez çalışması LDA ve GGA tiplerinde değiş-tokuş ve korelasyon fonksiyonellerini içeren potansiyeller kullanılarak yapılmıştır.

### 2.3.3.1 LDA ve Yerel Spin Yoğunluk Yaklaşımı (LSDA)

Yerel yoğunluk yaklaşımı, felsefe olarak Thomas-Fermi-Dirac teorisinde var olan ve Kohn-Sham'ın 1965'te ortaya koyduğu yaklaşımdır. Bu yaklaşımda homojen olmayan elektron sistemleri için değiş-tokuş ve korelasyon fonksiyoneli homojen olan elektron gazı yoğunluğu şeklinde ele alınır. Buna göre değiş-tokuş ve korelasyon enerji fonksiyoneli şu şekilde tanımlanır:

$$E_{xc}^{LDA}[n] = \int d^3r n(\mathbf{r}) \epsilon_{xc}^{hom}(n(\mathbf{r})). \quad (2.31)$$

Spin yoğunlukları cinsinden şöyle tanımlanır:

$$E_{xc}^{LSDA}[n^\uparrow, n^\downarrow] = \int d^3r n(\mathbf{r}) [E_x^{hom}(n^\uparrow(\mathbf{r}), n^\downarrow(\mathbf{r})) + \epsilon_c^{hom}(n^\uparrow(\mathbf{r}), n^\downarrow(\mathbf{r}))]. \quad (2.32)$$

Bu yaklaşımda, polarizasyon olmadığı durumda değiş-tokuş boşluğunun yoğunluğu şu şekilde tanımlanır:

$$\epsilon_x^\sigma \equiv \epsilon_x^\uparrow = \epsilon_x^\downarrow = -\frac{3}{4} \left( \frac{9\pi}{4} \right)^{1/3} / r_s. \quad (2.33)$$

Perdew-Zunger' in korelasyon boşluk yoğunluğu ise şöyledir (Perdew ve Zunger 1981):

$$\epsilon_c^{PZ}(r_s) = \begin{cases} -0.0480 + 0.031 \ln(r_s) - 0.0116r_s + 0.0020r_s \ln(r_s) & r_s < 1 \\ -0.1423/(1 + 1.9529\sqrt{r_s} + 0.3334r_s) & r_s > 1 \end{cases} \quad (2.34)$$

Burada,  $r_s$  yoğunluğun homojen olduğu  $\Omega$  hacimli sistemlerde ( $n=N_e/\Omega$ ) bir elektron içerecek şekilde tanımlanan bir Wigner küresinin yarı çapıdır ve  $r_s = (3/4\pi n)^{1/3}$  şeklinde tanımlanır (Ceperley ve Alder 1980).

Elektron yoğunluğunun homojene yakın olduğu metalik sistemlerde LDA fonksiyoneli başarıyken, kabukları elektronlar tarafından tamamen doldurulmamış (open shell) ve manyetik sistemlerde LSDA oldukça başarılıdır. LDA moleküllerin bağlanma (binding) enerjisi ile katıların kohesif enerjilerini beklenen değerinden yüksek tahmin eder. Kovalent, iyonik ve metalik bağların olduğu düzgün geometrik davranış gösteren sistemlerde iyi sonuçlar verir. Bağ uzunluğunu deneysel değerlerin % 1-2' si civarında düşük vermekle birlikte bağ açısı hesaplarında oldukça iyidir. Elastik sabitleri hesaplamada ve fonon frekanları hesaplamada (çok küçük bir miktar düşük hesaplama eğilimi ile) başarılıdır. Dielektrik sabiti ve piezo elektrik katsayıları % 10' dan fazla olacak şekilde hesaplanır. Hidrojen bağı ve van der Waals kapalı kabuk sistemlerinde yoğunluk düzgün olmadığı için zayıftır. İyonizasyon enerjisi hesaplamalarında başarılıdır.

Diğer yandan yarı iletkenler, iyonik kristaller ve moleküller gibi yoğunluğun düzgün olmadığı sistemlerde başarısız olduğu durumlar vardır. Korelasyonun güçlü olduğu sistemlerde elektronlar kuvvetli şekillerde yerleşmişlerdir ve XC fonksiyoneli öz-etkileşimi tamamen ortadan kaldırmaya yetmemektedir. Sonlu moleküler sistemlerde ve kümelerde değiş-tokuş ve korelasyon potansiyeli  $1/r$  şeklinde değil üstel bir şekilde azaldığı için başarılı değildir. Düşük boyutlu sistemlerde örneğin yüzey ya da tellerde (wire) yine aynı sebepten dolayı adsorpsiyonu açıklamada zayıftır. Negatif yüklü iyonların tesbitinde başarısızdır. Valans bandındaki bir elektronu iletim bandına geçirmek için gerekli olan band aralığı enerjisini (Kohn-Sham enerji aralığı) gerçek değerinden % 40 daha küçük hesaplar. Dahası bazı küçük band aralığı olan yarı iletkenleri metalik olarak gösterir.

Bunun sebebi olarak (2.29) denklemindeki türevin süreksizlikleri olarak gösterilir (Kohanoff 2006).

### 2.3.3.2 Genelleşmiş Gradyanlar Yaklaşımları (GGA)

Gerçek sistemlerin çok azında yoğunluk homojenliğe yakındır. Bu yüzden değiş-tokuş ve korelasyon fonksiyonelini yoğunluğun gradyanı ve daha yüksek mertebeden türevlerinin bir serisi gibi düşünmek daha gerçekçi bir yaklaşım olacaktır. Bu durumda değiş-tokuş ve korelasyon enerji fonksiyoneli şu şekilde olur:

$$E_{xc}[n] = \int n(\mathbf{r}) \epsilon_{xc}[n(\mathbf{r})] F_{xc}[n(\mathbf{r}), \nabla(\mathbf{r}), \nabla^2 n(\mathbf{r}), \dots] d\mathbf{r}. \quad (2.35)$$

Burada,  $F_{xc}$  göz önüne alınan nokta civarında fonksiyoneldeki LDA ifadelerini değiştiren güçlendirme faktörüdür. Sadece gradyanın alındığı durumda fonksiyonel yarı yerel hale gelerek yerel olmayan etkileri yakalayamamaktadır. Bunun için 2., 4. ve 6. mertebeden yaklaşımlar geliştirilmiştir. Tabii ki bu yaklaşımlar belirli kurallar çerçevesinde yapılmaktadır. Bunlardan en çok kullanılanları Becke-Lee-Yang-Parr (BLYP), Perdew-Burke-Ernzerhof (PBE) ve meta-GGA olanlarıdır (Becke 1988; Lee ve diğ. 1988; Perdew ve diğ. 1996; Perdew ve diğ. 1999).

Bu tez çalışmasının bir kısmında PBE tarafından parametrize edilen GGA fonksiyonelleri kullanılmıştır. Güçlendirme faktörünün değiş-tokuş kısmı  $F_x(n, \zeta, s)$  yoğunluğa, fraksiyonel spin polarizasyonuna ( $\zeta(\mathbf{r}) = (n_\uparrow(\mathbf{r}) - n_\downarrow(\mathbf{r}))/n(\mathbf{r})$ ) ve boyutsuz yoğunluk gradyanına  $s = |\nabla n(\mathbf{r})| / (2k_F n)$  bağlıdır, burada  $k_F$  Fermi dalga vektörüdür.

$$F_x(s) = 1 + \kappa - \kappa / (1 + \mu s^2 / \kappa). \quad (2.36)$$

Burada,  $\mu = 0.21951$ ,  $\kappa = 0.804$  alınmaktadır. Korelasyon kısmı ise şöyledir:

$$E_c^{GGA-PBE}[n^\uparrow, n^\downarrow] = \int d^3r n [\epsilon_c^{LDA}(r_s, \zeta) + H(r_s, \zeta, t)]. \quad (2.37)$$

Burada,  $H = \frac{e^2}{a_0} \gamma \phi^3 \ln\left\{1 + \frac{\beta}{\gamma} t^2 \left[\frac{1 + At^2}{1 + At^2 + A^2 t^4}\right]\right\}$  alınır,  $t = |\nabla n(\mathbf{r})| / (2\phi k_s n)$  Thomas-Fermi perdeleme  $k_s$  dalga vektörü sayısına göre boyutsuz yoğunluk gradyanı,

$\phi(\zeta)=[(1+\zeta)^{2/3}+(1-\zeta)^{2/3}]/2$  spin ölçekleme faktörü,  $\beta=0.066725$ ,  $\gamma=0.031091$ . A fonksiyonunun şekli şöyledir:  $A = \frac{\beta}{\gamma} [e^{\epsilon_c^{LDA}[n]/(\gamma\theta^3 e^2/a_0)} - 1]^{-1}$ .

Çok sayıda GGA fonksiyonellerinin olmasının bir sebebi de şudur. Bir fiziksel özelliği açıklarken diğerlerine göre çok başarılı olan bir fonksiyonel diğer bir özelliği hesaplarken o kadar başarılı olamayabilmektedir. Bağ enerjisi, bağ uzunluğu ve yapısal parametre hesaplamalarında GGA fonksiyonelleri LDA fonksiyoneli ile elde edilen sonuçlara bir miktar iyileştirme getirmektedir. Değiş-tokuş enerjisi yarı-yerel (uzun menzilli olmayan) özellikte olduğu için bu yaklaşımda da Hartree terimindeki öz-etkileşme terimi tamamen ortadan kaldırılamamaktadır.

### 2.3.3.3 Hibrit Yaklaşımlar

DFT’ de değiş-tokuş ve korelasyon fonksiyoneli oluşturulurken değiş-tokuş kısmını Hartree enerjisindeki öz-etkileşim katkılarını tamamen ortadan kaldıramamaktadır. Bunu sağlamak için değiş-tokuş kısmına HF teorisindeki değiş-tokuş katkısının bir kesiri kadar katkının eklenmesiyle hibrit fonksiyonelleri elde edilmektedir:

$$E_{xc}^{\text{hibrit}} = \alpha E_x^{\text{HF}} + (1 - \alpha) E_x^{\text{DFT}} + E_c^{\text{DFT}}. \quad (2.38)$$

Buradaki  $\alpha$  çiftlenim sayısı iki farklı şekilde alınabilir. Birinci yol bazı deneysel sonuçlara fit edilerek ayarlanması ki bu ilk prensipler hesaplamalarına uymaz ve farklı ortamlara taşınabilme (transferibility) özelliğini azaltır veya tamamen ortadan kaldırır. İkinci yöntemde ise  $\alpha$  1/2, 1/4 vb. şeklinde bir sayı olarak alınır.  $\alpha$  katsayısına ve  $E_{xc}$  teriminin alındığı DFT metoduna göre PBE0, HSE06, B3LYP gibi isimlendirilirler. Değiş-tokuş ve korelasyon fonksiyonellerinin enerji hesaplamalarında en başarılı olanlarıdır. Elektronik band aralığı, bağlanma enerjisi hesaplamalarında ve geometrik yapı belirlemede oldukça başarılı olan bu fonksiyoneller hesaplama maliyeti açısından değerlendirildiğinde standart DFT ile HF yöntemi arasındadırlar.

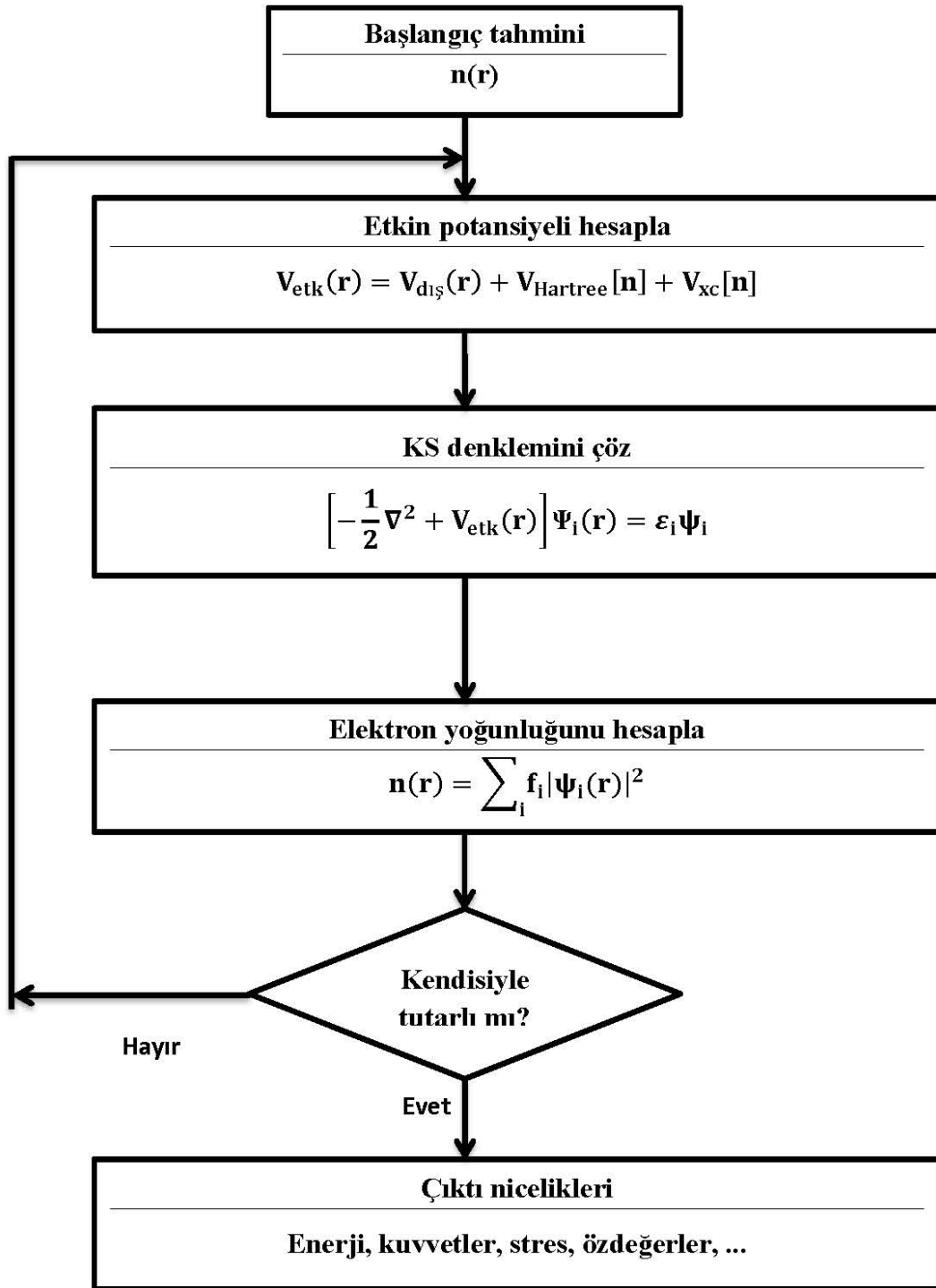
Bütün arařtırmalarda kullanılabilir özellikte tek bir fonksiyonel yoktur. Başarılı bir modelleme yapılabilmesi için fiziksel bir sistemin özelliklerinin bilinmesi ve o özelliklere uygun fonksiyonların belirlenip kullanılması gerekmektedir.

### 2.3.4 Kohn-Sham Denklemi'nin Çözümü

Etkileşen çok-parçacıklı sistemin Schrödinger denklemini çözebilmek için bu sistem yerine  $n$  elektron yoğunluğu bu sisteminkiyle aynı olan ve etkileşmeyen tek parçacıklardan oluşan ikincil bir sistem düşünülmüştür. Yeni sistemde Denklem (2.25) ile ifade edilen Schrödinger benzeri Kohn-Sham denklemleri elde edilmiştir. Etkileşmelerin olduğu gerçek sistemdeki potansiyele  $V_{\text{etk}}$  etkin potansiyel denilirse Denklem (2.27) ile verilen  $V_{\text{KS}}$  potansiyeli bu potansiyelin minimumudur (taban durumunda).  $V_{\text{KS}}(r) = V_{\text{etk}}(r) = V_{\text{dış}}(r) + V_{\text{Hartree}}[n] + V_{\text{xc}}[n]$  olur. Kohn-Sham denkleminin iteratif bir döngü içerisinde öz-uyumlu veya kendisiyle uyumlu (self-consistent) bir şekilde çözülmesi gerekmektedir. Kendisiyle uyumlu denilmesinin sebebi şudur: Sistemin yoğunluğu elde edilmek istenirken potansiyel kullanılmaktadır, halbuki bu potansiyeli belirlemek için ise yoğunluğa ihtiyaç vardır. Şekil 2.3' te iş-akış şeması gösterilen denklem çözüm sisteminin çalışması şöyledir:

- 1-) Başlangıçta tahmini bir  $n$  deneme yoğunluğu alınır,
- 2-) Bu yeni yoğunluk kullanılarak  $V_{\text{etk}}$  etkin potansiyeli oluşturulur,
- 3-) Bu potansiyel Hamiltonyende kullanılarak çözüm yapılır ve yeni bir yoğunluk, hesaplanır.
- 4-) Kendisi ile uyumluluk oluşturulana kadar 2. aşamadan itibaren tekrarlanarak devam eder.

Bu şekilde bir döngü oluşturulur. Bu döngünün sonlandırılması kontrol noktasındaki enerji farkı hesabı için konulan eşik şartına bağlıdır. Bir döngü adımındaki toplam enerji  $n_{\text{gir}}$  giriş yoğunluğu kullanılarak hesaplanır. Çözüm gerçekleştikten sonra elde edilen  $n_{\text{çık}}$  yeni yoğunluk kullanılarak toplam enerji tekrar hesaplanır ve iki enerji arasındaki fark kontrol edilir. Eğer fark eşik değeri olarak belirlenen değerden büyük ise döngü devam ettirilir; değil ise döngü durdurulur ve yakınsamanın gerçekleştiği, yani sistemin taban durum yoğunluğunun elde edildiği kararına varılır. Atom ve moleküllerin toplam enerjilerinin eV mertebelerinde olduğu bir sistemde  $10^{-5}$  eV



**Şekil 2.3:** Kohn-Sham denkleminin kendisiyle uyumlu iteratif (döngüsel) çözüm için iş-akış şeması.

büyükliğündeki bir eşik değeri bir çok hesaplama için yeterlidir. Enerji hesaplamalarında istenilen yakınsamanın gerçekleştirilebilmesi için  $V_{\text{etk}}$  etkin potansiyelinin döngünün her basamağında güncellenmesi gerekmektedir, bunun için

de o basamakta kullanılacak yoğunluğa ihtiyaç vardır. Bir basamaktaki yoğunluğu belirlemek için değişik algoritmalar geliştirilmiştir. Lineer karıştırma (mixing) ve Broyden karıştırma bu algoritma örneklerindedir. Lineer karıştırmada örneğin (i+1). basamakta kullanılacak olan yoğunluk i. basamaktaki giriş ve çıkış yoğunluklarının bir karışımı şeklinde alınır:

$$n_{i+1}^{gir} = \alpha n_i^{gir} + (1 - \alpha) n_i^{cik}. \quad (2.39)$$

Burada,  $\alpha$  sabit bir sayı alınabileceği gibi sistemin tepki fonksiyonu  $\delta n^{cik} / \delta V^{cik}$  kullanılarak da (yakınsamayı sağlayacak şekilde) belirlenebilir. Broyden algoritması ise çok daha başarılı bir algoritmadır (Martin 2004).

Kurgusal tabiatından dolayı KS orbitallerine ve enerjilerine kuşkuyla bakılmaktadır. Etkileşmeyen tek elektronların olduğu hayali bir sistem üzerine kurulan KS yaklaşımı gerçek sistemi yeniden formüle etmek üzere geliştirilmiş mükemmel bir yaklaşımdır. Yoğunluktan elde edilen bu orbitaller DFT çerçevesinde atomların kabuksal (shell) yapısını elde ederler. Diklik ve anti-simetriklik gibi özellikleri taşırlar.  $\epsilon_i$  Kohn-Sham enerji özdeğerleri fiziksel olmayan nicelikler gibi algılanmaktadır. Aslında kimyasal potansiyeldirler ( $\partial E / \partial n(r)$ ). Örneğin dolu seviyelerin en yüksekinin kimyasal potansiyeli iyonizasyon potansiyelinin gerçek değerine eşittir. Her enerji özdeğeri bir KS elektronunun enerjisini temsil eder ve bu özdeğerlerin toplamı çift kat sayma hatası düzeltildikten sonra sistemin toplam enerjisini verir. Yine aynı hata ortadan kaldırıldıktan sonra elektronik band yapısını tanımlamada, durumlar yoğunluğunu (DOS) açıklamada ve bağ karakterlerini belirlemede kullanılırlar (Lee 2012).

### 2.3.5 Elektron-Çekirdek Etkileşmeleri ve Dalga Fonksiyonları

Bir atomda elektronların çekirdekteki pozitif yükler tarafından oluşturulan Coulomb potansiyelinde hareket ettikleri kabul edilerek elektron-çekirdek etkileşmeleri KS Hamiltonyeninde  $V_{dış}$  terimi ile gösterilmektedir. Elektronlar özdeş parçacıklar olmalarına rağmen bu etkileşmelerde iki farklı şekilde değerlendirilirler. Birinci kısım elektronlar çekirdeğe sıkı bağlı olup çekirdekteki yükleri perdeleme görevi yapan ve dondurulmuş (frozen) gibi düşünülen kor (iç) elektronlardır. İkinci

kısım elektronlar ise valans (değerlik) elektronları olup kimyasal bağ yapmada ve fiziksel özelliklerin oluşumunda belirleyici rol oynayan elektronlardır. Bu sınıflandırmaya bazen kor elektronlarından enerjisi valans elektron enerjilerine yakın olan bağ yapmada etkin olmayan fakat dondurulmuş olarak kalmayıp polarizasyon etkisi gösteren elektronlara yarı-kor elektronları farklı bir sınıf olarak dahil edilmektedirler. Bu sınıflama elektronları karakterize eden orbitallerde (dalga fonksiyonu) gösterilir. Çekirdek elektron etkileşmeleri iki farklı metotla ele alınabilir.

Birincisi tüm-elektron (all-electron, AE) metodudur. Özet olarak bu metotta uzay çekirdek çevresinde küresel bölgelere ve küresel bölgelerin arasında kalan ara bölgelere (interstitial) ayrılır. Dalga fonksiyonları küre yüzeylerinde (sınırlarda) sürekli ve türevi alınabilir şekilde oluşturulur. Ara bölgelerdeki Schrödinger denkleminin çözümü kürenin içine küresel harmonikler veya benzeri kısmi dalgalar kullanılarak çoğaltılır (augmentation). Böylece dalgalar da enerjiye bağlı olacak şekilde belirlenmiş olur. Kor durumları bu şekilde yapılandırılırken valans durumları da düzgün (smooth) olan ara bölge fonksiyonları ile temsil edilir. Küresel bölgelerde dalga fonksiyonları atom benzeri fonksiyonların kullanıldığı baz fonksiyonları ile çoğaltılır.

İkinci metod olan psödo potansiyel (pseudo potential, PP) metod ise kısaca şöyle açıklanabilir. Çekirdek ile beraber kor elektronları birlikte iyonik kor olarak düşünülür ve sistemin serbestlik derecesi büyük ölçüde azaltılır. Hesaplamalar sadece valans elektronları üzerinden yürütülür. Valans elektronlarının iyonik kor ile etkileşmeleri basit Coulomb etkileşmesi değil, perdelenmiş çekirdek yükleri iledir. Kor bölgesinde düzgün olan valans dalga fonksiyonunun kor fonksiyonuna dikliği yine çoğaltma ile sağlanır.

### 2.3.5.1 Baz Fonksiyonu Kümeleri

Herhangi bir tek-elektron orbitali bir baz orbitallerinin lineer kombinasyonu şeklinde yazılabilir:

$$\psi_j(\mathbf{r}) = \sum_{\alpha=1}^M C_{j\alpha} \phi_{\alpha}(\mathbf{r}). \quad (2.40)$$



Burada,  $j$  dalga fonksiyonu etiketi,  $M$  baz kümesindeki orbitallerin sayısı,  $C_{ij}$  seriye açma katsayılarıdır. KS orbitalleri dört ana kategoride toplanan baz fonksiyon kümeleri kullanılarak gösterilirler:

1-) Genişletilmiş (extended) baz kümeleri: Bütün uzayı tarayacak şekilde oluşturulan bu fonksiyonların atom çekirdeklerini merkez alan ve almayan çeşitleri vardır. Düzlem dalgalar (plain waves, PW) ikinci tipe örnektir. Her iki tipi de yerel olmaktan çıkarılmış (delocalized) bu kümeler kullanıldığında katı ve sıvılarda çok iyi sonuçlar alınmakta, fakat moleküler sistemlerde yetersiz kalmaktadırlar.

2-) Yerelleşmiş (localized) baz kümeleri: Çekirdekler, bağ veya hayali bir atomu merkez kabul ederek yerelleştirilmişlerdir. Moleküler sistemlerde verimlidirler.

3-) Karışım baz kümeleri: Genişletilmiş ve yerelleştirilmiş kümelerin karışımıdır.

4-) Çoğaltılmış baz kümeleri: Genişletilmiş ya da atom merkezli yerel baz kümeleri atom-benzeri dalga fonksiyonları ile çoğaltılabilirler. Oldukça iyi sonuç verirler, fakat kullanımları teknik olarak çok dikkat gerektirir.

### 2.3.5.2 Düzlem Dalgalar (PW)

Tek-elektron  $\psi_j(\mathbf{r})$  KS orbitali formülasyonu, Denklem (2.40)' ta verildiği gibi düzlem dalgaların  $\phi(\mathbf{r})$  lineer kombinasyonu şeklinde yazılabilir. Baz vektörleri, sistemin periyodik sınır şartlarını Bloch teoremini sağlayacak şekilde olur:

$$\psi_j^{(\mathbf{k})}(\mathbf{r}) = e^{i\mathbf{k}\cdot\mathbf{r}} \sum_{\alpha=1}^M C_{j\alpha}^{(\mathbf{k})} \phi_{\alpha}(\mathbf{r}). \quad (2.41)$$

Burada,  $\mathbf{k}$  BB' de bir dalga vektörünü gösterir.  $e^{i\mathbf{k}\cdot\mathbf{r}}$  terimi Bloch teoremi gereğince gelen faz çarpanıdır ve  $C_{j\alpha}^{(\mathbf{k})}$  baz fonksiyonlarının katsayılarıdır. Öte yandan, gerçek uzayda bir fonksiyon Fourier serisine açılabilir:

$$\psi^{(\mathbf{k})} = \frac{e^{i\mathbf{k}\cdot\mathbf{r}}}{\sqrt{\Omega}} \sum_{\mathbf{G}=0}^{\infty} C_{\mathbf{k}}(\mathbf{G}) e^{i\mathbf{G}\cdot\mathbf{r}}. \quad (2.42)$$

Burada,  $\Omega$  birim hücre hacmi,  $\mathbf{G}$  ters uzayda örgü öteleme vektörü ve  $C_{\mathbf{k}}(\mathbf{G})$  Fourier dönüşüm katsayılarını göstermektedir. PW baz fonksiyonları şu şekildedirler:

$$\phi_{\mathbf{G}}(\mathbf{r}) = \frac{1}{\sqrt{\Omega}} e^{i\mathbf{G}\cdot\mathbf{r}}. \quad (2.43)$$

Bu fonksiyonlar örgünün birim hücresinde normalize edilirler ve  $\langle \phi_{\mathbf{G}} | \phi_{\mathbf{G}'} \rangle = \delta_{\mathbf{G}, \mathbf{G}'}$  diklik şartlarını sağlarlar. Farklı  $j$  özdeğerlerine karşılık gelen dalga fonksiyonları PW baz vektörleri kümesi kullanılarak elde edilmiş olur:

$$\psi_j^{(\mathbf{k})}(\mathbf{r}) = \frac{e^{i\mathbf{k}\cdot\mathbf{r}}}{\sqrt{\Omega}} \sum_{\mathbf{G}=0}^{\infty} C_{j\mathbf{k}}(\mathbf{G}) e^{i\mathbf{G}\cdot\mathbf{r}} = \frac{1}{\sqrt{\Omega}} \sum_{\mathbf{G}=0}^{\infty} C_{j\mathbf{k}}(\mathbf{G}) e^{i(\mathbf{k}+\mathbf{G})\cdot\mathbf{r}}. \quad (2.44)$$

$e^{i\mathbf{k}\cdot\mathbf{r}}$  faz çarpanı BB' de bir  $\mathbf{k}$  vektörü içerirken, seri açılımına giren ters örgü vektörleri  $\mathbf{G} = 0$  hariç BB dışındadırlar. Değişik  $\mathbf{k}$  vektörlerine karşılık gelen dalga vektörleri farklı Schrödinger denklemlerine uyarlar. PW kullanıldığında kinetik enerji matrisi şöyle yazılır:

$$T_{\mathbf{G}, \mathbf{G}'} = -\frac{\hbar^2}{2m} \langle \phi_{\mathbf{G}}^{\mathbf{k}} | \nabla^2 | \phi_{\mathbf{G}'}^{\mathbf{k}} \rangle = -\frac{\hbar^2}{2m} |\mathbf{k} + \mathbf{G}|^2. \quad (2.45)$$

PW baz kümesi kullanıldığında  $C_{j\mathbf{k}}(\mathbf{G})$  katsayıları sonsuz sayıda olmalıdır.  $|\mathbf{k}+\mathbf{G}|$  değeri büyüdükçe bu katsayılar küçülmektedir. Sonsuz terimli bu serinin makul bir noktada kesilmesi gerekmektedir. Bu da kesme enerjisi  $E_{\text{cut}}$  ile sağlanır:

$$\frac{\hbar^2}{2m} |\mathbf{k} + \mathbf{G}|^2 < E_{\text{cut}}. \quad (2.46)$$

PW baz kümesi kullanmanın avantajları şunlardır:

- 1-) Tek-elektron Hamiltonyenindeki kinetik enerji ters uzayda, potansiyel terimi ise gerçek uzayda köşegendir. Köşegen olması hesabın hızlı ve kolay olması anlamını taşır. Bu yüzden hesaplar yapılırken gerçek uzaydan ters uzaya oradan tekrar gerçek uzaya dönüşümlerin yapılması gerekmektedir. Bu işlem hızlı Fourier dönüşümü (Fast Fourier Transformation, FFT) tekniği ile yapılır. PW bu işleme çok elverişlidir.
- 2-) Enerji ve türevlerinin (kuvvet, zor) hesaplanması analitik ve kolaydır.
- 3-) PW atomlar ile birlikte hareket etmezler ve uzayın her noktası aynı duyarlılıkla temsil edilir. Türevleri alındığında çekirdek üzerine ek kuvvetler getirmezler.

Bazı dezavantajları ise şunlardır:

- 1-) Vakum bölgesi gerektiren yüzey, tel gibi düşük boyutlarda vakumu temsil etmek için çok sayıda PW gerektiğinden çok hesaplama çabası gerektiriler.
- 2-) Yüklü sistemleri temsil etmede pek başarılı değildirler. Telafi edici bir alt yapı ile birlikte kullanılmalrı gerekir.

3-) Çekirdeğe yaklařıldıkça dalgaların çok hızlı deęişim gösterdięi sistemlerde PW serisini kesme enerjisinin büyük seilmesi gerekir yani çok sayıda PW' ye ihtiya vardır (Kohanoff 2006).

### 2.3.6 Psödo Potansiyeller (PP)

Atomik sistemlerde elektron dalga fonksiyonlarının tamamen düzlem dalgalar kullanılarak gösterilmesi mümkün deęildir. Orijinde  $1/r$  teriminden dolayı ya ıraksama olur ya da çekirdeęe yakın bölgelerde keskin dönüm noktaları (nodes) olur. Bu zorluęu aşmak için çekirdek etrafındaki küresel bir bölge içerisinde (muffin-tin) AE dalga fonksiyonlarının çoęaltılması fikri geliştirilmiştir (Augmented Plane Wave, APW) (Slater 1937). Valans elektronlarının düzlem dalga fonksiyonları ile kor bölgesi dalgalarının lineer kombinasyonu şeklinde alınmasıyla sistemin tanımlanması daha başarılı bir hale getirilmiştir. Bu kombinasyondaki katsayılar belirlenirken oluşturulan valans dalga fonksiyonunun kor dalga fonksiyonuna dik olması şartı gerçekleştirilir. Dikleştirilmiş düzlem dalgalar (ortogonalized plane waves, OPW) fikri ortaya atılmıştır (Herring 1940). Düzlem dalgaların davranışları düzgündür, fakat kor bölgesindeki yerelleşmiş atomik orbitallerin osilasyonlarının düzgün hale getirilmesi gerekmektedir. Bu da kor bölgesinin etkin ve düzgün davranışlı bir potansiyel ile dięer bir deyişle psödo potansiyel (yapma, uydurma potansiyel) ile temsil edilmesiyle sağlanabilir. Geliştirilen bu PP' de kor bölgesinin düzgün hale getirilmiş davranışları dondurulmuş gibi kabul edilir (frozen core yaklaşımı) ve gerçek (etkin) potansiyel büküm noktaları olmayan PP ile deęiştirilir (Aschcroft ve Mermin 1976).

Modern psödo potansiyellerin temelinde ise Philips ve Kleinman' ın kor dalga fonksiyonları ile onlara dik olmayan valans fonksiyonlarını kullanarak daha düzgün (smooth) valans fonksiyonları üretme çabası yatmaktadır. PP operatörü şu şekilde yazılır:

$$\hat{V}_{PP} = \frac{Z_c}{r} \hat{I} + \sum_c (\epsilon_v - \epsilon_c) |\varphi_c \rangle \langle \varphi_c|. \quad (2.47)$$

Burada,  $Z_c/r$  saf Coulomb potansiyeli,  $\hat{I}$  birim operatörü,  $\epsilon_v$  ve  $\epsilon_c$  sırasıyla valans ve kor enerji özdeęerleri,  $\varphi_c$  ise kor dalga fonksiyonudur (Philips ve Kleinman 1959).

Psödo potansiyeller farklı açısai momentum dalga fonksiyonlarına farklı etki gösterdikleri aşğıdaki denklemden görölmektedir:

$$\widehat{V}_{PP}(\mathbf{r}) = \sum_{l=0}^{\infty} \sum_{m=-l}^l V_{PP}^l(\mathbf{r}) |lm\rangle \langle lm| = \sum_{l=0}^{\infty} V_{PP}^l(\mathbf{r}) \widehat{P}_l. \quad (2.48)$$

Burada,  $\langle \mathbf{r} | lm \rangle = Y_{lm}(\theta, \phi)$  küresel harmonikler,  $V_{PP}^l(\mathbf{r})$  ise  $l$  açısai momentumuna karşılık gelen PP,  $\widehat{P}_l$  operatörü ise açısai momentum alt uzayında  $l$ . açısai momentum üzerine hedefleme (projeksiyon) operatörüdür.  $\widehat{V}_{PP}(\mathbf{r})$  elektron dalga fonksiyonlarına etki ettiğı zaman  $\widehat{P}_l$  projeksiyon operatörü farklı açısai momentum bileşenlerini seçip karşılık gelen  $V_{PP}^l(\mathbf{r})$  ile çarpılmasını sağlar. Açısai momentum bileşenlerine göre farklı etki eden bu psödopotansiyellere yerel olmayan (non-local) PP denir. Fakat radyal bileşeni yerel olduğı için yarı yerel (semilocal) tanımı daha doğru bir tanım olur. Normalde iyonik kor bölgesinde düşük açısai momentumlu durumlar doludur. Bu durumda operatör şu şekilde gösterilir:

$$\begin{aligned} \widehat{V}_{PP} &= \sum_{l=0}^{\infty} V_{PP}^{loc}(\mathbf{r}) \widehat{P}_l + \sum_{l=0}^{l_{max}} [V_{PP}^l(\mathbf{r}) - V_{PP}^{loc}(\mathbf{r})] \widehat{P}_l \\ &= V_{PP}^{loc}(\mathbf{r}) \hat{I} + \sum_{l=0}^{l_{max}} \nabla V_{PP}^l(\mathbf{r}) \widehat{P}_l. \end{aligned} \quad (2.49)$$

PP kullanarak Şekil 2.4' te temsili gösterimi yapıldığı gibi kor elektronları hesaplamadan tamamen kaldırılır, valans elektronların çekirdek ve kor elektronları ile etkileşimleri (diklik dahil) etkin, düzgün davranışlı ve perdelenmiş bir potansiyel ile temsil edilir (Kohanoff 2006).

İki çeşit PP vardır.

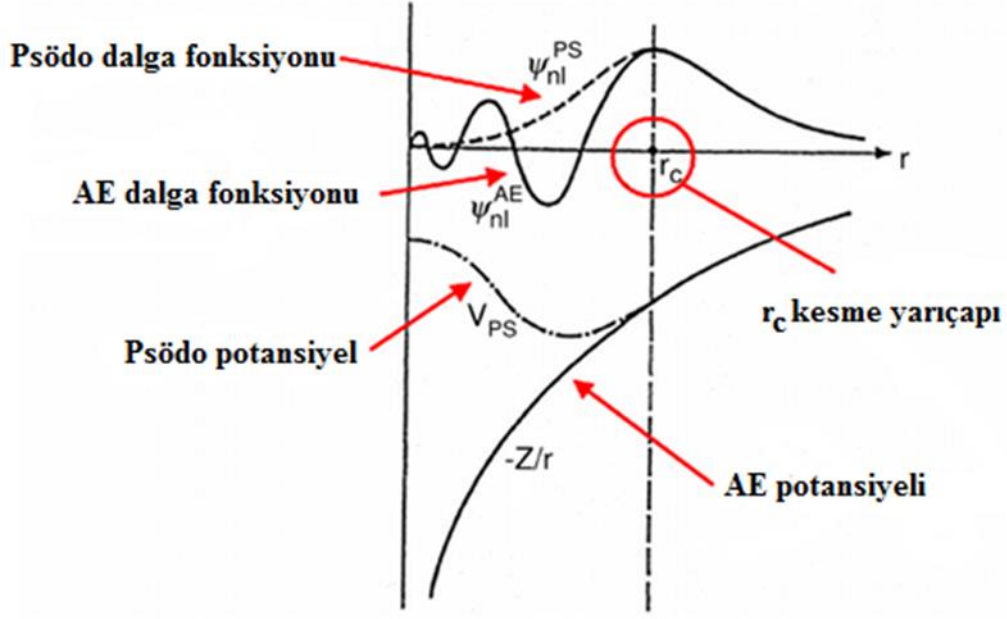
1-) Ampirik PP: Atomik ya da katıhal deneysel verilerine fit edilerek üretilenler.

2-) *Ab Initio* PP: Atomun hesaplanan valans özelliklerine fit edilerek üretilenler.

*Ab initio* psödo potansiyeller de üç ana başlık altında incelenirler.

- a) Büyüklük koruyan PP (Norm Conserving, NCPP)
- b) Ayırıştırılabilen (seperable) PP
- c) Ultrayumuşak PP (Ultrasoft, USPP)

Bu tez çalışmasında NC ve US psödo potansiyeller kullanılmıştır.



**Şekil 2.4:** Psödo potansiyel ve psödo dalga fonksiyonları temsili gösterimi. AE dalga fonksiyonu ve potansiyeli düz çizgilerle, psödodalg fonksiyonu ve psödopotansiyel daha düzgün davranış gösteren kesikli çizgi ile gösterilmiştir.

### 2.3.6.1 NCPP (Büyüklik Koruyan Psödo Potansiyeller)

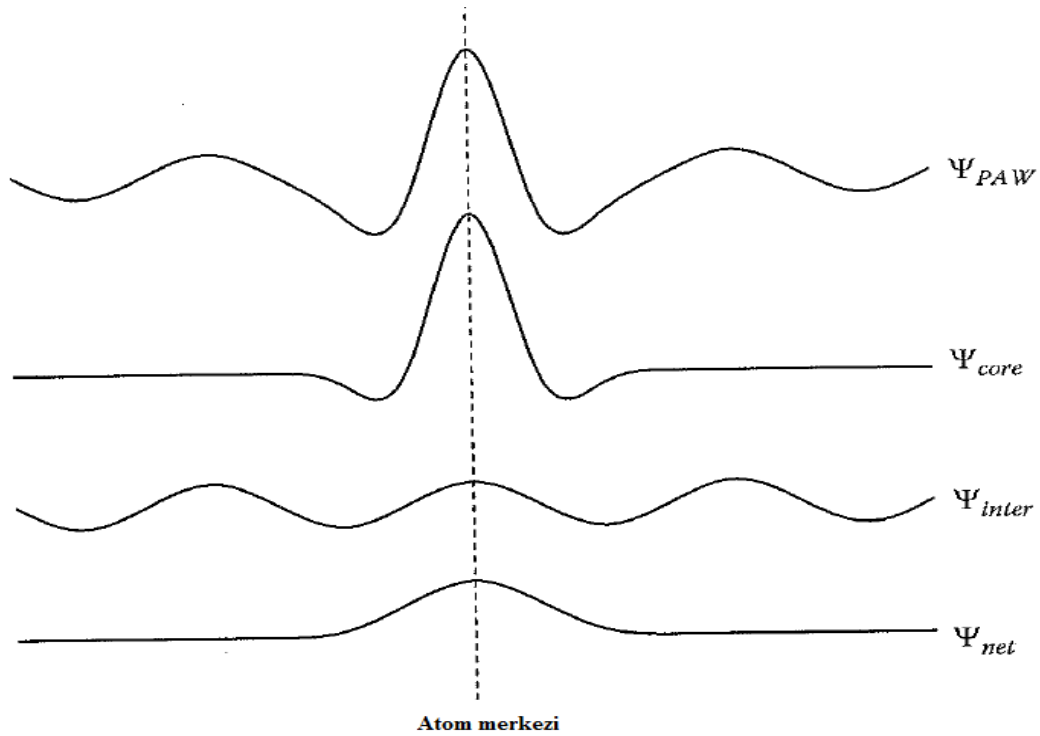
Haman, Schlüter ve Chiang iyi bir psödo potansiyelde olması gereken özellikleri tamlık (accuracy), farklı ortamlarda kullanılabilirlik (transferability) ve düzgünlük (smoothness) şeklinde tanımlamışlardır (Hamann ve diğ. 1979). Bu özellikleri kazandırmak için NC şartlarından bazıları şunlardır:

- i-) Atomun seçilen bir konfigürasyonu için AE ve psödo dalga fonksiyonlarının özdeğerleri aynı olmalıdır.
- ii-) Seçilen bir  $r_c$  kesme yarıçapının (cutoff radius, core radius) dışındaki bölgede AE ve psödo dalga fonksiyonları aynı olmalıdır.
- iii-)  $R_c$  noktasında ve dışındaki bölgede her iki dalga çeşidinin logaritmik türevleri aynı olmalıdır.
- iv-) Her bir dalga fonksiyonunun  $r_c$ ' nin iç bölgesinde temsil ettiği yükler aynı olmalıdır:

$$\int_0^{r_c} |\Psi_{PP}(\mathbf{r})|^2 d\mathbf{r} = \int_0^{r_c} |\psi_{AE}(\mathbf{r})|^2 d\mathbf{r}. \quad (2.50)$$

Troullier-Martins (TM) ve Kerker bu tür psödo potansiyelleri daha düzgün hale getirmek için çalışmalar yapmışlardır( Troullier ve Martins 1991; Kerker 1980). Yine NCPP' lere rölativistik etkilerin dahil edilmesi, lineer olmayan kor düzeltmelerinin (Non Linear Core Corrections, NLCC) yapılması için çalışmalar yapılmaktadır.  $R_c$ ' nin küçük seçilmesi bir PP' in sertliğini (hardness) artırmakta bu da hesaplamalarda kullanılan düzlem dalga sayısını fazlalaştırmaktadır. Bu PP' ler ile sadece valans yük yoğunlukları hesaplanabilmektedir.

Hedefleyen-çoğaltılmış dalgalar (projector augmented waves, PAW) potansiyeli dondurulmuş kor AE potansiyel çeşididir. AE potansiyellerinin yeterliliğini ve tamlığını elde etmek için Blöchl tarafından ileri sürülmüş ve Kresse-Joubert tarafından geliştirilmiştir (Blöchl 1994; Kresse ve Joubert 1999 ). Şekil 2.5' de şematik olarak gösterildiği gibi  $\Psi_{core}$  kor dalga fonksiyonunun kor kısmı atom merkezinde radyal şekilde hedeflenmiş,  $\Psi_{inter}$  valans dalga fonksiyonları düzlem dalgaların açılımı şeklindedir. Bu iki dalganın çoğaltılıp toplanmasından sonra  $\Psi_{net}$  çakışan (overlap) kısımlar çıkartılarak  $\Psi_{PAW}$  potansiyeli aşağıdaki denklemde verildiği gibi oluşturulmuştur:



**Şekil 2.5** : PAW potansiyeli oluşturulmasında kullanılan dalga bileşenlerinin şematik gösterimi (Lee 2012).

$$\Psi_{PAW} = \Psi_{core} + \Psi_{inter} - \Psi_{net} . \quad (2.51)$$

PAW potansiyelleri, kor bölgesi çok iyi temsil edildiği için hemen hemen AE potansiyellerinin kesinliğinde ve daha az hesaplama ile sonuçların elde edilmesini sağlarlar. Bu potansiyellerle hesaplanan valans yük yoğunluğu, başka standart hiçbir PP ile hesaplanamayan ve AE yük yoğunluğuna en yakın olan sonuçları verir (Lee 2012).

### **2.3.6.2 USPP (Ultra Yumuşak Psödo Potansiyeller)**

Dalga fonksiyonlarının çekirdeğe yakın bölgelerde osilasyonları çok olduğu için büyüklük koruma şartı PP' lerin sert olmasına sebep olmakta bu da çok sayıda PW kullanılmasını gerektirmektedir. Büyüklük koruma şartının esnetilmesi ve PW sayısının azaltılması çalışmaları ultra soft psödo potansiyellerin (USPP) bulunması ile sonuçlanmıştır (Vanderblit 1990). Yüklerin korunması, eksik yüklerin tamamlanması bir operatör ve yardımcı (auxilliary) fonksiyonlar yardımıyla gerçekleştirilmektedir. Yük yoğunluğu hesaplanırken bu operatör değiştirilmiş yerel olmayan potansiyel ile birlikte kendisiyle uyumlu bir şekilde bu eksik kalan yüklerin tamamlanmasını sağlar. Dalga fonksiyonları kesme yarıçapı  $r_c$  büyük seçildiği için çekirdekten uzaklaştıkça türevlerinin değerleri küçülür ve daha düz (flat) bir dalga şekline sahip olurlar. USPP' ler de PAW potansiyellerinde olduğu gibi sadece valans yük yoğunluklarını verirler, kor bölgesindeki yoğunlukları hesaplayamazlar.

### 3. YÖNTEM

Bu bölümde, tez çalışmasında incelenen fiziksel özelliklerin teorisi ve hesaplama yöntemleri anlatılacaktır. Bunlar sırasıyla yapısal ve mekanik özellikler, elektronik band aralığı, örgü dinamiği hesapları ve kuazi-harmonik yaklaşım ile bazı fiziksel özelliklerin sıcaklık ile değişimleridir.

#### 3.1 Yapısal ve Mekanik Özellikler

Bir malzemenin günlük hayatta ya da bir mühendislik uygulamasında kullanılabilmesi için öncelikle yapısının belirlenmesi ve sonra da yararlanılmak istenilen fiziksel özelliğe sahip olup olmadığının bilinmesi gerekmektedir.

##### 3.1.1 Yapısal Özellikler ve Hesaplama Yöntemi

Kuantum mekanik hesaplamalar yapan *ab initio* metotlardan DFT metodu ile yapısal optimizasyon (en kararlı şekle getirme) ile aynı anlamda kullanılan geometrik optimizasyonun temelinde toplam enerjinin minimizasyonu yatmaktadır. Herhangi bir sınırlayıcı şart belirtilmediği sürece malzemenin kristal yapısı denildiğinde birim hücre veya ilkel hücrenin uzaysal olarak üç boyutta periyodik olarak tekrar edilmesiyle oluşturulan yapılar anlatılır. Bazı yapılar için ilkel hücre ile birim hücre aynı olabileceği gibi bazı yapılarda farklı olabilir, ama her ikisi de üç boyutta ötelendiğinde kristal yapı elde edilir. Bir ilkel hücrede atomlar rastgele yerlere değil belirli yerlere konumlandırılır. Baz atomları denilen bu atomların yerleştirildikleri yerler ilkel hücre vektörleri ve varsa kesirsel koordinatlar kullanılarak belirtilir. Konfigürasyonu verilmiş bir sistemin toplam enerjisi enerji fonksiyoneli kullanılarak hesaplanır. Herbir atom üzerindeki Coulomb kuvveti en küçük olacak şekilde ve sistemin toplam enerjisini minimum yapacak şekilde yerleştirildiğinde (rahatlama), eğer bu minimum enerjinin global minimumu ise sistemin denge durumunda ve kararlı bir yapıda olduğu söylenir. Toplam enerji minimizasyonu yapılırken



simülasyon iteratif döngüleri elektronik ve iyonik minimizasyonları yapacak şekilde çalışır. İki döngü basamağındaki toplam enerjileri arasındaki fark yakınsama kriterine eşit ya da ondan küçük bir değere ulaştığında çözüme ulaşıldığı kabul edilir. DFT ile yapısal optimizasyon yapılırken varsa deneysel olarak belirlenmiş yapısal parametrelerin kullanılması zaman kazandırması ve hızlı sonuç alınması bakımından son derece önemlidir. Tablo 3.1’ de SnO<sub>2</sub> malzemesinin deneysel olarak gözlenmiş

**Tablo 3.1:** SnO<sub>2</sub> malzemesi için yapısal bilgiler. Sütünlarda sırasıyla faz adı, uzay grubu, uzay grup numarası, formül başına molekül sayısı Z, Wyckoff gösteriminde koordinat sembolleri ve birim hücredeki baz atomlarının pozisyonları verilmiştir.

Faz	Uzay Grubu	U.G. No	Z	Wyckoff Smb.		Baz Atom Pozisyonları	
				O	Sn	O	Sn
rutil	P4 <sub>2</sub> /mmn	136	2	2a	4f	±(u,u,0), ±(½+u, ½-u,0.5)	(0,0,0), (1/2,1/2,1/2)
CaCl <sub>2</sub>	Pnmm	58	2	2a	4g	±(u,v,0),(½,½+v,0.5), (½+u, ½ -v,0.5)	(0,0,0), (1/2,1/2,1/2)
α-PbO <sub>2</sub>	Pbcn	60	4	8d	4c	±(u, v, w), ±( ½ -u, ½-v, w+ ½), ±(u+½, ½-v, w̄), ±(ū, v, ½-w)	±(0,v,1/4), ±(1/2,v+½,1/4)
pirit	Pā3	205	4	8c	4a	±(w, w, w), ±(w+½,½-w,-w), ±(-w,w+½,½-w), ±(½-w,-w,w+½)	(0,0,0), (0,1/2,1/2), (1/2,0,1/2), (1/2,1/2,0)
ZrO <sub>2</sub>	Pbca	61	8	8c	8c	±(u,v,w; u+½, ½ -v, w̄ ; ū, v+½, ½-w; ½ -u, v̄, w+½ )	±(u,v,w; u+½, ½ -v, w̄; ū, v+½, ½-w; ½ -u, v̄, w+½ )
cotunit	Pnma	62	4	4c	4c	±(u, 1/4,v; u+½,1/4, ½ -v)	±(u,1/4,v; u+½,1/4, ½ -v)

(rutil, CaCl<sub>2</sub>, α-PbO<sub>2</sub>, pirit, ZrO<sub>2</sub>, cotunit) yapısal fazlarına ait bilgiler verilmiştir. Normal şartlar altında rutil (tetragonal) yapıda kristalleşen bu malzemenin örgü

parametreleri  $a$ ,  $b = a$ ,  $c$  ve iç parametre  $u$  kullanılarak baz atomlarından dört oksijen atomu  $\pm(u, u, 0)$ ,  $\pm(1/2+u, 1/2-u, 1/2)$  konumlarına ve iki kalay atomu  $(0, 0, 0)$  ve  $(1/2, 1/2, 1/2)$  konumlarına yerleştirilirler. Bu koordinatlar kristalografide kullanılması gelenekselleşmiş farklı gösterim yöntemlerinden birisi olan Wyckoff pozisyonları şeklinde de belirtilebilir. Örneğin, aynı konumlar uzay grup numarası (S.G. no) 136 olan yapının sırası ile 2a ve 4f Wyckoff pozisyonları şeklinde de tanımlanabilir. Örgü yapı parametreleri  $a$ ,  $c$  ve  $u$  deneysel bir çalışmadan alınıp önce rahatlama yapılı ve  $V_0$  denilen sıfır basınçtaki denge hacmi bulunur. Sonra da bu hacmin 0.01, 0.02, ..., 0.05 kadarlık oranlarda artırılıp azaltıldığı farklı hacimlere karşılık gelen toplam enerjiler hesaplanır. Toplam enerji-hacim (E-V) veya basınç-hacim (P-V) verileri seçilen bir durum denklemine fit edilerek optimizasyon gerçekleştirilir. Katılar için durum denklemlerinin (equation of states, EOS) en yaygın kullanılanlarından bir tanesi olan 3. mertebeden Birch-Murnaghan durum denklemleri E-V ve P-V sırasıyla şu şekilde verilir (Birch 1947):

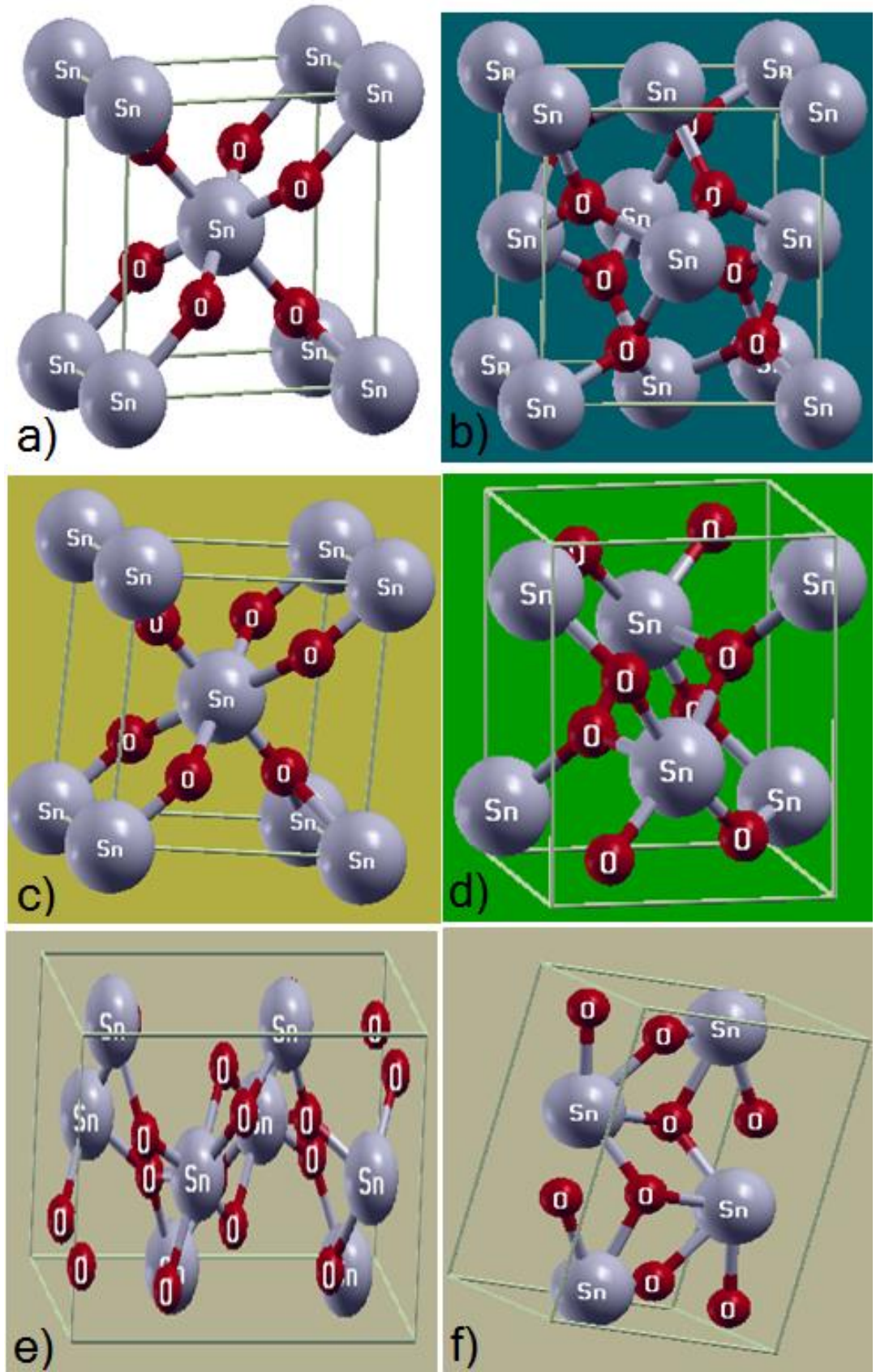
$$E(V) = E_0 + \frac{9V_0B_0}{16} \left\{ \left[ \left( \frac{V_0}{V} \right)^{2/3} - 1 \right]^3 B'_0 + \left[ \left( \frac{V_0}{V} \right)^{2/3} - 1 \right]^2 \left[ 6 - 4 \left( \frac{V_0}{V} \right)^{2/3} \right] \right\}, \quad (3.1)$$

ve

$$P(V) = \frac{3B_0}{2} \left[ \left( \frac{V_0}{V} \right)^{7/3} - \left( \frac{V_0}{V} \right)^{5/3} \right] \times \left\{ 1 + \frac{3}{4} (B'_0 - 4) \left[ \left( \frac{V_0}{V} \right)^{2/3} - 1 \right] \right\}. \quad (3.2)$$

Burada,  $E_0$  denge durumunda toplam enerji,  $V_0$  denge durumunda hacim,  $B_0$  sıfır basınçta hacim modülü ve  $B'_0$  hacim modülünün basınca göre birinci mertebeden türevi.  $V_0$ ' in belirlenmiş olması örgü parametrelerinin de belirlenmiş olması demektir. Bu tez çalışmasında, rutil yapıdaki  $\text{SnO}_2$  malzemesi için Perdew-Burke-Ernzerhof (PBE) tarafından parametrize edilmiş olan GGA fonksiyoneli içeren PAW potansiyelleri kullanıldı ve enerji-hacim ilişkisi (E-V fit) Şekil 3.1' de gösterildi (Perdew ve diğ. 1996). E-V grafiğinde deneysel olarak gözlenmemiş olan fakat bazı teorik çalışmalarda  $\text{SnO}_2$ ' nin yapısal fazı olduğu ileri sürülen florit fazı da gösterilmektedir. Literatürdeki diğer adları cassiterite ve stannic oksit olan  $\text{SnO}_2$  yarı iletken malzemesinin deneysel olarak gözlenmiş olan yapısal fazları (polymorphs) gözlemlenme sırasına göre şunlardır: Rutil (teragonal),  $\text{CaCl}_2$  (ortorombik),  $\alpha\text{-PbO}_2$  (ortorombik), pirit (kübik),  $\text{ZrO}_2$  (ortorombik) ve cotunit (ortorombik). Yapısal





**Şekil 3.2:** SnO<sub>2</sub> yapısal fazlarının birim hücrelerinin temsili gösterimi: a) rutil, b) CaCl<sub>2</sub>, c)  $\alpha$ -PbO<sub>2</sub>, d) pirit, e) ZrO<sub>2</sub>, f-) cotunit yapıları.

### 3.1.2 Faz Geçiřleri ve Hesaplama Yöntemi

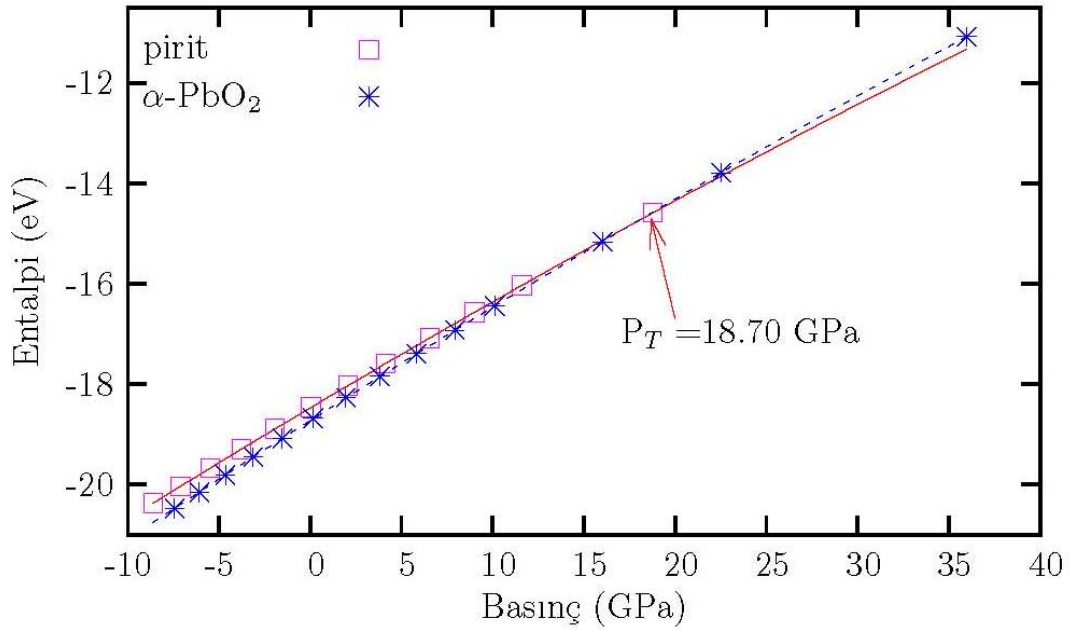
Bir malzemenin sıcaklık, basınç veya bu ikisinin birlikte etkisiyle bulunabileceđi farklı yapısal fazları olabilir. Malzeme her zaman bu fazlardan Gibbs serbest enerjisi en düşük olanında bulunma eğilimindedir. Gibbs serbest enerjisi:

$$G = E + PV - TS. \quad (3.3)$$

Burada, E toplam enerji, P basınç, V hacim, T sıcaklık ve S entropidir. DFT hesaplamaları taban durumu için  $T = 0$  K sıcaklığında yapıldığından Gibbs serbest enerjisi entalpiye dönüşür:

$$H = E + PV. \quad (3.4)$$

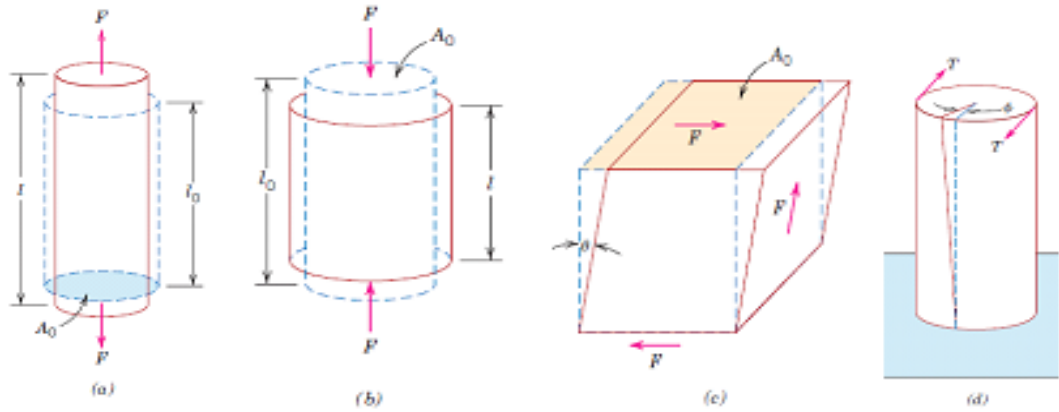
Sadece basınç etkisiyle gerçekleştirilen faz geçişlerinde iki fazın entalpileri eşittir.  $H_1=H_2$  eşitliğini sağlayan basınç değerine faz geçiş basıncı denir ve  $P_T$  şeklinde gösterilir. Şekil 3.3' te  $\text{SnO}_2$  malzemesinin  $\alpha\text{-PbO}_2$  yapısından pirit yapısına geçiři gösterilmiştir. GGA-PBE fonksiyonelinin kullanıldığı PAW potansiyeli ile  $P_T = 18.70$  GPa olarak belirlenmiştir.



**Şekil 3.3:** PAW (GGA) PBE potansiyel hesaplamalarına göre  $\text{SnO}_2$  malzemesinin  $\alpha\text{-PbO}_2$  fazından pirit fazına geçiři  $P_T = 18.70$  GPa basınçta gerçekleşir.

### 3.1.3 Mekanik Özellikler ve Hesaplama Yöntemi

Malzemeler kullanım esnasında çeşitli kuvvet ve yüklere maruz kalırlar. Bu yüzden dayanıklılık, sertlik, esneklik, sıklık (stiffness) gibi mekanik özelliklerinin bilinmesinde yarar vardır. Maruz kaldıkları bu yükler germe, sıkıştırma veya kesme şeklinde olabilir. Yapı mühendisleri yüklerin oluşturduğu zoru (stress) ve bu zorun malzeme içindeki dağılımını bazen deneysel test teknikleriyle bazen de teorik ve matematik zor analizleriyle ya da ikisini de kullanarak belirlerler. Malzeme ve metalürji mühendisleri de yapılan zor analizlerini göz önünde bulundurarak malzemeleri istenilen özelliklere sahip olacak şekilde üretime dönüştürmeye çalışırlar. Mekanik özelliklere bu noktada ihtiyaç duyulur. Şekil 3.4' te gösterildiği gibi germe, sıkıştırma, kesme veya burma (torsion) sağlayacak şekilde uygulanabilir. Elastik sabitleri hesaplanarak mekanik özelliklerinin büyük bir kısmı hakkında tatminkar öngörülerde bulunulabilir (Callister ve Rethwisch 2007).



**Şekil 3.4:** Uygulanan kuvvetler sırasıyla a) germe, b) sıkıştırma, c) kesme ve d) burma sağlamaktadır (Callister ve Rethwisch 2007).

#### 3.1.3.1 Zorlanma ve Zor

Elastik sabitlerinin tanımında kullanılan ve sıklıkla da birbiriyle karıştırılan zorlanma ve zor kavramlarının açıklanması yararlı olacaktır. Kuvvet uygulanan ideal rijit (bozulmayan) bir cisim atomik düzeyde incelendiğinde nokta çiftleri arasındaki uzaklık değişmez kalır. Halbuki katı cisimlerin büyük bir çoğunluğunda noktaların bağıl konumlarında bir değişim olur. Bu durumda cismin zorlandığı ve cisimde

bozulma (deformasyon) olduğu söylenir. Bozulma tensörü zorlanma ve dönme tensörlerinden oluşur. Bozulma tensörünün simetrik kısmına  $\frac{1}{2}(e_{ij}+e_{ji})$  zorlanma tensörü denir ve  $\epsilon_{ij}$  ile gösterilir, antisimetrik kısmına  $\frac{1}{2}(e_{ij}-e_{ji})$  dönme tensörü denir ve  $w_{ij}$  ile gösterilir. Bir katı cisimde bozulma aşağıdaki gibi formüle edilir:

$$u_i = (u_0)_i + e_{ij}x_j = (u_0)_i + w_{ij}x_j + \epsilon_{ij}x_j. \quad (3.5)$$

Burada,  $i,j=1,2,3$  kartezyen koordinat sistemindeki  $x,y,z$  doğrultularını göstermektedir.  $(u_0)_i$  terimi katı cismin ötelenmesi sonucunda başlangıçtaki noktanın yer değiştirmesi,  $e_{ij}$  bozulma tensörü,  $w_{ij}$  katı cismin dönmesini temsil eden tensör ve  $\epsilon_{ij}$  zorlanma tensörüdür. Zorlanma tensörü aşağıdaki denklem ile ifade edilir:

$$e_{ij}(\mathbf{r}) = \frac{du_i}{dx_j}. \quad (3.6)$$

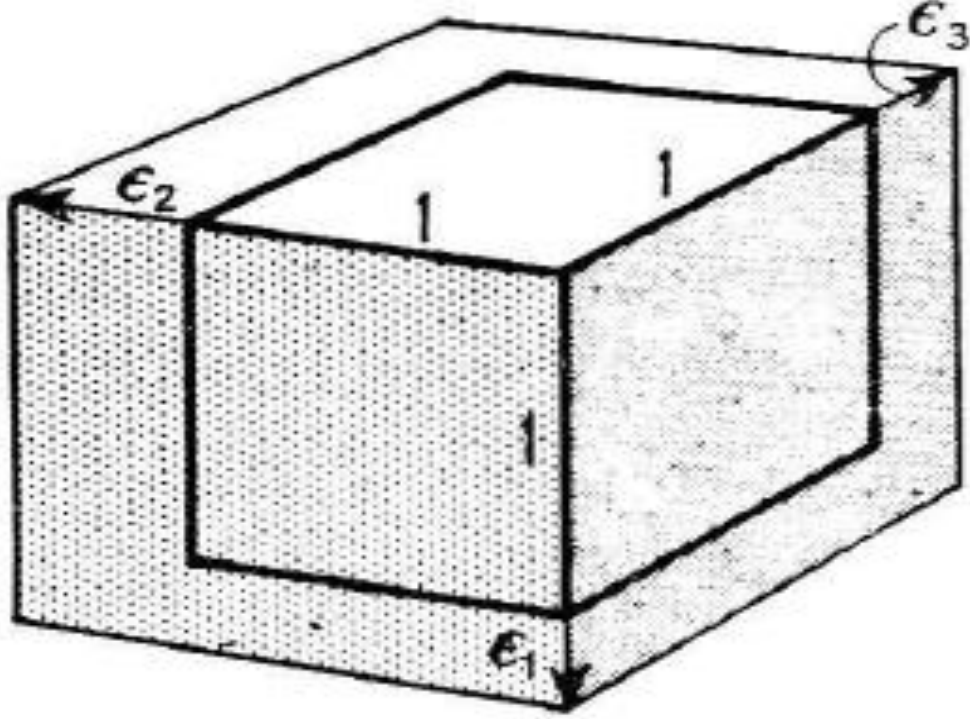
Burada,  $u_i$   $i$  doğrultusunda yer değiştirme ve  $x_j$  ise  $u_i$ 'nin değişebileceği doğrultulardır. Zorlanmanın sıkıştırma bileşenleri  $\epsilon_{xx}$ ,  $\epsilon_{yy}$  ve  $\epsilon_{zz}$ , kesme bileşenleri ise  $\epsilon_{xy}$ ,  $\epsilon_{yz}$  ve  $\epsilon_{xz}$  şeklinde gösterilir. Zorlanma tensörü rölatif yer değiştirmeyi gösterdiği için birimsizdir. Üç boyutlu homojen bozulmada zorlanma tensörü simetrik olduğu için ana eksenlere göre ifade edildiğinde köşegendir, kesme bileşenleri ise sıfır olur ve şu şekilde verilir (ana eksen zorlanmaları tek indisle gösterilir):

$$\begin{bmatrix} \epsilon_{11} & \epsilon_{12} & \epsilon_{13} \\ \epsilon_{12} & \epsilon_{22} & \epsilon_{23} \\ \epsilon_{13} & \epsilon_{23} & \epsilon_{33} \end{bmatrix} \rightarrow \begin{bmatrix} \epsilon_1 & 0 & 0 \\ 0 & \epsilon_2 & 0 \\ 0 & 0 & \epsilon_3 \end{bmatrix} \quad (3.7).$$

Kenarları bir birim uzunluğundaki bir kübün  $\epsilon_1$ ,  $\epsilon_2$  ve  $\epsilon_3$  ana zorlanmaları sonrasında kenar uzunluklarının  $(1+\epsilon_1)$ ,  $(1+\epsilon_2)$  ve  $(1+\epsilon_3)$  olduğu Şekil 3.5' te gösterilmektedir. Bozulmamış bir cisim içerisindeki atomlar mekanik dengededir. Bozulmuş cismin içinde ise cisimi denge durumuna geri getirmeye çalışan kuvvetler ortaya çıkar, bu kuvvetler iç zoru oluşturur. Dış kuvvetlerin etkisinde kalan zorlanmış bir cismin içindeki bir hacim elemanı üzerine iki cins kuvvet etkir. Birincisi madde miktarı ile orantılı olan cisim kuvvetidir, ikincisi ise o hacim elemanına uygulanan yüzey kuvvetidir. Bu kuvvet hacim elemanının yüzeyinin alanı ile orantılıdır. Birim alan başına yüzey kuvvetine zor denir. Hacim elemanına etki eden bileşke kuvvet bileşenleri cinsinden şöyle yazılır:

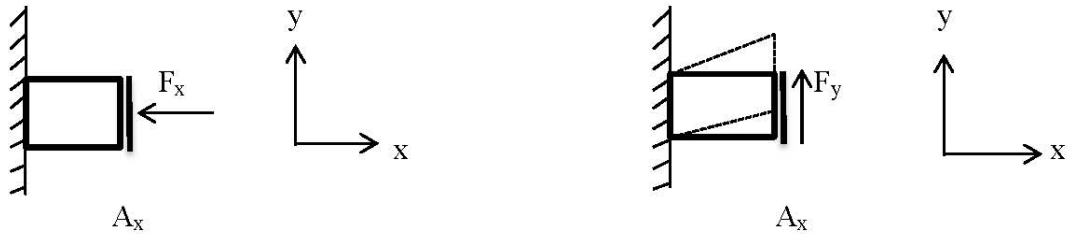
$$R_i = \int_V F_i dV = \int_V \frac{\partial \sigma_{ik}}{\partial x_k} dV = \oint \sigma_{ik} dS_k, \quad (3.8)$$

burada  $dS_k$ ,  $dS$  yüzey elemanı vektörünün bileşenleridir.  $dS$  vektörü verilen bir noktada yüzeye dik ve dışa doğrudur.  $[\sigma_{ik}]$  zor tensörüdür. Şekil 3.6' da gösterildiği



**Şekil 3.5:** Kenarları ana eksenlere paralel birim kübün  $\epsilon_1$ ,  $\epsilon_2$  ve  $\epsilon_3$  zorlanmaları sonrasındaki görünümü. Şekilde sadece yer değiştirmeler gösterilmiş olup, rijit cisim ötelemeleri ve dönmeler gösterilmemiştir (Nye 1957).

gibi  $x$  doğrultusuna dik  $A_x$  yüzey elemanı üzerine  $x$  doğrultusuna paralel uygulanan bir  $F_x$  kuvveti zorum  $\sigma_{xx}$  sıkıştırma bileşenini, aynı  $A_x$  yüzey elemanı üzerine  $y$  doğrultusunda uygulanan bir  $F_y$  kuvveti ise zorum  $\sigma_{yx}$  kesme bileşenini oluşturur. Sıkıştırma ve kesme bileşenleri sırasıyla şu şekilde verilirler:  $\sigma_{xx} = \frac{F_x}{A_x}$ ,  $\sigma_{yx} = \frac{F_y}{A_x}$ .



**Şekil 3.6:** İki boyutta zor bileşenlerinin gösterimi.



İki ranklı zor tensörünün dokuz bileşeninden  $\sigma_{xx}$ ,  $\sigma_{yy}$  ve  $\sigma_{zz}$  ' ye normal zor bileşenleri ya da sıkıştırma zorları denir. Diğer altı bileşen ise kesme zorlarıdır. Hacim elemanında dönme momenti oluşmaması için kesme zorları çiftler halinde bulunurlar,  $\sigma_{ij} = \sigma_{ji}$  bu da zor tensörünün simetrik olması demektir.

### 3.1.3.2 Hooke Yasası ve Elastik Sabitleri

Zor etkisindeki bir boyutlu katı cisim uzar veya kısalır. Zor, esneklik sınırı denilen bir değerden daha küçük olduğu zaman zor ortadan kaldırıldığında cisim eski şekline döner. Yani yeteri kadar küçük zorlar için zorlanma uygulanan zor ile doğru orantılıdır. Bunu Robert Hooke şu şekilde ifade etmiştir: İzotropik bir tele tek eksenli bir  $\sigma$  germe zoru uygulanırsa tel doğrultusunda boyuna meydana gelen  $\epsilon$  zorlanması şu şekilde verilir:

$$\sigma = C\epsilon. \quad (3.9)$$

Burada C elastik sabitidir.

Kristal dengede iken (atomlar arası mesafe  $r = r_0$ ) V etkileşmeleri temsil eden potansiyel enerji olsun. Bir F kuvveti uygulandığında atomlar arası mesafe  $u = r - r_0$  şeklinde değiştiğinde potansiyel enerji ifadesi  $r = r_0$  civarında Taylor serisine açılır.

$$V(r) = V(r_0) + u\left(\frac{dV(r)}{dr}\right)_{r=r_0} + \frac{u^2}{2!}\left(\frac{d^2V(r)}{dr^2}\right)_{r=r_0} + \dots \quad (3.10)$$

Burada,  $\left(\frac{dV(r)}{dr}\right)_{r=r_0}$  terimi denge şartından dolayı sıfırdır. İkinci mertebeden yüksek terimler ihmal edildiğinde potansiyel enerji şu şekilde ifade edilir:

$$V(r) = V(r_0) + \frac{u^2}{2}\left(\frac{d^2V(r)}{dr^2}\right)_{r=r_0}. \quad (3.11)$$

Kuvvet ifadesi ise şöyledir:

$$F = -\frac{dV(r)}{dr} = -\left(\frac{d^2V(r)}{dr^2}\right)_{r=r_0} u. \quad (3.12)$$

Hooke yasası F kuvvetinin meydana gelen u değişimi ile orantılı olduğunu söyler. Sonuç olarak  $\epsilon_{ij}$  zorlanma bileşenleri  $\sigma_{ij}$  zor bileşenlerine lineer olarak bağlanabilir:

$$\sigma_{ij} = C_{ijmn}\varepsilon_{mn}, (i, j, m, n = 1, 2, 3). \quad (3.13)$$

Burada,  $C_{ijmn}$  katsayıları  $3 \times 3 \times 3 \times 3 = 81$  tane olan dört ranklı bir tensördür. Zor ve zorlanma bileşenlerinin simetrisinden dolayı ( $\sigma_{ij} = \sigma_{ji}$  ve  $\varepsilon_{ij} = \varepsilon_{ji}$ ) bu sayı  $6 \times 6 = 36$ 'ya iner. Voight gösterimi kullanılarak elastik sabitleri tensör gösterimi yerine matris gösterimi ile de ifade edilebilir. Tensör gösterimi indisleri ve karşılık gelen matris gösterim indisleri aşağıda verildiği gibidir:

tensör gösterimi	11	22	33	23, 32	31, 13	21, 12
matris gösterimi	1	2	3	4	5	6

Elastik sabitleri matris gösteriminde aşağıdaki şekilde yazılabilir:

$$\begin{pmatrix} \sigma_{11} \\ \sigma_{22} \\ \sigma_{33} \\ \sigma_{32} \\ \sigma_{31} \\ \sigma_{21} \end{pmatrix} = \begin{pmatrix} C_{11} & C_{12} & C_{13} & C_{14} & C_{15} & C_{16} \\ C_{21} & C_{22} & C_{23} & C_{24} & C_{25} & C_{26} \\ C_{31} & C_{32} & C_{33} & C_{34} & C_{35} & C_{36} \\ C_{41} & C_{42} & C_{43} & C_{44} & C_{45} & C_{46} \\ C_{51} & C_{52} & C_{53} & C_{54} & C_{55} & C_{56} \\ C_{61} & C_{62} & C_{63} & C_{64} & C_{65} & C_{66} \end{pmatrix} \begin{pmatrix} \varepsilon_{11} \\ \varepsilon_{22} \\ \varepsilon_{33} \\ 2\varepsilon_{32} \\ 2\varepsilon_{31} \\ 2\varepsilon_{21} \end{pmatrix}. \quad (3.14)$$

Aynı dönüşümler zor tensörüne uygulandığında aşağıdaki matris elde edilir:

$$\begin{bmatrix} \sigma_{11} & \sigma_{21} & \sigma_{31} \\ \sigma_{21} & \sigma_{22} & \sigma_{32} \\ \sigma_{31} & \sigma_{32} & \sigma_{33} \end{bmatrix} \Rightarrow \begin{bmatrix} \sigma_1 & \sigma_6 & \sigma_5 \\ \sigma_6 & \sigma_2 & \sigma_4 \\ \sigma_5 & \sigma_4 & \sigma_3 \end{bmatrix}. \quad (3.15)$$

Zorlanma tensöründe iki indisli gösterimden tek indisli gösterime geçildiğinde;

$$\begin{bmatrix} \varepsilon_{11} & \varepsilon_{12} & \varepsilon_{13} \\ \varepsilon_{12} & \varepsilon_{22} & \varepsilon_{23} \\ \varepsilon_{13} & \varepsilon_{23} & \varepsilon_{33} \end{bmatrix} \Rightarrow \begin{bmatrix} \varepsilon_1 & \varepsilon_6/2 & \varepsilon_5/2 \\ \varepsilon_6/2 & \varepsilon_2 & \varepsilon_4/2 \\ \varepsilon_5/2 & \varepsilon_4/2 & \varepsilon_3 \end{bmatrix} \quad (3.16)$$

matrisi elde edilir.

Zor ve zorlanma arasındaki ilişki matris gösteriminde şu şekilde verilir:

$$\begin{pmatrix} \sigma_1 \\ \sigma_2 \\ \sigma_3 \\ \sigma_4 \\ \sigma_5 \\ \sigma_6 \end{pmatrix} = \begin{pmatrix} C_{11} & C_{12} & C_{13} & C_{14} & C_{15} & C_{16} \\ C_{21} & C_{22} & C_{23} & C_{24} & C_{25} & C_{26} \\ C_{31} & C_{32} & C_{33} & C_{34} & C_{35} & C_{36} \\ C_{41} & C_{42} & C_{43} & C_{44} & C_{45} & C_{46} \\ C_{51} & C_{52} & C_{53} & C_{54} & C_{55} & C_{56} \\ C_{61} & C_{62} & C_{63} & C_{64} & C_{65} & C_{66} \end{pmatrix} \begin{pmatrix} \varepsilon_1 \\ \varepsilon_2 \\ \varepsilon_3 \\ \varepsilon_4 \\ \varepsilon_5 \\ \varepsilon_6 \end{pmatrix}, \quad (3.17)$$

veya indis gösteriminde ise aşağıdaki eşitlik ile verilir (Nye 1957):

$$\sigma_i = C_{ij}\varepsilon_j, \text{ burada } (i, j = 1, 2, \dots, 6). \quad (3.18)$$

$\varepsilon_i$  homojen zorlanmalarının olduğu kübik bir sistemde kübün yüzeylerine uygulanan  $\sigma_i$  zor bileşenlerinin, zorlanma bileşenlerini  $d\varepsilon_i$  kadar değiştirmek için yaptığı iş aşağıdaki eşitlikten hesaplanır:

$$dW = \sigma_i d\varepsilon_i, \text{ burada } (i, j = 1, \dots, 6). \quad (3.19)$$

Zorlanma adyabatik, izotermal ve tersinir olduğu zaman  $dW$  işi, sistemin serbest enerjisindeki  $d\Psi$  değişimine eşittir. Hooke yasası geçerli olacak şekilde zorlanma olduğunda  $dE = C_{ij}\varepsilon_j d\varepsilon_i$  olur ve

$$\frac{\partial}{\partial \varepsilon_j} \left( \frac{\partial E}{\partial \varepsilon_i} \right) = C_{ij}, \quad (3.20)$$

elde edilir. Buradaki türevin sıralaması önemli değildir ve  $C_{ij} = C_{ji}$  olur.  $dE = C_{ij}\varepsilon_j d\varepsilon_i$  ifadesinin integrali alındığında zorlanma enerjisi yoğunluğu elde edilir:

$$\frac{\Delta E}{V_0} = \frac{1}{2} C_{ij} \varepsilon_i \varepsilon_j. \quad (3.21)$$

36 olan bağımsız elastik sabitlerinin sayısı  $C_{ij}=C_{ji}$ ' den dolayı 21' e düşer. Hatta ortam esneklik bakımından bir takım simetrilere sahip olduğunda bu  $C_{ij}$  katsayıları arasında bazı eşitlikler bulunur ve bağımsız elastik sabitlerinin sayısı daha da azalır. Literatürde sertlik katsayıları ile elastik sabitleri ve elastik modülleri aynı anlamda kullanılmaktadır. Örneğin ortorombik sistemler için bu sayı 9, 4mm, 42m, 422 ve 4/mmm simetrilere sahip tetragonal sistemler için 6 ve kübik sistemler için 3' tür. Bu sistemlerin  $C_{ij}$  elastik sabitleri matrisleri sırasıyla aşağıdaki gibidir (Dikici 1993) :

$$\begin{pmatrix} C_{11} & C_{12} & C_{13} & 0 & 0 & 0 \\ C_{12} & C_{22} & C_{23} & 0 & 0 & 0 \\ C_{13} & C_{23} & C_{33} & 0 & 0 & 0 \\ 0 & 0 & 0 & C_{44} & 0 & 0 \\ 0 & 0 & 0 & 0 & C_{55} & 0 \\ 0 & 0 & 0 & 0 & 0 & C_{66} \end{pmatrix}, \begin{pmatrix} C_{11} & C_{12} & C_{13} & 0 & 0 & 0 \\ C_{12} & C_{11} & C_{13} & 0 & 0 & 0 \\ C_{13} & C_{13} & C_{33} & 0 & 0 & 0 \\ 0 & 0 & 0 & C_{44} & 0 & 0 \\ 0 & 0 & 0 & 0 & C_{44} & 0 \\ 0 & 0 & 0 & 0 & 0 & C_{66} \end{pmatrix} \text{ ve}$$

$$\begin{pmatrix} C_{11} & C_{12} & C_{12} & 0 & 0 & 0 \\ C_{12} & C_{11} & C_{12} & 0 & 0 & 0 \\ C_{12} & C_{12} & C_{11} & 0 & 0 & 0 \\ 0 & 0 & 0 & C_{44} & 0 & 0 \\ 0 & 0 & 0 & 0 & C_{44} & 0 \\ 0 & 0 & 0 & 0 & 0 & C_{44} \end{pmatrix} \quad (3.22).$$

### 3.1.3.3 Elastik Sabitlerini Hesaplama Yöntemi

Hacim modülü kristalin sertliğinin yani yapıda bozulma oluşturmak için gerekli enerjinin bir ölçüsüdür ve şu şekilde formüle edilir:

$$B = -V \frac{dP}{dV} = \frac{1}{\kappa}. \quad (3.23)$$

Burada, V hacim, P basınç, B hacim modülü ve  $\kappa$  sıkıştırılabilirliktir. Denklem (3.2)'nin Denklem (3.23)'de kullanılmasıyla elde edilen aşağıdaki ifade farklı basınçlarda hacim modülünün hesaplanmasına imkan verir:

$$B(V) = \left(\frac{B_0}{2}\right) \left\{ \begin{aligned} &7 \left(\frac{V_0}{V}\right)^{7/3} - 5 \left(\frac{V_0}{V}\right)^{5/3} - \left(\frac{3}{4}\right) (B'_0 - 4) \left[ 5 \left(\frac{V_0}{V}\right)^{5/3} - \left(\frac{V_0}{V}\right)^{7/3} \right] \\ &\left( \left(\frac{V_0}{V}\right)^{2/3} - 1 \right) + \left(\frac{3}{2}\right) (B'_0 - 4) \times \left[ \left(\frac{V_0}{V}\right)^{7/3} - \left(\frac{V_0}{V}\right)^{5/3} \right] \left(\frac{V_0}{V}\right)^{2/3} \end{aligned} \right\}. \quad (3.24)$$

Burada,  $V_0$  denge hacmi,  $B_0$  basınç olmadığı durumda hacim modülü,  $B'_0$  hacim modülünün basınca göre birinci mertebeden türevidir.  $C_{ij}$  elastik sabitlerini hesaplamak için sistemin  $\mathbf{a}_{i0}$  ( $i=1,2,3$ ) ilkel vektörlerine zorlanma uygulanır ve zorlanan sistemin  $\mathbf{a}_i$  ( $i=1,2,3$ ) ilkel vektörleri elde edilir:

$$\begin{pmatrix} \mathbf{a}_1 \\ \mathbf{a}_2 \\ \mathbf{a}_3 \end{pmatrix} = \begin{pmatrix} \mathbf{a}_{10} \\ \mathbf{a}_{20} \\ \mathbf{a}_{30} \end{pmatrix} \cdot (\vec{\Gamma} + \vec{\epsilon}). \quad (3.25)$$

Burada,  $\vec{\Gamma}$  birim 3x3 birim matrisdir.  $\vec{\epsilon}$  zorlanması Denklem (3.16)'da verildiği gibi 6 bağımsız bileşeni olan simetrik bir matristir. Zor uygulanan bir kristalin enerjisi zorlanmalar cinsinden Taylor serisine açılır:

$$E(V, \epsilon) = E(V_0) + V_0 \sum_i \sigma_i \epsilon_i + \frac{V_0}{2} \sum_{ij} C_{ij} \epsilon_i \epsilon_j + \dots . \quad (3.26)$$

Burada,  $i, j = 1, 2, \dots, 6$ ,  $E(V, \varepsilon)$  ve  $E(V_0)$  sırasıyla zor uygulanan kristalin ve zor uygulanmadan önce kristalin toplam enerjileri,  $V_0$  ve  $V$  sıfır basınçtaki denge hacmidir. Zorlanma tensöründe kullanılan  $\delta$  bozulma parametresi  $-0.03'$  ten  $+0.03'$  e kadar  $0.01$  adımları ile değiştirilerek sistemin toplam enerjileri hesaplanır. Toplam enerji bozulma parametresi verileri dördüncü dereceden bir polinoma fit edilir ve bu fitin ikinci derece katsayısı alınır. Bu katsayı ilgili enerji yoğunluğuna eşitlenerek elastik sabitlerini içeren lineer bir denklem elde edilir. Bir sistemde kaç tane bağımsız  $C_{ij}$  katsayısı varsa o kadar farklı  $\varepsilon_{ij}$  zorlanmaları uygulanır. Elde edilen bu lineer denklemler birlikte çözülerek bağımsız  $C_{ij}$  sabitleri bulunur. Kübik, tetragonal

**Tablo 3.2:** Kübik ( $C_i$ ), tetragonal ( $T_j$ ) ve ortorombik ( $O_k$ ) zorlanmalar ve karşılık gelen enerji yoğunlukları ( $\Delta E/V_0$ ) (Soykan ve Kart 2014; Wallace 1972; Beckstein ve diğ. 2001).

zorlanma	parametreler (listede olmayan $\varepsilon_i = 0$ )	$\Delta E / V_0$
C1	$\varepsilon_1 = \varepsilon_2 = \varepsilon_3 = \delta$	$3/2(C_{11} + 2 C_{12}) \delta^2$
C2	$\varepsilon_1 = \delta, \varepsilon_2 = -\delta, \varepsilon_3 = \delta^2/1 - \delta^2$	$(C_{11} - C_{12})\delta^2$
C3	$\varepsilon_1 = \delta^2/1 - \delta^2, \varepsilon_6 = \delta$	$2C_{44}\delta^2$
T1	$\varepsilon_1 = \delta, \varepsilon_2 = -\delta, \varepsilon_3 = \delta^2/1 - \delta^2$	$(C_{11} - C_{12})\delta^2$
T2	$\varepsilon_1 = \delta, \varepsilon_2 = \delta^2/1 - \delta^2, \varepsilon_3 = -\delta$	$(C_{11} + C_{12} - 4C_{13} + 2C_{33})\delta^2$
T3	$\varepsilon_3 = \delta$	$1/2 C_{33}\delta^2$
T4	$\varepsilon_1 = \delta^2/1 - \delta^2, \varepsilon_4 = \delta$	$2C_{44}\delta^2$
T5	$\varepsilon_1 = \delta^2/1 - \delta^2, \varepsilon_6 = \delta$	$2C_{66}\delta^2$
T6	$\varepsilon_1 = \delta, \varepsilon_2 = \delta, \varepsilon_3 = \delta$	$1/2(2C_{11} + 2C_{12} + 4C_{13} + C_{33})\delta^2$
O1	$\varepsilon_1 = \delta$	$(C_{11}/2) \delta^2$
O2	$\varepsilon_2 = \delta$	$(C_{22}/2)\delta^2$
O3	$\varepsilon_3 = \delta$	$(C_{33}/2) \delta^2$
O4	$\varepsilon_1 = \delta^2/1 - \delta^2, \varepsilon_4 = \delta$	$(2C_{44}) \delta^2$
O5	$\varepsilon_2 = \delta^2/1 - \delta^2, \varepsilon_5 = \delta$	$(2C_{55}) \delta^2$
O6	$\varepsilon_3 = \delta^2/1 - \delta^2, \varepsilon_6 = \delta$	$(2C_{66}) \delta^2$
O7	$\varepsilon_1 = \delta, \varepsilon_3 = -\delta, \varepsilon_2 = \delta^2/1 - \delta^2$	$1/2(C_{11} + C_{22} - 2C_{12}) \delta^2$
O8	$\varepsilon_1 = -\delta, \varepsilon_2 = \delta^2/1 - \delta^2, \varepsilon_3 = \delta$	$1/2(C_{11} + C_{33} - 2C_{13}) \delta^2$
O9	$\varepsilon_1 = \delta^2/1 - \delta^2, \varepsilon_2 = -\delta, \varepsilon_3 = \delta$	$1/2(C_{22} + C_{33} - 2C_{23}) \delta^2$

ve ortorombik sistemler için gerekli olan  $\varepsilon_{ij}$  zorlanmalarının bileşenleri ve bu zorlanmalara karşılık gelen enerji yoğunlukları Tablo 3.2' de verilmiştir. Hesaplamalarda pratiklik açısından kübik ve tetragonal sistemlerde  $C_1$  ve  $T_6$  zorlanmalarından elde edilecek denklemler yerine  $C_1$  ve  $T_6$  zorlanmaları

uygulanmadan doğrudan Denklem (3.24) kullanılarak hacim modülleri hesaplanır ve hesaplanan bu değerler sırasıyla kübik sistemlerde  $\frac{1}{3}(C_{11} + 2C_{12})$ , tetragonal sistemlerde ise  $\frac{1}{9}(2C_{11} + 2C_{12} + 4C_{13} + C_{33})$  eşitlenerek elde edilen denklemler kullanılabilir. Diğer zorlanmalar ve karşılık gelen enerji yoğunlukları gösterildikleri şekilde kullanılarak elastik sabiti sayısı kadar denklemler oluşturulur. Bu denklemler birlikte çözülerek elastik sabitleri hesaplanır. Farklı basınçlarda elastik sabitlerini hesaplamak için 3. mertebe Birch-Murnaghan EOS (Denklem 3.2) ile o basınca karşılık gelen hacim değeri hesaplanır ve yukarıdaki işlemler tekrarlanır.

Hesaplanan elastik sabitlerini kullanarak diğer mekanik özellikler elde edilebilir. Örneğin yapısal bir fazın mekanik olarak kararlı olup olmadığı kontrol edilebilir. Kübik sistemler için mekanik kararlılık şartları aşağıda verilmiştir (Wallace 1972):

$$\begin{aligned} C_{11}-C_{12} &> 0, \\ C_{44} &> 0, \\ C_{11}+2C_{12} &> 0. \end{aligned} \quad (3.27)$$

Tetragonal yapılar için mekanik kararlılık şartları (Beckstein ve diğ. 2001):

$$\begin{aligned} C_{11} - C_{12} &> 0, \\ C_{11} - 2C_{13} + C_{33} &> 0, \\ C_{11} > 0, C_{33} > 0, C_{44} > 0, C_{66} > 0, \\ 2 C_{11} + 2C_{12} + 4 C_{13} + C_{33} &> 0. \end{aligned} \quad (3.28)$$

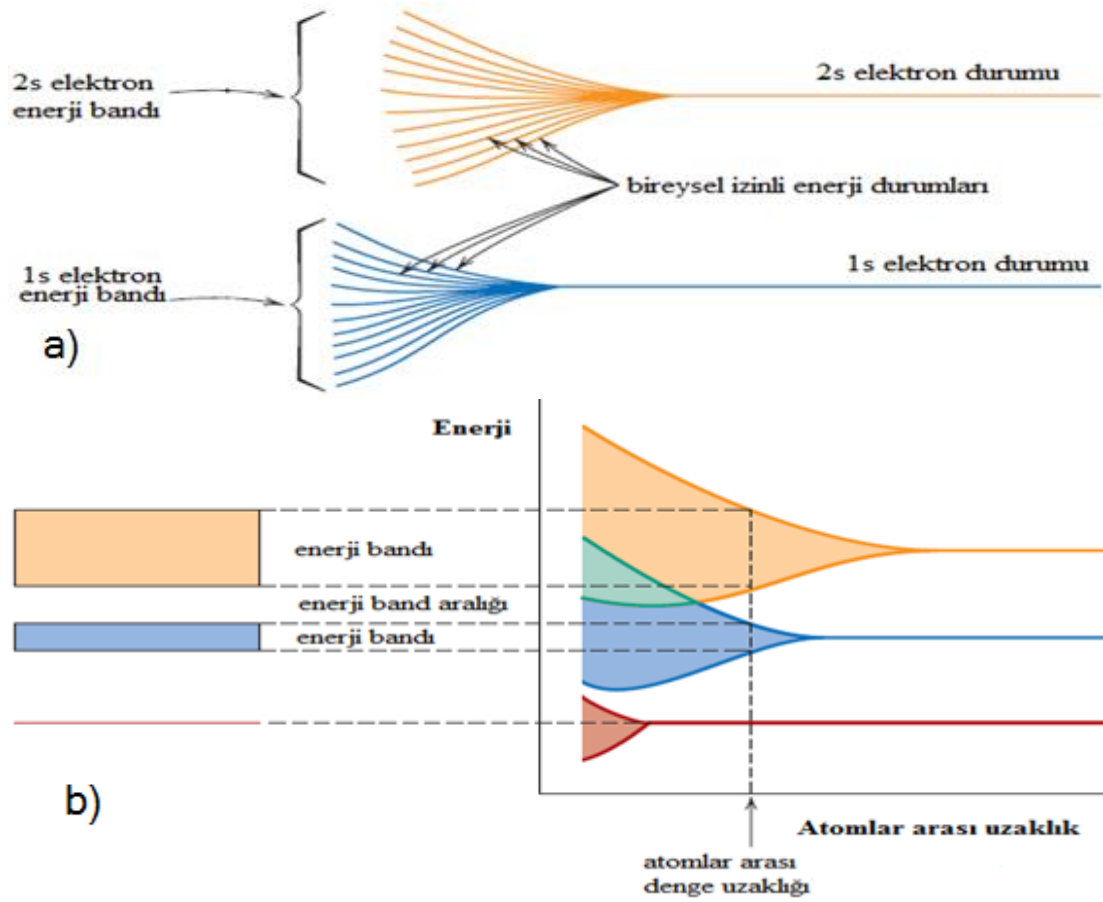
denklemleri ile sağlanır. Ortorombik yapılar için mekanik kararlılık şartları aşağıda verilmiştir (Beckstein ve diğ. 2001):

$$\begin{aligned} (C_{22} + C_{33} - 2 C_{23}) &> 0, \\ C_{11} > 0, C_{22} > 0, C_{33} > 0, \\ C_{44} > 0, C_{55} > 0, C_{66} > 0, \\ (C_{11} + C_{22} + C_{33} + 2 C_{12} + 2 C_{13} + 2 C_{23}) &> 0. \end{aligned} \quad (3.29)$$

### 3.2 Enerji Band Aralığı

Bir atomda elektronlar rastgele yerlere değil izinli durumlar denilen enerji seviyelerinde bulunacak şekilde yerleştirilirler. Mutlak sıfır sıcaklığında taban durum

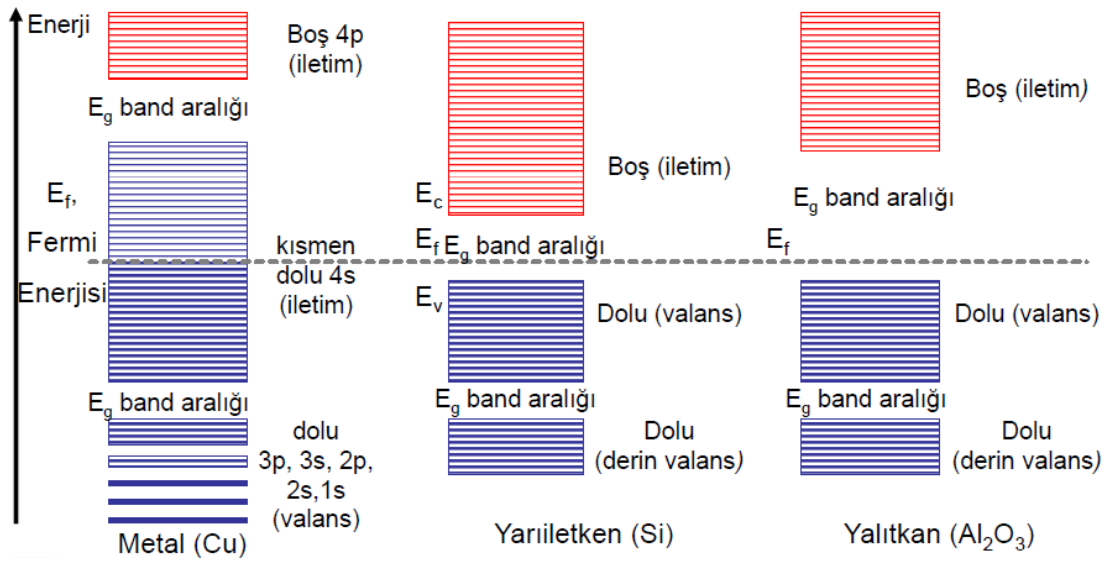
denilen bu seviyelere Pauli dışarlama ilkesi gereğince her birisinin spini farklı olacak ve en çok iki elektron bulunacak şekilde 1s seviyesinden itibaren yerleşirler. En son doldurulan seviyenin üzerindeki diğer durumlar boş kalırlar. En üst dolu seviyenin enerjisi o atom için  $E_F$  Fermi enerjisidir. Atomlar molekülleri oluşturmak üzere bir birlerine yaklaştırıldıklarında her bir atomun aynı seviyedeki enerji düzeyleri bir birlerine çok yaklaşacaklar ve Şekil 3.7' de gösterildiği gibi o seviyede tek atom enerji seviyelerinin bir enerji bandı oluşturulmuş gibi olacaktır.



**Şekil 3.7:** a) Tek elektron enerji durumlarının bir araya gelmeleri ve b) bir araya gelen izinli enerji bandlarının arasındaki  $E_g$  yasak enerji aralığının (enerji band aralıkları) gösterimi (Callister ve Rethwisch 2007).

Bazı durumlarda enerjileri birbirine çok yakın olan, örneğin 2s ve 2p gibi durumlar üstüste gelerek hibrit enerji bandı oluşturabilirler. Katılar elektriksel iletkenlikleri açısından incelenirken değerlik (valans) bandı ve iletim (conduction) bandı adı verilen bandlardan oluştukları kabul edilir.  $E_F$  Fermi enerji seviyesinin bulunduğu yere göre iletken, yarı iletken ve yalıtkan şeklinde sınıflandırılırlar. Şekil 3.8' de görüldüğü gibi  $E_F$  metallerde iletim bandındayken yarı iletkenlerde ve

yalıtkanlarda  $E_v$  valans bandı enerjisi ile  $E_c$  iletim bandı enerjisi arasındadır.  $E_c$  ve  $E_v$  arasındaki farka  $E_g$  band aralığı enerjisi adı verilir. İletim sürecine iki tür yük taşıyıcıları katkıda bulunabilir. Elektrik alan, ısı vb. bir etken tarafından enerji kazandırılarak enerjileri Fermi enerjisinden fazla hale getirilen – yüklü serbest elektronlar ve daha çok yarı iletken ve yalıtkanlarda bulunan boşluk (hole) adı verilen + yüklü taşıyıcılarıdır. Genelde,  $0 < E_g < 3\text{eV}$  olan malzemeler yarı iletken,  $3 < E_g$  olan malzemeler yalıtkan malzemeler olarak nitelendirilmektedir.



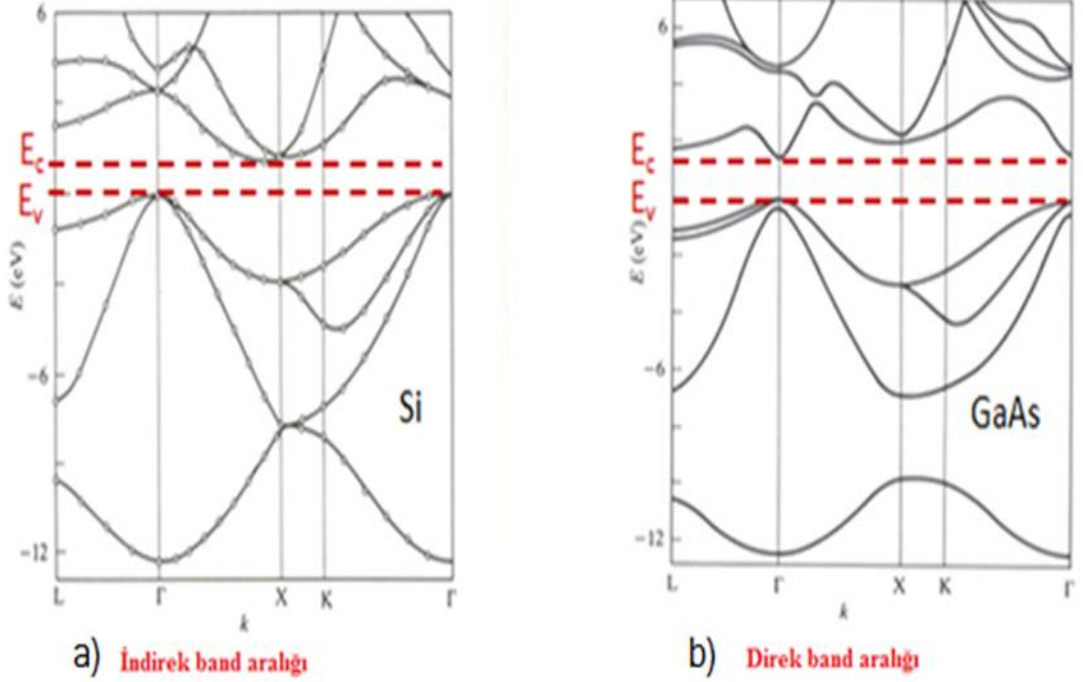
**Şekil 3.8:** Metaller, yarı iletkenler ve yalıtkan malzemelerin (Cu, Si ve  $\text{Al}_2\text{O}_3$ )  $E_g$  enerji band aralıklarının temsili gösterimi.

Bir sistemin IBZ bölgesinde hesaplanan enerji bandları incelendiğinde valans bandının maksimum noktası ile iletim bandının minimum noktası aynı k dalga vektöründe bulunuyorlarsa,  $E_g$  direk band aralığı, farklı k dalga vektörlerinde bulunuyorlarsa indirek band aralığı adını alır. İndirek ve direk band aralıklarına örnek olarak Si band aralığı Şekil 3.9(a)' da ve GaAs band aralığı Şekil 3.9(b)' de gösterilmektedir.

### 3.2.1 $E_g$ Band Aralığı Hesaplama Yöntemi

Optimize edilmiş bir yapının band aralığı hesabı iki aşamalı olarak yapılmaktadır. İlk aşamasında kendisiyle uyumlu bir hesap yapılarak Brillouin bölgesinde k-noktaları için yük dağılımları elde edilir. İkinci aşamasında ise birinci adımda elde edilen yük dağılımları kullanılarak kendisiyle uyumlu olmayan





**Şekil 3.9:** a) Si band aralığı indirek, b) GaAs band aralığı direk band aralığıdır.

hesaplama yöntemi ile IBZ bölgesinin yüksek simetri noktaları arasındaki yollarla dikkatli bir şekilde taranması sonucu enerji bandlarının hesaplanması gerçekleştirilir. Örneğin, rutil yapıdaki  $\text{SnO}_2$  malzemesinin k-noktaları yapısal hesaplarda olduğu gibi  $8 \times 8 \times 10$  alınarak BB' deki yük yoğunlukları hesaplanır. Sonra da bu yük dağılımları kullanılarak IBZ' de (bkz. Şekil 2.2a)  $\Gamma(0,0,0)$ ,  $X(0,0.5,0)$ ,  $M(0.5,0.5,0)$ ,  $\Gamma(0,0,0)$ ,  $Z(0,0,0.5)$ ,  $R(0,0.5,0.5)$  ve  $A(0.5,0.5,0.5)$  noktaları arasındaki yollar boyunca taranarak enerji bandları hesaplanır. Durum yoğunlukları enerji bandları ile hemen hemen benzer bilgileri içermektedir. Durum yoğunluklarına katkıların bileşenleri cinsinden incelenmesi (PDOS) valans ve iletim bandlarını hangi durumların oluşturduğunun anlaşılması açısından önemlidir. İki aşamalı hesabın yapıldığı PDOS hesaplarının ilk aşaması enerji band hesabınınki ile aynıdır. İkinci aşamasında ise BB hesaplamaları IBZ' nin özel yollar boyunca taranması şeklinde değil, daha çok k- noktası kullanılarak örneğin rutil yapıdaki  $\text{SnO}_2$  için  $20 \times 20 \times 16$  alınarak PDOS hesaplanır.

### 3.3 Örgü Dinamiği Özellikleri

Kristalografi bilimi kristal örgüleri incelerken atomların hareketlerini göz ardı

edip sadece ortalama atom pozisyonları ve simetrisini belirlemeye çalışır. Statik örgü yaklaşımı da denilen bu modelle malzemelerin kimyasal özellikleri, malzemelerin sertliği ve şekli, optik özellikler, X-ışınlarının Bragg saçılması, elektron ve nötron demetlerinin saçılmaları, elektronik yapı ve elektriksel özellikler açıklanabilmektedir. Halbuki atomların örgü içerisinde hareket ettikleri bilinmektedir ve statik örgü yaklaşımının açıklayamadığı bir takım özellikler de mevcuttur. Örneğin, denge özelliklerinden ısı kapasitesi, sıcaklığın örgü üzerindeki etkilerinden termal genleşme, denge yoğunluğu ve kohesif enerji, faz geçişlerinin varlığı ve erime olayı bunlardan bazılarıdır. Taşıma özelliklerinden ise termal iletkenlik ve ses dalgalarının yayılması, elektronik rahatlatma zamanının sıcaklığa bağlı olması, süper iletkenlik gibi bazı elektrik özellikler ve radyasyonun (hafif ve termal nötronların) madde ile etkileşimlerinden kaynaklanan iyonik kristallerin yansıtıcılığı, ışığın inelastik saçılması (Brillouin ve Raman saçılmaları), x-ışınları ve nötron saçılmaları da statik örgü yaklaşımı ile hesaplanamamaktadır. Bu özellikler atomların örgü içerisindeki rastgele hareketlerine değil, birbirleri üzerine etki ettirdikleri kuvvetler sonucu ortaya çıkan hareketlerine bağlıdır. Örgü dinamiği kavramı ile atomların bu hareketlerinin açıklanması anlatılmak istenmektedir. Örgü içerisindeki bir atomun hareketi klasik mekanikteki Newton hareket kanunları ile çözülebilmektedir. Bir atomun örgüdeki diğer atomlar ile etkileşiminden doğan potansiyel enerji iyi tanımlanmalıdır ve yukarıda bahsedilen özelliklerde kuantum mekanik özellikler baskın olduğundan geliştirilecek modele kuantum mekanik etkilerin dahil edilmesi gerekmektedir (Aschcroft ve Mermin 1976).

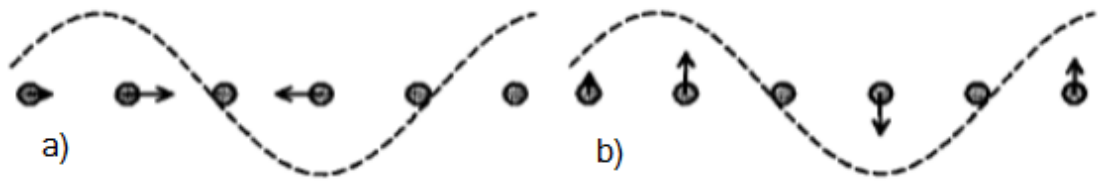
Fonon, kristal örgü titreşimlerinin kuantumu (paketçisi) olarak tanımlanmaktadır. Bu isim elektromanyetik dalgaların kuantumu olan foton ismine benzetilerek konulduğundan bir örgüde dalgaların (titreşimlerin) hareketi hakkında temel bir bilgi vermekte yararlı olacaktır. Bir boyutta hareket eden bir dalganın denklemi ve çözümü sırasıyla şu şekilde verilebilir:

$$\frac{\partial^2 u}{\partial t^2} = c^2 \frac{\partial^2 u}{\partial x^2}; c = \frac{w}{k}, \quad (3.30)$$

ve

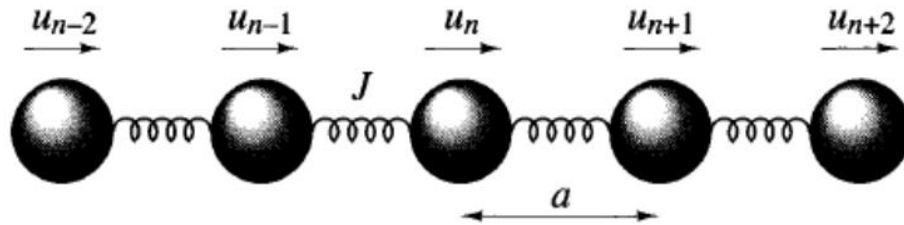
$$u(x, t) = \tilde{u} \exp(i[kx - wt]). \quad (3.31)$$

Burada,  $u$ ,  $x$  uzayında  $t$  zamanında tanımlanmış yerdeğiştirme değişkeni,  $\tilde{u}$  genlik,  $k$  dalgavektörü ve  $w$  açısal frekanstır.  $u(x,t)$  sabit dalga boylu sinüzoidal bir fonksiyon olup  $x$  doğrultusundaki herhangi bir nokta  $w$  açısal frekansı ile titreşecektir. Bu sabit genlikli sinüzoidal dalganın şekli, her zaman korunurken maksimum ve minimum noktaları zamanla değişeceğinden, bu bir duran dalga değil ilerleyen dalgadır. Maksimum noktası  $c=w / k$  faz hızı ile hareket ederken, dalga paketinin tamamı  $\partial w / \partial k$  grup hızı ile hareket edecektir. Kristallerde ilerleyen dalgalar Şekil 3.10'da gösterildiği gibi boyuna ya da enine olabilirler.



**Şekil 3.10:** Kristallerde ilerleyen dalgalar a) boyuna , b) enine (Dove 1993).

Örgü dinamiği hesapları yapılırken iki yaklaşım kullanılmaktadır. Adyabatik yaklaşım iyonik korların hareket hızının valans elektronlarının hareket hızından görece olarak oldukça yavaş olduğunu ve sürekli taban durumunda bulunacaklarını kabul eden yaklaşımdır. Diğeri ise harmonik yaklaşımdır. Harmonik yaklaşım altında çok basit sistemlerin örgü dinamiği şöyle bir modelle geliştirilebilir: Her birinin kütlesi  $m$  olan, birim örgü hücre uzunluğu  $a$  aralıklarla birbirine bağlanmış her atom, sadece en yakın komşusunun etkisini hissetsin. En yakın iki komşu



**Şekil 3.11:** Doğrusal zincir modeli. Atomik yerdeğiştirmeler  $u$  ile harmonik kuvvet sabitleri  $J$  ve etkileşmeler yay ile gösterilmiştir (Dove 1993).

arasındaki etkileşme  $\phi(a)$  olmak üzere  $N$  atomlu zincirin toplam enerjisi  $E = N \phi(a)$  olur. Atomların küçük  $u$  yerdeğiştirmeleri  $a$  örgü sabitiyle karşılaştırıldığında çok

küçük olduğu durumlarda zincirin enerjisi bu küçük yerdeğişmeler cinsinden Taylor serisine açılabilir.

$$E = N\varphi + \sum_{s \geq 1} \frac{1}{s!} \frac{\partial^s \varphi}{\partial u^s} \sum_n (u_n - u_{n+1})^s. \quad (3.32)$$

Denklem 3.32' deki açılımda ilk türev (s=1) denge şartından dolayı sıfırdır ve bu yakınsak seriye en etkili katkı kuadratik (s=2) terimden gelmektedir. Daha yüksek mertebeden gelecek küçük katkılar ihmal edilerek sadece bu terim alındığında örgünün enerjisi harmonik salınımcıların enerjisi gibi alınmış olacaktır. Bundan dolayı yaklaşıma harmonik yaklaşım denilmektedir. İhmal edilen daha yüksek mertebeli terimlerin katkısına anharmonik katkılar denilmektedir.

Tek atomlu doğrusal zincirin harmonik enerjisi şu şekildedir:

$$E^{\text{harmonik}} = \frac{1}{2} J \sum_n (u_n - u_{n+1})^2. \quad (3.33)$$

Burada,  $J = \frac{\partial^2 \varphi}{\partial u^2}$  dir. Klasik mekanik Newton kanunlarına göre n. atomun hareket denklemini şöyle yazılır:

$$m \frac{\partial^2 u_n}{\partial t^2} = - \frac{\partial E^{\text{harm}}}{\partial u_n} = -J(2u_n - u_{n+1} - u_{n-1}). \quad (3.34)$$

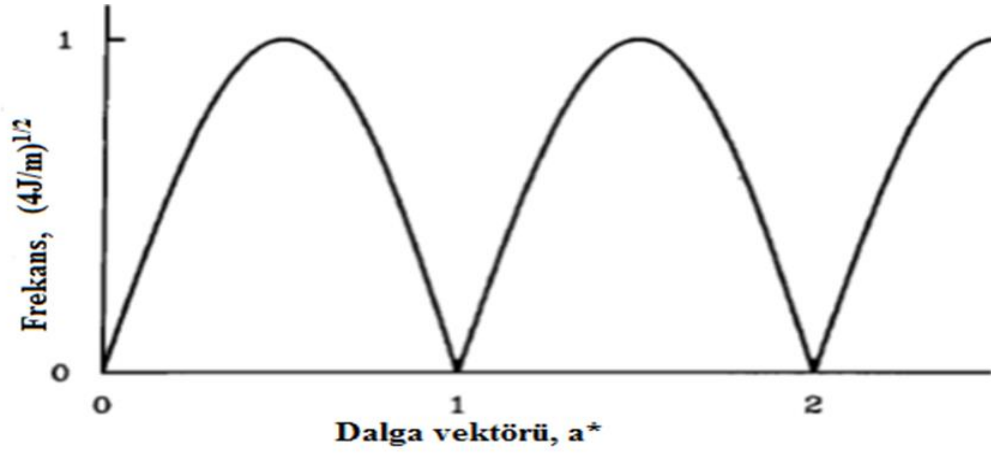
Bu denklemin çözümü yani n. atomun zamana bağlı hareketi zincirde ilerlemesine izin verilen dalgaların süperpozisyonu şeklinde ifade edilebilir.

$$u_n(t) = \sum_k \tilde{u} \exp(i[kx - w_k t]). \quad (3.35)$$

Denklem (3.35) ile verilen çözüm Denklem (3.34)' de yerine konulduğunda ve gerekli kısaltmalar yapıldığında w açısız frekansını k dalga vektörüne ya bağlayan şu ifade elde edilir:

$$w_k = \left(\frac{4J}{m}\right)^{1/2} |\sin(ka/2)|. \quad (3.36)$$

Denklem 3.36' daki ifade, dağıtkanlık (dispersiyon) bağıntısı olarak bilinmektedir. Harmonik yaklaşımda elde edilen tek atomlu bir boyutlu örgünün açısız frekansının dalga vektörüne bağımlılığı Şekil 3.12' de gösterilmektedir. Periyodik bir örgü



**Şekil 3.12:** Bir boyutta tek atomlu örgünün akustik mod dispersiyonu (Dove 1993).

hakkındaki bütün bilgiler BBB' den elde edebileceği için  $k$  dalga vektörünün alacağı değerleri bölge sınırları içinde  $-\frac{\pi}{a} < k < \frac{\pi}{a}$  sınırlamak işlemleri kolaylaştırır. Bölge sınırında grup hızı sıfır olacağından buradaki  $k$ ' lara karşılık gelen dalga vektörleri duran dalgalardır. Örgüdeki bütün dalga vektörleri BBB' sine taşınabilirler. Bu aralıkta vektörlerin alabileceği izinli değerler periyodik sınır şartlarından belirlenir.  $e^{ikNa} = e^0 = 1$  periyodiklik sınır şartından  $k = 2\pi m / Na$  bulunur. BBB'de  $N$  adet izinli dalga vektörü vardır, bu sayı genelde BBB' sindeki ilkel hücre sayısı ile sınılıdır.

Uzun dalga boyu limitinde yani ( $k \rightarrow 0$ ) Denklem (3.36) ile verilen dispersiyon bağıntısı lineer yaklaşım altında aşağıdaki ifadeyi alır:

$$w(k \rightarrow 0) = a \left( \frac{J}{m} \right)^{1/2} |k|. \quad (3.37)$$

Bu eşitliğe göre küçük  $k$  limitinde dispersiyon sıfıra gider. Yine (3.34) eşitliği kullanılarak faz hızı hesaplandığında, sesin kristaldeki hızı aşağıdaki bağıntı ile tanımlanır:

$$c = \frac{w}{k} = a \left( \frac{J}{m} \right)^{1/2}. \quad (3.38)$$

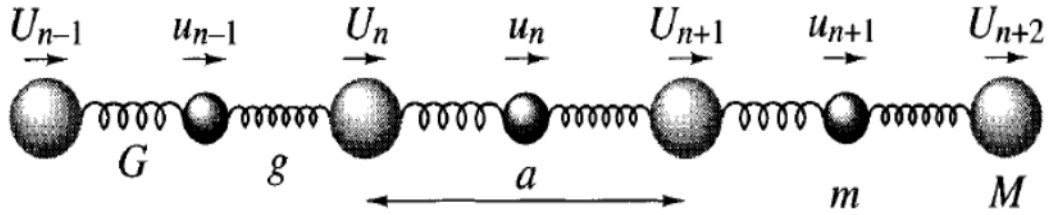
Sesin kristaldeki hızını veren bu titreşim moduna ses dalgasıyla ilişkili olduğunu belirtmek için akustik mod adı verilir. Mod bir sistemdeki atomların kolektif hareketidir. Burada elde edilen dispersiyon bağıntısı, daha uzak komşu atom

etkileşimlerini içerecek şekilde üç boyuta, hatta birden fazla baz atomu içeren molekülleri açıklayacak şekilde genelleştirmeler yapılabilir. Birim hücrede  $Z$  atom içeren bir kristal bir boyutta bir akustik ve  $(Z-1)$  optik moda; üç boyutta ise üç akustik ve  $(3Z-3)$  optik moda sahiptir.

Benzer şekilde iki atomlu bir molekülün dinamiği incelenebilir (bkz. Şekil 3.13). Kütleleri  $M$  ve  $m$  olan aralarındaki kuvvet sabiti  $G$  ve  $g$  olan harmonik osilatörler için hareket denklemleri yazılıp çözülebilir ve elde edilen sonuçlar moleküllere uygulanabilir.

Harmonik enerji Denklem (3.39) ile verilir:

$$E = \frac{1}{2} \sum_n [G(U_n - u_n)^2 + g(u_{n-1} - U_n)^2]. \quad (3.39)$$



**Şekil 3.13:** İki atomlu lineer harmonik zincir.  $a$  örgü sabiti,  $M$  ve  $m$  atom kütleleri,  $G$  ve  $g$  kuvvet sabitleri ve  $U_n$  ve  $u_n$  yer değiştirmeler (Dove 1993).

Hareket denklemleri ve çözümleri matris gösteriminde şöyle ifade edilebilir:

$$M \frac{\partial^2 U_n}{\partial t^2} = - \frac{\partial E}{\partial U_n}, \quad U_n = \sum_k \tilde{U}_k \exp(i[kna - w_k t]). \quad (3.40)$$

$$m \frac{\partial^2 u_n}{\partial t^2} = - \frac{\partial E}{\partial u_n}, \quad u_n = \sum_k \tilde{u}_k \exp(i[kna - w_k t]). \quad (3.41)$$

$$\begin{pmatrix} Mw_k^2 - (G + g) & G + g \exp(-ika) \\ G + g \exp(ika) & mw_k^2 - (G + g) \end{pmatrix} \begin{pmatrix} \tilde{U}_k \\ \tilde{u}_k \end{pmatrix} = 0. \quad (3.42)$$

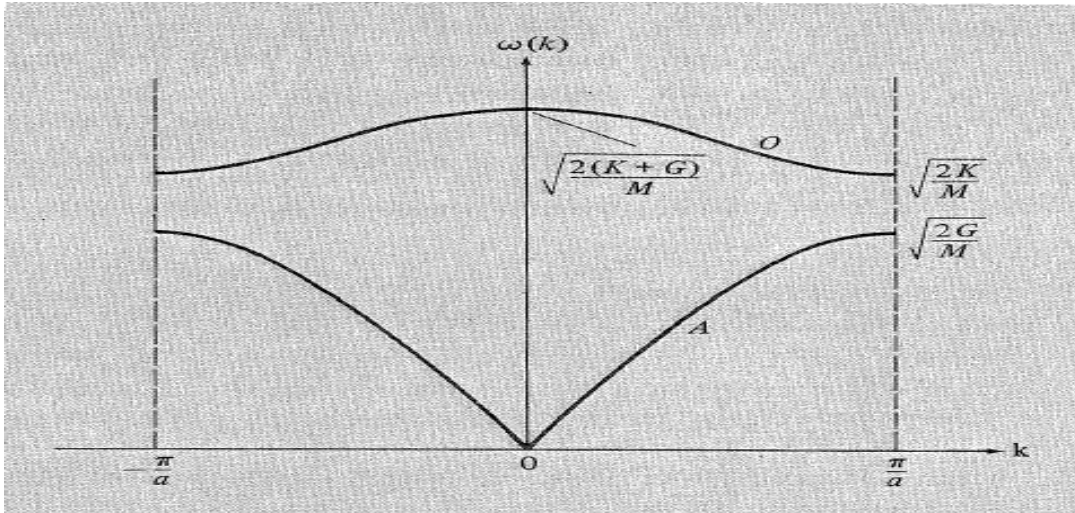
Bu denklemin çözümünün olabilmesi için katsayılar matrisinin determinanı sıfır olmalıdır, bu da açılal hızın karesini dalga sayısına bağlayan dispersiyon bağıntısına götürür ve şu şekilde verilir (Dove 1993):

$$w_k^2 = \frac{(M+m)(G+g)}{2Mm} \pm \frac{[(M+m)^2(G+g)^2 - 16MmGg\sin^2(ka/2)]^{1/2}}{2Mm}. \quad (3.43)$$

Uzun dalga boyu limitinde ( $k \rightarrow 0$ ), iki kök şu şekilde kısalır:

$$w_k^2 = \frac{(M+m)(G+g)}{Mm} - O(k^2); \quad \frac{Ggk^2a^2}{(M+m)(G+g)}. \quad (3.44)$$

Denklem (3.44)' te ilk eşitlik optik modun, ikincisi ise akustik modun frekansıdır. Bu frekanslar sistemin özelliğine göre daha da basit hale gelebilir. Örneğin, kuvvet sabiti aynı olan  $G=g$  iki atomlu bir sistemde akustik modda ve  $k = 0$  limitinde atomlar aynı yönde hareket ederlerken ( $\tilde{U} = \tilde{u}$ ); optik modda sıkıştırma hareketi yaparlar ( $M\tilde{U} = -m\tilde{u}$ ). Bu da elektrik alanında iki farklı yüklü iyonun hareketi gibidir. Şekil 3.14' te  $m = M$  ve baz atomları arasındaki yay sabitleri  $K$  ve  $G$  olan iki atomlu lineer bir zincirde dispersiyonun akustik (A) ve optik (O) kolları gösterilmiştir.



**Şekil 3.14:** Baz atomları arasındaki yay sabitleri  $K$  ve  $G$  olan iki atomlu lineer zincirin dispersiyonunda akustik ve optik kollar. Burada kütleler ( $m = M$ ) eşit alınmıştır (Ashcroft ve Mermin 1976).

İki atomlu sistemin dispersiyon bağıntıları hesaplanırken hareket denklemlerini  $U$  ve  $u$  yer değiştirmelerinden ziyade  $E$  ve  $e$  değişkenleri için çözmek daha avantajlıdır. Burada, yeni değişkenler kütle ile ağırlıklandırılmıştır:  $E = M^{1/2}\tilde{U}_k$  ve  $e = m^{1/2}\tilde{u}_k$ . Hareket denklemleri matris matris gösteriminde aşağıdaki gibidir:

$$\begin{pmatrix} E \\ e \end{pmatrix} w_k^2 = \mathbf{D}(\mathbf{k}) \begin{pmatrix} E \\ e \end{pmatrix}. \quad (3.45)$$

Burada,  $\mathbf{D}(\mathbf{k})$  dinamik matrisidir ve iki atomlu bir sistemde şu şekildedir:

$$\mathbf{D}(\mathbf{k}) = \begin{pmatrix} \frac{(G+g)}{M} & -\frac{(G+g\exp(ika))}{(Mm)^{1/2}} \\ -\frac{(G+g\exp(ika))}{(Mm)^{1/2}} & \frac{(G+g)}{m} \end{pmatrix}. \quad (3.46)$$

Buna göre (3.42 eşitliği yeniden yazılırsa  $\mathbf{e}(\mathbf{k}) \cdot \mathbf{\Omega}(\mathbf{k}) = \mathbf{D}(\mathbf{k}) \cdot \mathbf{e}(\mathbf{k})$  olur. Burada frekans ve yer değiştirme matrisleri sırasıyla,  $\mathbf{\Omega} = \begin{pmatrix} w_1^2 & 0 \\ 0 & w_2^2 \end{pmatrix}$  ve  $\mathbf{e} = \begin{pmatrix} E_1 & E_2 \\ e_1 & e_2 \end{pmatrix}$  şeklindedir.

Birim hücrede n atom bulunan bir sistemin dinamik matrisi  $3n \times 3n$  şeklindedir ve dinamik matris köşegenleştirildiğinde öz değerleri açısal frekansların karesini verir:

$$\mathbf{\Omega}(\mathbf{k}) = \mathbf{e}^{-1}(\mathbf{k}) \cdot \mathbf{D}(\mathbf{k}) \cdot \mathbf{e}(\mathbf{k}). \quad (3.47)$$

$$\mathbf{\Omega}(\mathbf{k}) = \begin{pmatrix} w^2(\mathbf{k}, 1) & & & & \\ & w^2(\mathbf{k}, 2) & & & \\ & & w^2(\mathbf{k}, 3) & & \\ & & & \ddots & \\ & & & & \ddots & \\ & & & & & w^2(\mathbf{k}, 3n) \end{pmatrix}. \quad (3.48)$$

Açısal frekansların karesi reel sayıdır. Negatif elde edilmesi sanal frekans anlamına gelir ve sistemin bulunduğu yapının kararlı olmadığını gösterir. Frekansı  $w$  olan bir modun frekansı bazı etkiler nedeniyle azalır, sonra da sıfır olursa böyle bir moda yumuşak (soft) mod denir. Kristal yapıdaki bir yumuşak mod yapısal fazı daha kararlı olan diğer bir yapısal faza dönüştürür. Bu faz geçişleri yer değiştirme, kaydırma (displacive) ya da yeniden yapılanma (reconstructive) karakterli olabilir. Yer değiştirme karakterli bir faz geçişi de ferroelektrik, ferromanyetik veya ferroelastik tipinde olabilir. Ferroelastik faz geçişlerinde ferromanyetizmadaki histerisise benzer olarak geri dönüştürülebilir, anlık kesme zorlanması görülür: Sonuçta, faz geçişinde kesme elastik sabiti çok küçülür bazen de sıfır olur. Bu tür faz geçişlerinde özellikle küçük dalga vektörlerinde ( $k \rightarrow 0$ ) fonon yumuşaması görülür. Birim hücrede  $Z$  molekül ve her molekülde  $f$  atom olan bir sistemde üç akustik ve ( $3Zf-3$ ) optik mod bulunur (Dove 1993).

Fonon sisteminin potansiyel enerjisi atom konumlarına göre  $V[\mathbf{r}(j_1l_1), \dots, \mathbf{r}(j_nl_n)]$  şeklinde ifade edilebilir. Burada  $\mathbf{r}(j_1l_1)$  1. birim hücredeki  $j$ .



atomun konumudur.  $n$  birim hücredeki atom sayısı  $N$  ise sistemdeki birim hücre sayısıdır. Örgü dinamiği hesaplama yöntemlerinden bir tanesi olan küçük yer değiştirme metodunda birim hücreden bir süper hücre elde edilir ve bu yeni yapıdaki atomlardan bir tanesinin konumunda örgü parametresinin %1-2' si kadarlık bir yer değiştirme yapılır. Sonra da bu atom ile süper hücredeki diğer atomlar arası kuvvetlerden kuvvet sabitleri hesaplanıp dinamik matris oluşturulur. Kuvvet sabitleri şu şekildedir:

$$\Phi_{\alpha\beta}(jl, j'l') = \frac{\partial^2 V}{\partial r_{\alpha}(jl) \partial r_{\beta}(j'l')} = - \frac{\partial F_{\beta}(j'l')}{\partial r_{\alpha}(jl)}. \quad (3.49)$$

Burada  $\alpha, \beta$  kartezyen indisler,  $j, j'$  birim hücredeki atom indisleri,  $l, l'$  birim hücre indisleridir.  $\Phi_{\alpha\beta}$  ise ikinci mertebe kuvvet sabitleridir. Dinamik matris aşağıdaki denklem ile tanımlanır:

$$D_{\alpha\beta}(jj', \mathbf{k}) = \frac{1}{\sqrt{m_j m_{j'}}} \sum_{l'} \Phi_{\alpha\beta}(j0, j'l') \exp(i\mathbf{k} \cdot [\mathbf{r}(j'l') - \mathbf{r}(j0)]). \quad (3.50)$$

Burada,  $m$  atomik kütle ve  $\mathbf{k}$  dalga vektörüdür.

Yarı iletkenlerde ve yalıtkanlarda boyuna akustik ve optik (LA ve LO) modları  $\mathbf{k} \rightarrow 0$  limitinde uzun menzil etkileşimden etkilenirlerken enine akustik ve optik modlar (TA ve TO) kısa menzil etkileşimlerinde bulunurlar. Uzun dalga boyu limitinde, optik modlar bir birlerine doğru hareket ettiklerinde sonlu bir  $\mathbf{P}$  polarizasyonu ve  $\mathbf{E}$  elektrik alanı oluştururlar. Polarizasyon ve elektrik alanın olduğu yerel bölgede uzun dalga titreşimleri yerel  $\mathbf{E}_{loc}$  ya da etkin  $\mathbf{E}_{eff}$  olarak adlandırılan geri çağırıcı bir elektrik alana maruz kalırlar. Örneğin kübik bir kristalde bu alanlar şu şekildedir:

$$\mathbf{E}_{eff} = - \frac{8\pi\mathbf{P}}{3} \text{ (LO modları)}, \quad (3.51)$$

$$\mathbf{E}_{eff} = \frac{4\pi\mathbf{P}}{3} \text{ (TO modları)}. \quad (3.52)$$

LO titreşimleri polarizasyonu azaltma etkisi gösterirken, TO modları güçlendirme etkisi yapmaktadırlar (Srivastava 1990). Bu da uzun dalga LO ve TO modlarında kaymaya neden olmaktadır (LO/TO splitting). Bu etki dinamik matrise analitik

olmayan terimlerin etkisinin dahil edilmesini gerektirmektedir (Non Analytic Term correction, NAC). Bu durumda dinamik matrisin yeni şekli şöyle olur (Togo 2008 ):

$$D_{\alpha\beta}(jj', \mathbf{k} \rightarrow 0) = D_{\alpha\beta}^N(jj', \mathbf{k} \rightarrow 0) + \frac{4\pi}{\sqrt{m_j m_j} \Omega_0} \frac{[\sum_{\gamma} k_{\gamma} Z_{j,\gamma}^*][\sum_{\gamma'} k_{\gamma'} Z_{j',\gamma'}^*]}{\sum_{\alpha\beta} k_{\alpha} \epsilon_{\alpha\beta}^{\infty} k_{\beta}}. \quad (3.53)$$

Burada,  $D^N(\mathbf{k})$  normal dinamik matris,  $Z_j^*$  birim hücredeki j. atomun etkili Born yükü tensörü,  $\Omega_0$  birim hücrenin hacmi ve  $\epsilon_{\alpha\beta}^{\infty}$  yüksek frekans dielektrik sabiti tensörüdür.

Deneysel olarak modların ölçülmesi işlemi nötron saçılması, elektromanyetik spektrumun kızıl ötesi soğurmaları, IR spektrometresi, görülebilir kısım tek renk saçılmaları, Raman spektrometresi ve akustik modlar ise Brillouin saçılma teknikleriyle yapılmaktadır. Yüksek frekanslarda spektroskopik yöntemler, düşük frekanslarda ise nötron saçılması tekniği daha iyi sonuçlar vermektedir. İndirgenemez gösterim metoduna göre modlar, grup teorisindeki simetri işlemlerine göre adlandırılmakta, buna ek olarak bazen ölçüm tekniği de belirtilmektedir.

### 3.3.1 Harmonik Enerji ve Termodinamik Fonksiyonlar

1. birim hücredeki j. atomun yer değiştirmesi şu şekilde de belirtilebilir:

$$\mathbf{u}(jl, t) = \sum_{\mathbf{k}, \nu} \mathbf{U}(j, \mathbf{k}, \nu) \exp(i[\mathbf{k} \cdot \mathbf{r}(jl) - w(\mathbf{k}, \nu)t]). \quad (3.54)$$

Buradaki,  $\mathbf{u}$  ve  $\mathbf{U}$  iki atomlu sistemlerdeki birinci ve ikinci kütlelerin yer değiştirmeleriyle karıştırılmamalıdır. Burada  $\mathbf{u}$  yerdeğiştirme,  $\mathbf{U}$  ise bir atomun  $(\mathbf{k}, \nu)$  dalgasının etkisiyle hareket etme yönünü ve genliğini veren genlik vektörüdür. (3.46) Eşitliği şu şekilde de yazılmaktadır:

$$\mathbf{u}(jl, t) = \frac{1}{(Nm_j)^{1/2}} \sum_{\mathbf{k}, \nu} \mathbf{e}(j, \mathbf{k}, \nu) \exp(i\mathbf{k} \cdot \mathbf{r}(jl)) Q(\mathbf{k}, \nu). \quad (3.55)$$

Burada,  $m_j$  j. atomun kütlesi, N birim hücre sayısı,  $Q(\mathbf{k}, \nu)$  zaman bağımlılığını da içeren skaler bir niceliktir, aynı zamanda dalganın genliğidir.  $\mathbf{e}(j, \mathbf{k}, \nu)$  vektörü ise normalize edilmiş genliğin yönünü gösteren vektördür. Ters-Fourier dönüşümü ile Denklem (3.55)' den elde edilebilir:

$$Q(\mathbf{k}, \nu) = \frac{1}{N^{1/2}} \sum_{jl} m_j^{-1/2} \exp(-i\mathbf{k} \cdot \mathbf{r}(jl)) \mathbf{e}^*(j, \mathbf{k}, \nu) \cdot \mathbf{u}(jl, t). \quad (3.56)$$

Harmonik bir sistemin dinamik enerjisi (Hamiltonyen) şu şekilde yazılabilir:

$$\mathcal{H} = \frac{1}{2} \sum_{\mathbf{k}, \nu} \dot{Q}(\mathbf{k}, \nu) \dot{Q}(-\mathbf{k}, \nu) + \frac{1}{2} \sum_{\mathbf{k}, \nu} \omega^2 Q(\mathbf{k}, \nu) Q(-\mathbf{k}, \nu), \quad (3.57)$$

buradaki  $Q(\mathbf{k}, \nu)$  'lara normal mod koordinatları da denmektedir.

Kuantum mekanik etkileri dahil etmek için fononlar ses dalga paketçikleri gibi düşünülecek ve herbir fononun enerjisi  $\omega$  açılmal hızı ve  $\hbar$  ( $h/2\pi$ ) Plank sabiti ile çarpılarak bulunacaktır. Kuantum harmonik salınıcının en düşük enerjisi de sıfır-nokta enerjisi  $E_0 = (1/2)\hbar\omega$  olarak alınacak ve salınımların enerjisi Plank enerjisinin tam katları şeklinde değişecektir. Herbir titreşim modunun ortalama enerjisi

$$E(\mathbf{k}, \nu) = \hbar\omega(\mathbf{k}, \nu) \left[ \frac{1}{2} + n(\mathbf{k}, \nu) \right] \quad (3.58)$$

şeklindedir. Burada  $n(\mathbf{k}, \nu)$ , dalga vektörü  $\mathbf{k}$  olan  $\nu$ . koldaki fonon sayısı ya da doluluk sayısıdır ve sıcaklığa bağlılığı Bose-Einstein dağılım fonksiyonu ile verilir:

$$n(\mathbf{k}, \nu) = n(\omega, T) = [\exp(\hbar\omega(\mathbf{k}, \nu)/k_B T) - 1]^{-1}. \quad (3.59)$$

Burada,  $k_B$  Boltzman sabitidir. Fonon sayısı moda ve dalga vektörüne bağlı olmayıp, sıcaklığa ve açılmal frekansa bağlı olduğu için  $n(\omega, T)$  alınmaktadır.

Kristalin harmonik fonon enerjisi, modların enerjileri toplanarak elde edilir:

$$E = \sum_{\mathbf{k}, \nu} \hbar\omega(\mathbf{k}, \nu) \left[ \frac{1}{2} + n(\omega, T) \right]. \quad (3.60)$$

Harmonik model termal genişlemeye izin vermediği için sabit hacim ısı kapasitesi harmonik fonon enerjisinden (iç enerjiden) elde edilir ve ifadesi şöyledir (Einstein modeli):

$$C_V = \left( \frac{\partial E}{\partial T} \right)_V = \sum_{\mathbf{k}, \nu} k_B \left( \frac{\hbar\omega(\mathbf{k}, \nu)}{k_B T} \right)^2 \frac{\exp(\hbar\omega/k_B T)}{\left[ \exp\left( \frac{\hbar\omega}{k_B T} \right) - 1 \right]^2}. \quad (3.61)$$

Yüksek sıcaklık limitinde ( $k_B T \gg \hbar \omega$ ), N tane birim hücre içeren ve her birim hücresinde Z atom olan sistemin ısı kapasitesi klasik Dulong-Petit değeri olan  $3Nk_B$  değerine ulaşır, ama bu ısı kapasitesinin sıcaklığa bağlılığını açıklayamaz. Klasik İstatistik mekaniğinde herhangi bir termodinamik nicelik bölüşüm fonksiyonundan elde edilir. Bölüşüm fonksiyonu ifadesi şu şekildedir:

$$Z = \exp(-\varphi/k_B T) \prod_{\mathbf{k}, \nu} \frac{\exp(-\hbar \omega(\mathbf{k}, \nu)/2k_B T)}{1 - \exp(-\hbar \omega(\mathbf{k}, \nu)/k_B T)}. \quad (3.62)$$

Burada,  $\varphi$  kristalin potansiyel enerjisidir. Sabit hacimde serbest enerji (Helmholtz enerjisi)  $F = -k_B T \ln Z$  ifadesinden hesaplanır:

$$F = \varphi + \frac{1}{2} \sum_{\mathbf{k}, \nu} \hbar \omega(\mathbf{k}, \nu) + k_B T \sum_{\mathbf{k}, \nu} \ln \left[ 1 - \exp\left(-\frac{\hbar \omega(\mathbf{k}, \nu)}{k_B T}\right) \right]. \quad (3.63)$$

S (entropi) ise  $-(\partial F / \partial T)_{V, N}$  ifadesinden hesaplanır (Dove 1993).

Ters uzayda Brillouin bölgesinin dalga vektörlerince iyi bölmelenmesi ile dispersiyon eğrilerinden uzun frekans listeleri elde edilir ve termodinamik fonksiyonlar prensipte bu frekansların kullanılmasıyla elde edilir. Titreşim enerjilerinin sadece frekansa bağlı olması titreşim frekanslarının dağılımına dayanan bir formülasyon geliştirme kolaylığı sağlar. DOS, durum yoğunluğu  $g(\omega)$  adı verilen bir niceliği şu şekilde tanımlayabiliriz: Açısal frekansları  $\omega$  ile  $\omega + d\omega$  arasında olan modların sayısı  $g(\omega)d\omega$ ' dir. Örneğin, akustik modların öz ısıya katkıları Debye modeli ile hesaplanırken durum yoğunluğu şu şekilde belirleni: Ortalama ses hızının  $c$  olduğu bir kristalde  $\omega = ck$  yazılabilir. N tane nokta içeren Brillouin bölgesinin hacmi  $8\pi^3 N/V$ ' dir ve ters uzayda nokta yoğunluğu  $V/8\pi^3$  tür.  $k$  ve  $k + dk$  dalga vektörleri arasındaki noktaların sayısı  $g(k)dk = \frac{V}{8\pi^3} 4\pi k^2 dk$  ile hesaplanabilir. Frekans cinsinden DOS aşağıdaki gibi tanımlanır:

$$g(\omega)d\omega = \frac{3V}{8\pi^3} 4\pi \left(\frac{\omega}{c}\right)^2 \frac{d\omega}{c}. \quad (3.64)$$

Burada, 3 sayısı izinli her bir  $k$  vektörünün üç akustik modu olduğu için yazılmıştır. Kristalin harmonik fonon enerjisi durum yoğunluğu kullanılarak şöyle yazılabilir:

$$E = \int \hbar \omega g(\omega) \left[ \frac{1}{2} + n(\omega, T) \right] d\omega. \quad (3.65)$$

Isı kapasitesi ise şu şekilde olur:

$$C_V = \frac{\partial}{\partial T} \int \hbar \omega g(\omega) n(\omega, T) d\omega. \quad (3.66)$$

Optik kolların DOS' a katkıları bütün optik modların aynı frekansta  $\omega_E$  Einstein frekansında oldukları varsayımı ile hesaplanabilir (Einstein 1906). Atomik spektrum ölçüleri  $k=0$  da yapıldığı bilinmektedir. Deneysel verilerden  $\omega$  frekansını hesaplamak için Kieffer bir model geliştirmiştir (Kieffer<sup>a-c</sup> 1979). Akustik modların durum yoğunluğuna katkıları da Debye modeli ile yapılmaktadır (Debye 1912). Bu modelde frekans dispersiyonlarının dalga vektörüne lineer bağlı olduğu ve herbir kolun eğimi ortalama bir eğim değeri ile değiştirilebilir olduğu kabul edilmektedir.

Öz ısı için klasik Dulong-Petit modeli, Einstein modeli ve Debye modeli ifadeleri birbirlerinden farklıdır. Einstein modelindeki ifade Denklem (3.61)' de verilmişti (Dove 1993):

$$C_V = 3Nk_B, \quad (3.67)$$

$$C_V \approx 234Nk_B \left( \frac{T}{\theta_D} \right)^3. \quad (3.68)$$

Denklem (3.68)' deki Debye sıcaklığı  $\theta_D = \frac{c\hbar}{k_B} \left( \frac{6\pi^2 N}{V} \right)^{1/3}$  şeklindedir. Yüksek sıcaklık limitinde bütün katıların öz ısısı Dulong-Petit ifadesi ile verilir. Einstein ve Debye modelleri bu limite Dulong-Petit ifadesini destekler. Fakat düşük sıcaklık limitinde Einstein modeli sadece optik modları ele aldığı için deneysel sonuçlarla uyumlu değildir. Öte yandan Debye modeli (akustik modları dahil ederek) fononların titreşiminden gelen öz ısı katkılarını  $bT^3$  şeklinde Denklem (3.68) ile ifade eder ve düşük sıcaklıkta deney sonuçları ile uyumludur.

### 3.3.2 Kuazi-harmonik Yaklaşım

Harmonik yaklaşım ile yapılan hesaplamalar genellikle doğru fikirler vermektedir. Harmonik yaklaşımda termal genişlemeye izin verilmemektedir. Fakat Denklem (3.32) ile verilen sistemin enerjisinin ikinci terimde kesilmediği yani anharmonik terimlerin katkılarının ihmal edilmediği durumlar vardır. Gerçekte  $w_i$

frekansları,  $w_i(V,T)$  sıcaklığa ve hacme bağlıdır. Sadece sıcaklığa bağlı etkiler dikkate alınarak yapılan hesaplamalara psödo harmonik yaklaşım denilmektedir. Bu durumda anharmoniklik fonon-fonon etkileşmelerine bağlıdır. Frekansların hacme ve sıcaklığa bağlılığı şu şekilde formüle edilmiştir (Peercy ve Morosin 1972):

$$\begin{aligned} \left(\frac{\partial \ln w_i}{\partial T}\right)_p &= \left(\frac{\partial \ln V}{\partial T}\right)_p \left(\frac{\partial \ln w_i}{\partial \ln V}\right)_T + \left(\frac{\partial \ln w_i}{\partial T}\right)_V \\ &= -\frac{\beta}{\kappa} \left(\frac{\partial \ln w_i}{\partial P}\right)_T + \left(\frac{\partial \ln w_i}{\partial T}\right)_V. \end{aligned} \quad (3.69)$$

Burada,  $i$  fonon mod indisi,  $\beta = \frac{1}{V} \left(\frac{\partial V}{\partial T}\right)_p$  termal genişebilirlik ve  $\kappa = -\frac{1}{V} \left(\frac{\partial V}{\partial P}\right)$  izotermal sıkıştırılabilirliktir. Sağdaki birinci terim sıcaklıktan dolayı hacimdeki genişleme kaynaklı katkılar ikinci terim ise sabit hacimde doğrudan sıcaklığa bağlı katkılar. Saf sıcaklık katkılarının ihmal edildiği yani dispersiyonların hacme bağlı katkılar göz önüne alınarak hesaplandığı durum kuazi-harmonik yaklaşım olarak bilinmektedir. Kuazi-harmonik yaklaşım (QHA), anharmonikliğin sadece termal genişleme ile sınırlandırıldığı harmonik yaklaşım olarak tanımlanabilir. Bu yaklaşım termal genişleme hesabında oldukça başarılı sonuçlar vermektedir. Bu yaklaşım ile hacim modülü  $B$ , sabit basınç ısı kapasitesi  $C_p$ , Gibbs serbest enerjisi  $G$ , Grüneisen parametresi  $\gamma$ , hacim  $V$  ve hacim genişleme oranının  $\Delta V/V_0$  ve termal genişleme  $\beta'$  nin sıcaklıkla değişimleri ile sabit hacim ısı kapasitesi  $C_v$ , Helmholtz serbest enerjisi  $F'$  nin hacim ile değişimlerini hesaplamak mümkündür. Kuazi-harmonik yaklaşımda  $F$  Helmholtz serbest enerjisine titreşimlerin katkıları sıfır nokta enerjisine termal katkılarının eklenmesiyle elde edilir (Srivastava 1990):

$$F_{\text{titr}} = \frac{1}{2} \sum_{\mathbf{k}s} \hbar w(\mathbf{k}s) + k_B T \sum_{\mathbf{k}s} \ln[1 - \exp(-\hbar w(\mathbf{k}s)/k_B T)]. \quad (3.70)$$

Burada,  $\mathbf{k}$ ,  $s$ ,  $\hbar$ ,  $w$ ,  $k_B$  ve  $T$  sırasıyla dalga vektörü, band indisi, indirgenmiş Plank sabiti, mod frekansı, Boltzmann sabiti ve sıcaklıktır. Serbest enerji minimizasyonu yapmak için denge hacmi ve civarında hacim değerlerinde toplam enerji ve örgü dinamiği hesaplamaları yapılır. QHA' da Gibbs serbest enerjisi (Togo ve diğ. 2010):

$$G(T,p) = [E(V) + F_{\text{titr}}(T,V) + pV]. \quad (3.71)$$

Burada,  $V$  hacim,  $E(V)$  yapısal elektronik toplam enerji,  $T$  sıcaklık ve  $p$  basınçtır.

Farklı sıcaklıklardaki hacim Helmholtz serbest enerjisi ve sonlu sıcaklıklarda Gibbs serbest enerjisinin minimumu ve ilgili termodinamik fonksiyonlar kullanılarak fiziksel özellikler hesaplanır.

Deneysel çalışmalar sabit basınçta yapıldığından sabit basınç ısı kapasitesi  $C_p$  ölçülmektedir. Sabit hacim ısı kapasitesi  $C_v$  ise  $C_p$  ile  $C_v$  arasındaki ilişki (3.65)' te verilen eşitlik kullanılarak elde edilmektedir.

$$C_p = C_v + TV\beta^2/K_T. \quad (3.72)$$

Burada,  $\beta$  termal genişleme katsayısıdır ve ifadesi şu şekildedir:

$$\beta = \frac{1}{V} \left( \frac{\partial V}{\partial T} \right)_P = K_T \left( \frac{\partial P}{\partial T} \right)_V. \quad (3.73)$$

$K_T$  izotermal sıkıştırılabilirliktir:

$$K_T = -\frac{1}{V} \left( \frac{\partial V}{\partial P} \right)_T. \quad (3.74)$$

Termal genişleme katsayısının bir başka ifadesi de şu şekildedir:

$$\beta = \frac{K_T \gamma C_v}{V}. \quad (3.75)$$

Burada,  $\gamma$  Grüneisen parametresi olup katılarda 1-2 arası değer alır ve kristal anharmonikliğin bir ölçüsüdür. Mod Grüneisen parametrelerinin ağırlıklı ortalaması kullanılarak hesaplanır:

$$\gamma = \frac{\sum_{ks} \gamma_{ks} C_v(ks)}{\sum_{ks} C_v(ks)}. \quad (3.76)$$

Mod Grüneisen parametreleri ise şu şekildedir (Srivastava 1990):

$$\gamma_{ks} = -\frac{V}{w(ks)} \frac{\partial w(ks)}{\partial V} = -\frac{\partial(\ln w(ks))}{\partial(\ln V)}. \quad (3.77)$$

### 3.3.3 Örgü Dinamiği Hesaplama Yöntemi

Örgü dinamiği hesaplamaları lineer tepki (linear response) ve direk (direct) metodları kullanılarak yapılabilmektedir. Bu tez çalışmasında, makroskopik dielektrik sabiti ve

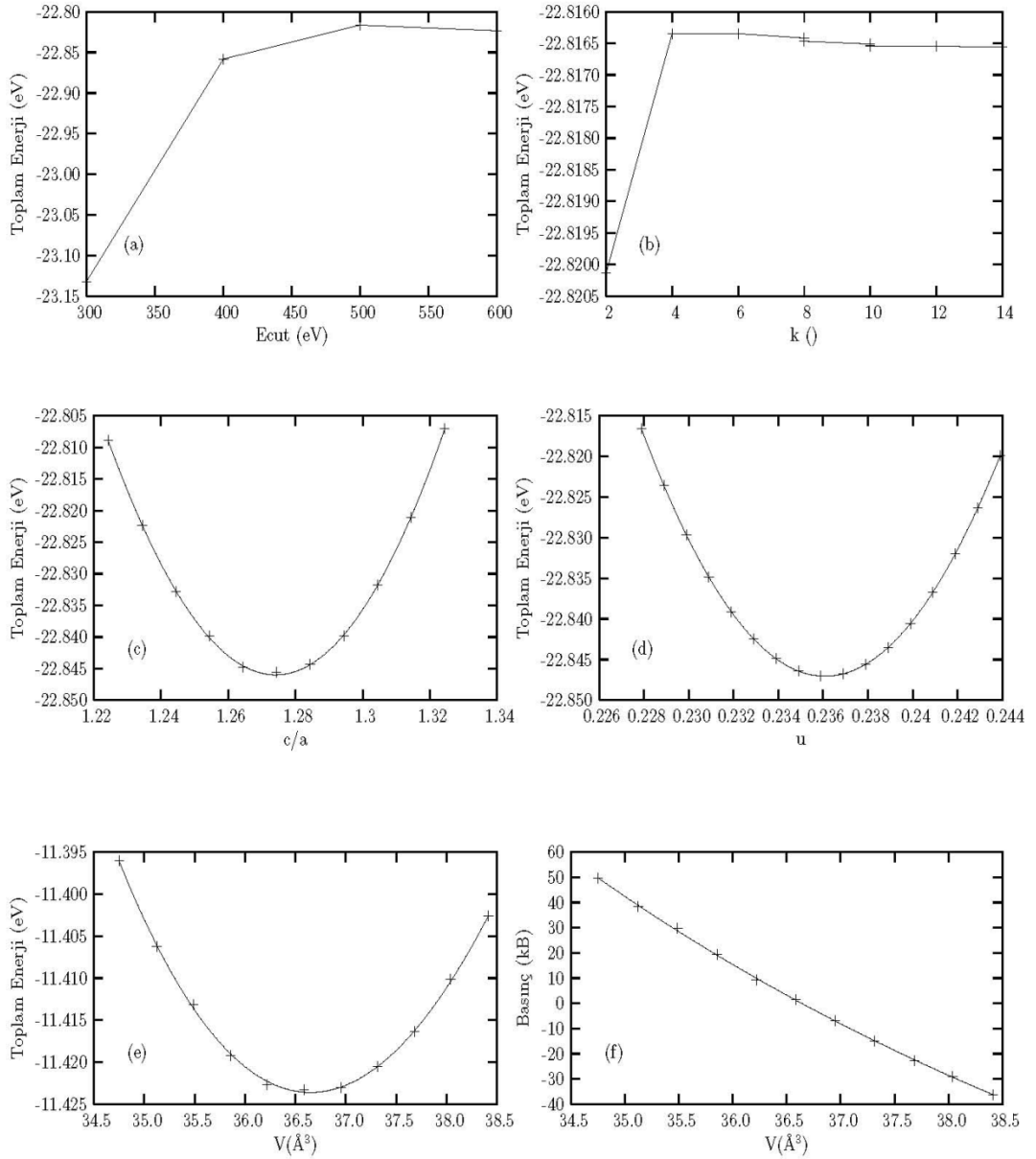
Born etkili yükler lineer tepki metodunu esas alan yoğunluk fonksiyonel pertürbasyon teorisi (Density Functional Perturbation Theory, DFPT) ve tezde gerçekleştirilen diğer örgü dinamiği hesaplamaların tümü direk metod ile elde edilmiştir. Direk metoda literatürde verilen diğer isimler ise küçük yer değiştirmeler ve dondurulmuş fonon (frozen phonon) metodudur. İlk adım olarak, yapısal hesaplarda optimize edilmiş denge birim veya ilkel hücre alınır ve daha hassas bir optimizasyon yapılır. Bu da enerji yakınsama kriterinin  $10^{-8}$  eV ve atomlar üzerindeki kuvvetlerin  $10^{-6}$ - $10^{-8}$  eV/Å mertebelerinde tutulduğu bir rahatlama hesabı yapılarak gerçekleştirilebilir. Elde edilen bu son yapı kullanılarak üç boyutta yeteri kadar çoğaltılarak bir süper hücre elde edilir. Bu tez çalışmasında, SnO<sub>2</sub> malzemesinin fazları için şu şekilde süper hücreler üretilmiştir: Rutil faz 2x2x3, CaCl<sub>2</sub>,  $\alpha$ -PbO<sub>2</sub>, pirit ve cotunit fazları 2x2x2 ve ZrO<sub>2</sub> fazı 1x2x2. Süper hücrede PHONOPY isimli ikinci bir program kullanılarak küçük yer değiştirmeler oluşturulmuştur (Alfè 2009). Bu program başlangıçtaki süper hücrede sistemin simetrilerini de göz önüne alarak bir tane atomun yerini x, y veya z yönünde örgü parametresinin % 1' i mertebesinde değiştirerek farklı süper hücreler üretmektedir. Her birisinde sadece bir atomun yerinin çok küçük miktarda değiştirilmesiyle üretilen bu yeni süper hücrelerde harmonik salıncı gibi kabul edilen atomlar arasındaki kuvvet sabitleri VASP programı yardımıyla ters uzay hesaplamalarında k noktaları 2x2x2 alınarak hesaplanmaktadır (Kresse ve Furthmüller 1996). Bu kuvvet sabitleri PHONOPY programı yardımıyla birleştirilerek dinamik matris oluşturulmakta ve çözümü yapılarak fonon dispersiyonları hesaplanmaktadır. VASP programındaki DFPT özelliği kullanılarak fazın makroskopik dielektrik tensörü ve Born etkili yükleri hesaplandıktan sonra PHONOPY programı kullanılarak polarizasyonun neden olduğu frekans kaymaları elde edilir (Gianozzi ve diğ. 1991; Wang ve diğ. 2010). Dispersiyonların basınç ile değişimleri ve fonon yumuşaması ise araştırılan fazın farklı basınçlardaki dispersiyonları hesaplanarak görülebilir. Kuazi-harmonik yaklaşım hesapları yapılırken denge hacminde gerçekleştirilen dispersiyon hesaplarının aynısı denge hacmi civarındaki on farklı, diğer hacimler için tekrarlanır ve sonuçlar PHONOPY programında birleştirilerek gerekli fiziksel özellikler ve bunların sıcaklık ile değişimleri elde edilir (Togo ve diğ. 2010).



## 4. BULGULAR ve TARTIŞMA

### 4.1 Yapısal Özellikler

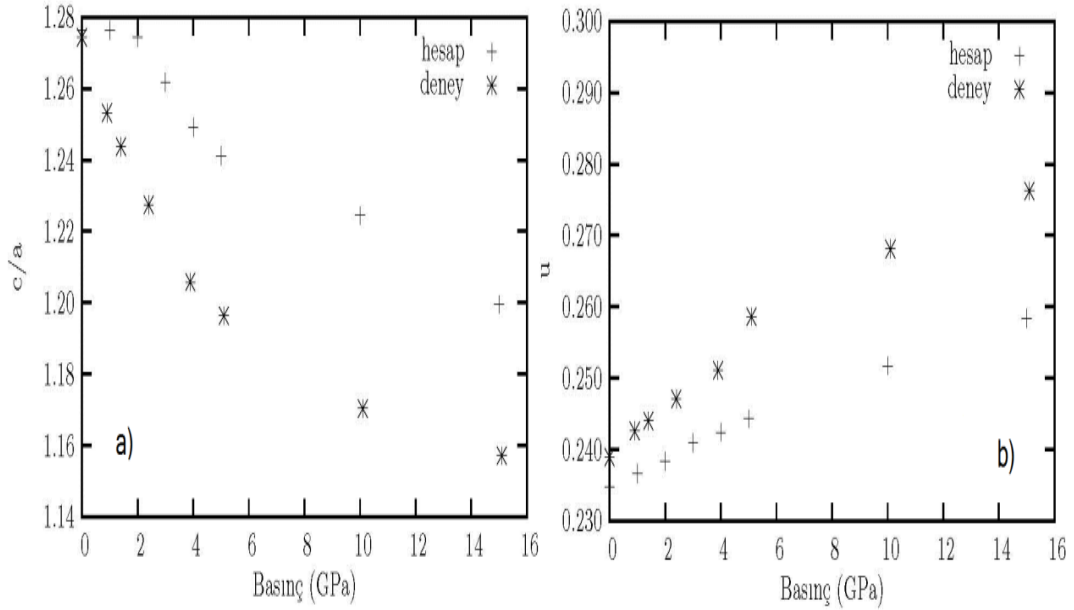
SnO molekülü normal şartlar altında litharge (tetragonal) yapıdadır. Uzay grup numarası 129 olan bu yapı, Sn atomları Wyckoff 2c pozisyonlarına  $(0, \frac{1}{2}, u)$  ve  $(\frac{1}{2}, 0, -u)$ , O atomları ise Wyckoff 2a pozisyonlarına  $(0, 0, 0)$  ve  $(\frac{1}{2}, \frac{1}{2}, \frac{1}{2})$  yerleştirilmesiyle, birim hücresinde iki birim formül ( $Z = 2$ ) içerecek şekilde oluşturulur. Birim hücre vektörleri  $\mathbf{a}, \mathbf{b} = \mathbf{a}, \mathbf{c}$  şeklindedir. Deneysel bir çalışmadan örgü parametreleri ve u iç parametre değeri referans alınarak yapısal optimizasyonlar başlatılır. İyon-elektron etkileşmelerini hesaplamak için potansiyeller seçilir. VASP programında girdi dosyası olarak yukarıda anlatılan yapısal bilgileri içeren POSCAR dosyası ve potansiyelleri içeren POTCAR dosyasından başka iki dosyaya daha ihtiyaç vardır (VASP 2015). Diğerleri de ters uzay hesaplamalarında kullanılacak k noktaları grid bilgisi içeren K-POINTS dosyası ve programın çalışma şartlarını yöneten INCAR dosyasıdır. INCAR dosyasının içerisine hesaplamalar yapılırken uyulacak kurallar komut şeklinde yazılır. Örneğin ENCUT = 500 eV yazılması ile kullanılacak olan dalga vektörlerinin serisinin kesilme sınırı belirlenirken, EDIFF =  $10^{-5}$  eV yazılması ile hesaplama döngüsündeki ardışık iki basamak enerjileri arasındaki farkın  $10^{-5}$  eV veya daha düşük değere ulaşılması durumunda KS denkleminin çözümünün yapıldığı kabul edilir. Yine bu dosya içerisine yazılan komutlar ile program tarafından ayrıntılı olarak oluşturulması istenen çıktı dosyaları belirtilir. Çıktı bilgilerinin bir özeti program tarafından oluşturulan OUTCAR dosyasına da yazılmaktadır. PAW (GGA) potansiyellerinin PBE tipi kullanılarak yapılan optimizasyonlarda  $E_{cut}$ ,  $K_{cut}$ ,  $c/a$  oranı ve u iç parametresi belirlenmiştir. Hücre hacmi ve şekli sabit tutularak yapılan bu optimizasyonların değerlendirilme eğrileri sırasıyla Şekil 4.1' de gösterilmiştir. Denge hacmi civarındaki hacimlerin enerjileri ve basınçları 3. mertebe Birch-Murnaghan durum denklemlerine fit edilmesiyle elde edilen E-V (toplam enerji-hacim) ve P-V (basınç-hacim) grafikleri Şekil 4.1' de gösterilmiştir. SnO malzemesinin litharge, roksalt ve CsCl yapıları için yapılan optimizasyonlar sonucunda denge durumundaki ( $T = 0$  K ve sıfır basınç)



**Şekil 4.1:** SnO litharge yapı optimizasyonlarının değerlendirme grafikleri, a)  $E_{cut}$  (kesme enerjisi), b)  $K_{cut}$  (ters uzay grid oluşturma), c)  $c/a$  oranı, d)  $u$  (iç parametre), e) E-V (toplam enerji-hacim) ve f) P-V (basınç-hacim).

hesaplanan enerjileri sırasıyla -11.42, -10.52 ve -9.88 eV' tur. Enerji olarak litharge (tetragonal) yapısı en düşük enerjiye sahip olduğu için malzemenin bu üç yapıdan litharge yapıda olmaya daha yatkın olduğu sonucuna varılmıştır (Erdem ve diğ. 2010). Örgü parametresi  $a = 3.8540$ ,  $c/a$  oranı = 1.2735, iç parametre  $u = 0.2369$ , hacim modülü  $B_0 = 86.8$  GPa, denge hacmi  $V_0 = 36.64$  Å<sup>3</sup> olarak hesaplanmıştır. Hesaplanan  $c/a$  oranı ve  $u$  parametresinin deneysel veri ile karşılaştırılması Şekil

4.2.' de gösterilmiştir (Wang ve diğ. 2004). Ayrıca, sistemin hacmi sabit tutulup hücre şeklinin ve iyon hareketlerinin değişimine izin verildiğinde elde edilen optimizasyon parametreleri, şekil sabit tutulduğunda elde edilen optimizasyon parametreleri ile uyumluluk göstermekte olup, aynı sonuçlar elde edilmiştir. Zaman kazanma ve bilgilerin depolanmasında oldukça tasarruf sağlayan bu yöntem bu tez çalışmasında denenmiş ve uygulanmıştır.



**Şekil 4.2:** SnO malzemesinin hesaplanan a)  $c/a$  oranının, b)  $u$  iç parametresinin deneysel veriler ile karşılaştırılması (Wang ve diğ. 2004).

Literatürdeki diğer isimleri cassiterite ve stannic oxide olan  $\text{SnO}_2$  malzemesinin deneysel olarak gözlemlenmiş ve yapısal parametreleri belirlenmiş olan altı tane yapısal fazı vardır. Bu fazların herbiri Tablo 4.1' de verilen deneysel çalışmalar baz alınarak ve yapıları uzay grubuna uyumlu olacak şekilde oluşturularak (bkz. Tablo 3.1) optimize edilmiştir. Kısaca PAW (GGA) potansiyellerinin PBE tipi olarak tanımlanabilecek oksijen atomunun altı  $\text{O}(2s^22p^4)$  ve kalay atomunun dört  $\text{Sn}(5S^25p^2)$  valans elektronu içerdiğini kabul eden potansiyeller kullanılmıştır. Fazların toplam enerji-hacim (E-V) davranışları elde edilmiştir (bkz. Şekil 3.1) (Perdew ve diğ. 1996; Perdew ve Zunger 1981; Blöchl 1994). Elde edilen yapısal parametreler Tablo 4.1' de deneysel ve aynı tip potansiyellerin kullanıldığı teorik çalışmalarla karşılaştırmalı olarak verilmiştir. Normal şartlarda rutil yapıda kristalize olan  $\text{SnO}_2$  malzemesinde anyon koordinasyon sayısı altıdır. Örgü parametreleri  $a$ ,  $b$ ,  $c$  deneysel verilerden % 1-2 oranında daha büyük hesaplanmıştır. DFT ile yapılan

**Tablo 4.1:** SnO<sub>2</sub> malzemesinin yapısal fazlarının hesaplanan yapısal parametreleri  $a$  (Å),  $b$ (Å),  $c$ (Å) ve  $u$ ,  $v$ ,  $w$ ,  $x$ ,  $y$ ,  $z$  iç parametrelerinin,  $B_0$  hacim modülü,  $B'_0$  hacim modülünün basınç türevinin deneysel ve diğer teorik çalışmalar ile karşılaştırılması. Verildiği faza önceki fazdan geçişi gösteren  $P_T$  geçiş basınçları GPa biriminde verilmiştir.

	Bu çalışma		Diğ. Teorik Çlş.		Deneyler
<b>Rutil</b>					
$a$	4.830		4.776 <sup>a</sup>	4.826 <sup>b</sup>	4.737 <sup>d</sup>
$c$	3.236		3.212	3.237	3.186
$B_0$	173		192	179	205
$B'_0$	5.4		4.8	5.0	7.0
$u$	0.306		0.306	0.307	0.307
<b>CaCl<sub>2</sub></b>					
$a$	4.827		4.808 <sup>a</sup>	4.708 <sup>c</sup>	4.653 <sup>d</sup>
$b$	4.829		4.691	4.720	4.631
$c$	3.238		3.226	3.144	3.155
$B_0$	173		195	228	204
$B'_0$	5.6		4.6	4.0	8.0
$u$	0.306		0.309		0.330
$v$	0.307		0.305		0.282
$P_T$	11.6		11.6	12.0	12.6
<b><math>\alpha</math>-PbO<sub>2</sub></b>					
$a$	4.785		4.737 <sup>a</sup>	4.707 <sup>c</sup>	4.744 <sup>d</sup>
$b$	5.822		5.746	5.710	5.707
$c$	5.306		5.279	5.246	5.209
$B_0$	172		201	228	208
$B'_0$	4.6		4.7	4.0	4.0
	Sn	O	Sn	O	
$x$	0	0.270	0	0.269	
$y$	0.165	0.393	0.164	0.393	
$z$	0.250	0.422	0.250	0.422	
$P_T$	14.2		16.8	17.0	19.0
<b>Pirit</b>					
$a$	5.167		5.116 <sup>a</sup>	5.066 <sup>c</sup>	4.888 <sup>d</sup>
$B_0$	198		216	293	228
$B'_0$	5.0		4.7	4.0	4.0
$w$	0.339		0.349		0.352
$P_T$	18.7		20.0	17.0	19.0
<b>ZrO<sub>2</sub></b>					
$a$	10.132		10.076 <sup>a</sup>	9.970 <sup>c</sup>	9.304 <sup>e</sup>
$b$	5.233		5.167	5.113	4.893
$c$	5.145		5.076	5.022	4.731
$B_0$	185		212	285	259

**Tablo 4.1 :** (devamı)

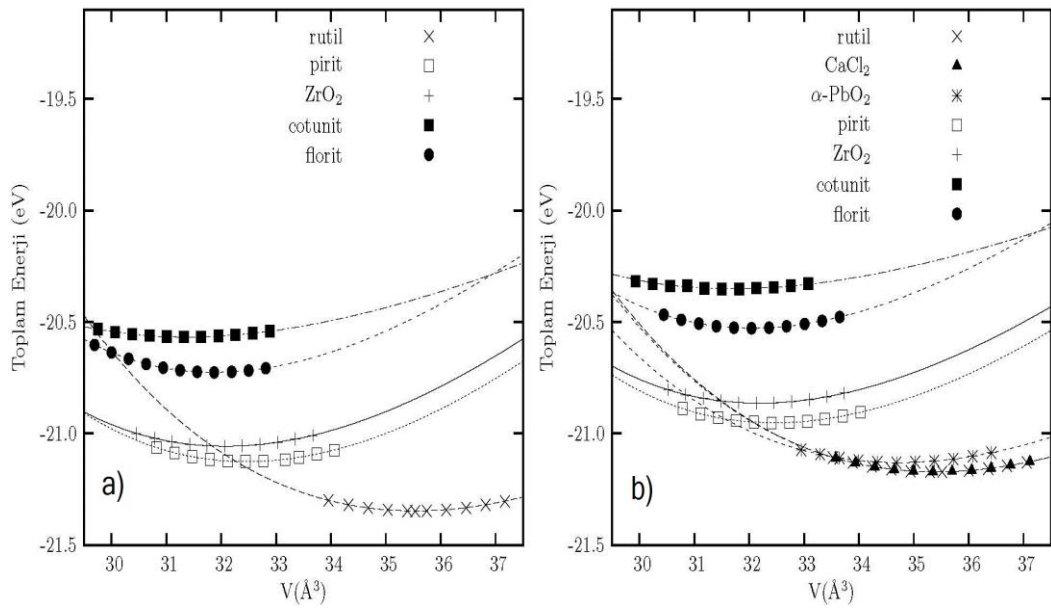
$B'_0$	5.0			5.1	4.0		4.0		
	Sn	O	O	Sn	O	O	Sn	O	O
x	0.882	0.790	0.978	0.882	0.788	0.979	0.890	0.810	0.984
y	0.032	0.370	0.740	0.031	0.376	0.739	0.025	0.400	0.738
z	0.270	0.136	0.504	0.268	0.140	0.501	0.242	0.143	0.469
$P_T$	25.7			41.0	18.0		50.0-74.0		
Cotunit									
$a$	5.313			5.364 <sup>a</sup>	5.326 <sup>c</sup>		5.016 <sup>c</sup>		
$b$	7.300			3.437	3.379		5.904		
$c$	3.536			6.917	6.668		3.028		
$B_0$	93			208	229		417		
$B'_0$	5.0			4.7	4.0		4.0		
	Sn	O	O	Sn	O	O	Sn	O	O
u	0.264	0.381	-0.030	0.261	0.372	0.984	0.254	0.348	0.043
v	0.080	0.387	-0.634	0.250	0.250	0.750	0.114	0.390	0.333
	0.250	0.250	0.750	0.086	0.400	0.354	0.250	0.250	0.750
$P_T$	32.7			68.0	33.0		54.0		
Florit									
$a$	5.132			5.088 <sup>a</sup>	4.993 <sup>c</sup>				
$B_0$	197			204	322				
$B'_0$	4.8			4.5	4.0				
u	0.250			0.25					
$P_T$	19.7			33.0	24.0				

<sup>a</sup>(Hassan ve diğ. 2013), <sup>b</sup>(Duan 2008), <sup>c</sup>(Gracia ve diğ. 2010), <sup>d</sup>(Haines ve Léger 1997), <sup>e</sup>(Shieh ve diğ., 2006).

hesaplamalarında GGA potansiyelleri ile % 1-2 daha büyük, LDA potansiyelleri ile % 1-2 daha küçük hesaplanması olağan bir durumdur. Örgü parametrelerinin büyük elde edilmesinin bir sonucu  $B_0$  hacim modülünün deneysel veriden daha küçük hesaplanmasıdır ki bu çalışmadaki simülasyon değeri deneysel değerden % 6.3 daha küçüktür. Tetragonal rutil yapının ortorombik  $\text{CaCl}_2$  yapıya geçişi küçük bir distorsiyon ile gerçekleştirildiğinden bu faz geçişi yer değiştirme karakterlidir. 11.6 GPa basınçta, koordinasyon sayısının yine altı olduğu  $\text{CaCl}_2$  yapıya faz geçişi olmaktadır. Bu geçişin deneysel olarak hidrostatik basınçta 11.6 GPa ve hidrostatik olmayan şartlarda ise 4.7 GPa basınçta gerçekleştiği bildirilmiştir (Haines ve Léger 1997).  $\text{CaCl}_2$  fazdan 14.6 GPa basınçta anyon koordinasyon sayısının yine altı olduğu yani  $\text{Sn}^{+4}$  iyonunun en yakın komşusu olarak altı tane  $\text{O}^{-2}$  iyonunun bulunduğu  $\alpha\text{-PbO}_2$  yapısına yeniden yapılanma karakterli bir faz geçişi tesbit edilmiştir. Bu fazın hesaplanan örgü parametreleri ve geçiş basıncı deneysel parametrelerle oldukça uyumludur. Elde edilen sonuçlara göre 18.7 GPa basınçta bir

sonraki faz olan pirit yapıya yeniden yapılanma karakterli bir faz geçişi öngörülmüştür ki, bu değer de deneysel olarak gözlenen 19.0 GPa basınç değeriyle uyumludur. Anyon koordinasyon sayısının yedi olduğu kübik pirit fazının hesaplanan örgü parametresi 5.116 Å deneysel olarak ölçülen 4.888 Å değerinden % 4.5 oranında daha büyük hesaplanmış görünmesine rağmen deneysel verinin 28.6 GPa basınçta ölçüldüğü ve DFT hesaplamalarının yapıldığı sıfır basınca ekstrapolasyonunun yapılması durumunda bu farkın oldukça azalacağı söylenebilir (Haines ve Léger 1997). 25.7 GPa basınçta pirit yapıdan sonraki ZrO<sub>2</sub> yapısına yeniden yapılanma karakterli bir faz geçişi vardır ve bu yeni fazda kalay iyonları bu kez yedi adet oksijen iyonu tarafından çevrelenmiştir. Bu fazdan da bir sonraki faz olan cotunit fazına geçişin 32.7 GPa basınçta ve yeniden yapılanma karakterli olduğu ve cotunit fazında anyon koordinasyon sayısının dokuz olduğu sonucuna varılmıştır. Pirit, ZrO<sub>2</sub> ve cotunit yapılarda geçiş basınçlarının, B<sub>0</sub> hacim modüllerinin ve örgü parametrelerinin deneysel değerlerden farklı olması şu şekilde açıklanabilir: Deneysel değerler yüksek sıcaklık ve yüksek basınçlarda ölçülen değerlerdir, halbuki Tablo 4.1' de verilen DFT hesaplamaları 0 K ve sıfır basınç değerleridir. SnO<sub>2</sub> malzemesinin yapısal faz geçişlerinde reaksiyon kinetiğinin oda sıcaklığında az etkili olduğu ama güvenilir verilerin 1000 K ve üzeri sıcaklıklarda alınabileceği deneysel olarak bildirilmiştir (Ono ve diğ. 2000). Bu fazlardan başka anyon koordinasyon sayısının sekiz olduğu florit fazının varlığı önce deneysel olarak (Jiang ve diğ. 2001) sonra da bazı teorik çalışmalarda (Hassan ve diğ. 2013; Gracia ve diğ. 2007; Li ve diğ. 2010) ileri sürülmüş ve faz sıralamasında ZrO<sub>2</sub> fazdan sonra cotunit fazdan önce olması gerektiği bildirilmiştir. Fakat, SnO<sub>2</sub> malzemesi ve yapısal fazları hakkında ulaşılabilen en başarılı iki deneysel çalışmada bu fazın değiştirilmiş florit faz, yani pirit fazı olduğu bildirilmiştir. Fazların E-V (toplam enerji- hacim) davranışı incelendiğinde (bkz. Şekil 3.1), florit fazın enerji olarak cotunit fazdan daha düşük gibi görüldüğü ama entalpi hesabı kullanılarak yapılan faz geçişi hesaplamalarına göre ZrO<sub>2</sub> yapısından cotunit yapıya bir geçişin olduğu elde edilmiştir. Gözlemlendiğine dair deneysel bir verinin olmadığı bu fazın, SnO<sub>2</sub> malzemesinin yapısal bir fazı olamayacağı, olması durumunda ise sıralamadaki yerinin cotunit fazdan önce değil sonra olması gerektiği ve cotunit fazdan florit faza geçişin 19.7 GPa basınçta olması gerektiği sonucuna varılmıştır. Bu fazın yapısal parametreleri Tablo 4.1' de verilmiştir. SnO<sub>2</sub> malzemesi için florit fazın varlığının deneysel çalışmalar ile desteklenmesi gerekmektedir (Erdem<sup>a</sup> ve diğ. 2014).

Yapısal çalışmalar iki farklı potansiyel türü daha kullanılarak tekrarlanmıştır. Bunlardan ilki oksijen atomunun altı  $O(2s^22p^4)$  ve kalay atomunun dört  $Sn(5S^25p^2)$  valans elektronu içerdiği USPP' den LDA olanı, diğeri de  $O(2s^22p^4)$  ve  $Sn(4d^{10}5S^25p^2)$  olan LDA potansiyelleridir (Vanderblit 1990; Perdew ve Zunger 1981; Ceperley ve Alder 1980). Bu tez çalışmasında, Sn atomunun 4 valans elektronlu olduğu potansiyel Sn şeklinde, 14 valans elektronlu olanı ise Sn(d) şeklinde kısaltılarak referans verilecektir. Kalay atomu hiç belirtilmeden veya Sn şeklinde belirtildiği durumlarda oksijen atomu her zaman altı valanslı olup Sn ile uyumlu olan potansiyel tipinde olduğu anlaşılmalıdır. Örneğin PAW (GGA) potansiyellerinin PBE tipi kullanılmıştır denildiğinde dört valans elektronlu Sn ve altı valans elektronlu O potansiyellerinin her ikisi de PAW (GGA) PBE tipinde demektir. US (LDA) potansiyellerinin kalay atomu için Sn ve Sn(d) potansiyellerinin kullanıldığı optimizasyonların E-V ilişkisi sırasıyla Şekil 4.3 a) ve b)' de gösterilmiştir.



**Şekil 4.3:** SnO<sub>2</sub> malzemesinin yapısal fazlarının toplam enerji-hacim ilişkisi. Veriler a) Sn atomunun 4 valans elektronlu olduğu LDA tipi USPP ve b) Sn atomunun 14 valans elektronlu olduğu LDA tipi USPP potansiyelleri ile elde edilmiştir.

Dört valans elektronlu Sn atomu içeren USPP ile yapılan simülasyonlar ve entalpi hesaplamaları sonucunda malzemenin bulunabileceği yapısal fazlar ve aralarındaki faz geçiş basınçları sırasıyla şu şekildedir: Rutil → pirit → ZrO<sub>2</sub> → cotunit, 12.3 GPa, 23.6 GPa ve 36.0 GPa. Bu potansiyelin kullanılması durumunda deneysel

olarak gözlenen ve yapısal parametreleri tesbit edilen  $\text{CaCl}_2$  ve  $\alpha\text{-PbO}_2$  fazları elde edilememiştir. Sadece basınç etkisiyle gerçekleştirilen faz geçişi rutil fazdan direk pirit faza geçiş şeklinde hesaplanmıştır. Bu sonuç, deneysel olarak numune ısıtılmadığı şartlarda gözlenmiş ve rapor edilmiştir (Haines ve Léger 1997). Halbuki,  $\text{CaCl}_2$  ve  $\alpha\text{-PbO}_2$  fazları deneysel olarak gözlenmiş ve yapıları belirlenmiştir. Potansiyellere d elektronlarının da valans elektronu olarak dahil edilmesinin, bağ oluşturmada d elektronlarının rolü olduğu durumlarda, elektronik band aralıklarının daha hassas olarak hesaplanabileceği Liu tarafından bildirilmiştir (Liu 2010). Ayrıca d elektronlarının valans elektronları olarak dahil edilmesiyle yumuşak potansiyellerin bir miktar sertleşeceğini bunun ise yapısal tanımlamalarda hassasiyet sağlayacağı rapor edilmiştir (Hamann 1978).

Kalay için Sn(d) USPP kullanılarak, yapısal çalışmalar tekrar edildiğinde, deneysel olarak gözlenen yapısal faz sıralamasını elde etmek mümkün olmuştur. Her iki LDA tipi USPP (Sn ve Sn(d)) ile elde edilen yapısal parametreler Tablo 4.2' de verilmiştir. Verilerin deneysel sonuçlarla karşılaştırılmasının daha kolay ve anlaşılır olmasını sağlamak amacıyla optimize edilmiş DFT sonuçları deney verilerinin alındığı basınç değerine en yakın olacak şekilde hesaplanarak verilmiştir. Bir fazın verilerinin elde edildiği basınç değeri Basınç (GPa) şeklinde, bir sonraki faza geçişi ise  $P_T$  (GPa) şeklinde ayrı ayrı belirtilmiştir. Normal şartlar altında deyimi ile oda sıcaklığı ve basınç uygulanmadığı durum anlatılmaktadır. Fazların US (LDA) Sn(d) potansiyeli ile hesaplanan örgü parametrelerinin, hacim modüllerinin ve faz geçiş basınçlarının deney sonuçları ile uyumlarının PAW (GGA) Sn potansiyelleri ile hesaplanarlardan daha iyi olduğu görülmüştür. Fakat, pirit,  $\text{ZrO}_2$  ve cotunit yüksek basınçlarına doğru ilerledikçe uyumluluğun azaldığı tesbit edilmiştir. Geçiş basınçlarının daha düşük hesaplanmasının LDA potansiyelinden kaynaklandığı diğer bir çalışma tarafından teyit edilmektedir (Gupta ve diğ. 2013). Pirit,  $\text{ZrO}_2$  ve cotunit fazlarının hacim modüllerinin deneysel değerlerden sapma oranları sırasıyla % 17, % 20 ve % 72' dir. Özellikle, cotunit fazda sapma çok yüksektir. Deneysel çalışmalar dikkatli bir şekilde tekrar incelenmiş ve şu tesbitte bulunulmuştur. Fazlar yüksek sıcaklık ve yüksek basınçta gözlemlenirken yapısal analizleri (refinement) yapılmakta ve deney, basınç ve sıcaklık normal şartlara düşürülerek sonlandırılmaktadır. Isıtma-sıkıştırma ve soğutma-gevşetme şeklinde özetlenebilecek olan bu işlem sırasında ısıtma-sıkıştırma sürecinde ulaşılan yüksek basınç fazları



**Tablo 4.2:** SnO<sub>2</sub> malzemesinin fazlarının hesaplanan yapısal parametreleri  $a$  (Å),  $b$ (Å),  $c$ (Å) ve  $u$ ,  $v$ ,  $w$  iç parametrelerinin,  $B_0$  hacim modülü ve  $B'_0$  hacim modülünün basına göre türevinin deneysel çalışmalar ile karşılaştırılması. Verilerin elde edildiği basınç değeri Basınç (GPa) şeklinde, verilen fazdan bir sonraki faza geçiş basıncı ise  $P_T$  (GPa) şeklinde verilmiştir.

	Bu Çalışma		Deney. <sup>a</sup>	Deney <sup>b</sup>
	LDA(Sn)	LDA (Sn(d))		
<b>rutil</b>				
Basınç (GPa)	0	0	N.Ş.A.	N.Ş.A.
$a$ (Å)	4.726	4.711	4.737	4.746
$c$ (Å)	3.185	3.184	3.186	3.189
$u$	0.306	0.306	0.307	
$B_0$ (GPa)	200	192	205	
$B'_0$	4	4	7	
$P_T$ (GPa)	12.3	7.2	11.8	13.6
<b>CaCl<sub>2</sub></b>				
Basınç		12.6	12.6	13.6
$a$ (Å)		4.607	4.653	4.678
$b$ (Å)		4.601	4.631	4.536
$c$ (Å)		3.149	3.155	3.144
$u$		0.306	0.330	
$v$		0.304	0.282	
$B_0$ (GPa)		192	204	
$B'_0$		4	8	
$P_T$ (GPa)		9.6	12.6	28.8
<b><math>\alpha</math>-PbO<sub>2</sub></b>				
Basınç (GPa)		0	N.Ş.A.	
$a$ (Å)		4.693	4.744	
$b$ (Å)		5.686	5.707	
$c$		5.199	5.209	
		<u>Sn</u>	<u>O</u>	
$u$		0.000	0.270	
$v$		0.167	0.394	
$w$		0.250	0.422	
$B_0$ (GPa)		186	208	
$B'_0$		4	4	
$P_T$ (GPa)		14.2	21.0	
<b>Pirit</b>				
Basınç (GPa)	27.3	28.6	25.0	28.8
$a$ (Å)	4.901	4.886	4.936	4.905
$w$	0.344	0.344	0.353	
$B_0$ (GPa)	226	217	261	
$B'_0$	3	4	7	

**Tablo 4.2 :** (devamı)

ZrO <sub>2</sub>							
Basınç (GPa)	60.9	62.8			64		
a (Å)	9.195	9.177			9.304		
b (Å)	4.877	4.872			4.893		
c (Å)	4.683	4.675			4.731		
		<u>Sn</u>	<u>O(1)</u>	<u>O(2)</u>	<u>Sn</u>	<u>O(1)</u>	<u>O(2)</u>
u		0.884	0.803	0.970	0.891	0.810	0.984
v		0.034	0.396	0.734	0.025	0.400	0.738
w		0.269	0.176	0.495	0.242	0.143	0.469
B <sub>0</sub> (GPa)	211	206			259		
B <sub>0</sub>	3	4			4		
P <sub>T</sub> (GPa)	36.0	43.5			74.0		
Cotunite							
Basınç (GPa)	115.1	116.6			117.0		
a (Å)	5.037	5.020			5.016		
b (Å)	3.023	3.027			3.028		
c (Å)	5.889	5.902			5.904		
		<u>Sn</u>	<u>O(1)</u>	<u>O(2)</u>	<u>Sn</u>	<u>O(1)</u>	<u>O(2)</u>
u		0.251	0.354	0.023	0.255	0.348	0.043
v		0.250	0.250	0.750	0.250	0.250	0.750
w		0.118	0.430	0.332	0.114	0.390	0.333
B <sub>0</sub> (GPa)	120	117			417		
B <sub>0</sub>	4	4			4		

<sup>a</sup>(Haines ve Léger, 1997), <sup>b</sup>(Shieh ve diğ., 2006).

soğutma-gevşetme sürecinde görülemez olmakta yani ısıtma-sıkıştırma süreci sıralamasındaki kendilerinden önceki fazlara geriye dönüşebilmektedir. Bu tür fazların normal şartlar için yapısal parametreleri belirlenmek istendiğinde ekstrapolasyon yapılmaktadır. Sapmanın bir kısmının buradan kaynaklanabileceği ihtimal dahilindedir. Fakat, asıl nedeni ise DFT optimizasyon yöntemi olabilir. Standart DFT optimizasyonlarında deneysel bir veri alınır ve optimizasyonlar ön görülen denge hacmi civarında  $\pm$  % 5 oranları aralığında % 1' lik basamak adımları ile yapılır. Hesaplanan veriler durum denklemlerine fit edilir. Bu yöntem deney şartlarını bire bir yansıtmamaktadır. Örneğin hacim + % 5 şeklinde genişletildiğinde basınç negatif değerlere ulaşabilmektedir. Bu tez çalışmasında, şöyle bir yöntem düşünülmüş ve uygulaması gerçekleştirilmiştir. Deneysel çalışmada cotunit yapının en düşük 54.0 GPa basınçta gözlenebildiği bildirilmiştir (Shieh ve diğ. 2006). Bu tez çalışmasında yapılan standart optimizasyonlar sonucunda hacim modülü 117.0 GPa olarak hesaplanmıştır. Cotunit yapı optimizasyonu 53.0 GPa ve üzeri basınç

değerlerini kapsayacak şekilde tekrar yapıldığında  $B_0$  değerinin 369.0 GPa olduğu hesaplanmıştır ki, bu değer deneysel olarak bildirilen 417.0 GPa değeriyle daha uyumludur. Geçiş basınçlarının düşük hesaplanmasının da aynı nedenden kaynaklanabileceği düşünülmektedir. Deneysel olarak gözlenmemiş olan florit yapının optimizasyonları Sn ve Sn(d) potansiyelleri kullanılarak elde edilmiş ve teorik olarak sıralamada cotunit fazından önce değil, daha sonra yer alabileceği sonucuna varılmıştır. Yapısal optimizasyonlar ile ilgili daha ayrıntılı bilgiler, uluslararası bir dergide yayınlanan çalışmamızda verilmiştir (Erdem ve diğ. 2015).

#### 4.1.1 Mekanik Özellikler

SnO<sub>2</sub> malzemesinin yapısal fazlarından kübik yapıda üç, tetragonal yapıda altı ve ortorombik yapılarda dokuz tane bağımsız elastik sabiti vardır. PAW (GGA) potansiyellerinin PBE tipi kullanılarak rutil (tetragonal) yapının elastik sabitleri hesaplanırken  $T_1$ ,  $T_2$ ,  $T_3$ ,  $T_4$  ve  $T_5$  zorlanmalarının (bkz. Tablo 3.2) uygulanması ve elde edilen sonuçların karşılık gelen enerji yoğunluklarına eşitlenmesi ile beş tane denklem elde edilir.  $T_6$  zorlanmasının ise uygulanmadan hesaplanan hacim modülü (bkz. Denklem 3.24)  $\frac{1}{9}(2C_{11}+2C_{12}+4C_{13}+C_{33})$  denklemine eşitlenerek altıncı denklem elde edilir. Böylece bilinmeyen altı elastik sabiti için altı denklem içeren bir denklem sistemi elde edilir. Bu denklem sistemi çözüldüğünde elastik sabitleri hesaplanmış olur. Sıfır basınç için hesaplanan elastik sabitlerinin deneysel çalışmalar ile karşılaştırılması ve rutil yapıdan CaCl<sub>2</sub> yapıya faz geçişinin 11.6 GPa basınçta olduğu göz önünde bulundurularak bu elastik sabitlerinin 10.0 GPa değerine kadar basınçla değişimleri Tablo 4.3' te verilmiştir (Erdem<sup>b</sup> ve diğ. 2014). Teorik olarak hesaplanan elastik sabitlerinin deneysel olarak ölçülenlerden sapması % 13-26 aralığında değişmektedir.  $C_{44}$  kesme modülü basınç ile değişmemiştir, diğer beş elastik sabiti ve hacim modülü basınç artırıldıkça lineer olarak artmaktadırlar. Tetragonal yapının hesaplanan elastik sabitleri mekanik kararlılık şartlarını (bkz. Denklem 3.28) sağladığı için bu yapı kararlıdır.

Ortorombik fazların elastik sabitlerini hesaplamak için zorlanmalar ve karşılık gelen enerji yoğunlukları (bkz. Tablo 3.2) kullanılmıştır. Kübik pirit fazında ise  $C_1$  zorlanması uygulanmamış  $B_0$  hacim modülü hesaplanmış (bkz. Denklem 3.24)

**Tablo 4.3:** SnO<sub>2</sub> rutil yapının 0 GPa basınçta hesaplanan elastik sabitlerinin deneysel sonuçlarla karşılaştırılması ve elastik sabitlerinin basınç ile değişimleri.

	Basınç	C <sub>11</sub>	C <sub>12</sub>	C <sub>13</sub>	C <sub>33</sub>	C <sub>44</sub>	C <sub>66</sub>	B <sub>0</sub>
Bu çalışma	0	199.2	131.0	126.9	389.0	86.3	180.7	173.0
Bu çalışma	2.5	222.9	146.7	127.5	398.4	88.7	188.0	183.7
Bu çalışma	5.0	220.7	162.2	145.8	419.5	91.1	196.3	196.5
Bu çalışma	7.5	230.4	181.2	156.0	436.4	92.6	204.0	209.3
Bu çalışma	10.0	239.4	203.6	168.0	450.0	95.5	210.7	223.1
Deney <sup>a</sup>	0	261.7	177.2	155.5	449.6	103.1	207.4	
Deney <sup>b</sup>	0	268.4	173.4			109.2	207.3	

<sup>a</sup>(Chang ve Graham 1975), <sup>b</sup>(Hellwig ve diğ. 2003)

ve sonuç  $\frac{1}{3}(C_{11} + 2C_{12})$  hacim modülü ifadesine eşitlenerek bir denklem elde edilmiştir. Diğer zorlanmalar olan C<sub>2</sub> ve C<sub>3</sub> sisteme uygulanıp, elde edilen sonuçların karşılık gelen enerji yoğunluklarına eşitlenmesiyle denklem sistemi oluşturulup çözümlenerek elastik sabitleri hesaplanmıştır. Kübik yapılar için, C<sub>2</sub> ve C<sub>3</sub> deformasyon matrisleri hacmin sabit tutulduğu zorlanmalardır. Tetragonal yapılar için kullanılan zorlanmalardan T<sub>3</sub> ve T<sub>6</sub> hariç diğerleri, volumetrik zorlanmalardır. Ortorombik yapılarda uygulanan dokuz zorlanmadan O<sub>1</sub>, O<sub>2</sub> ve O<sub>3</sub> hariç, diğer altısı hacmin sabit tutulduğu zorlanmalardır. Rutil fazdan sonraki fazların (deneysel olarak gözlenme sıralamasına göre) elastik sabitleri PAW (GGA) potansiyellerinin PBE tipi kullanılarak ilk kez hesaplanmış ve literatüre kazandırılmıştır (Erdem<sup>a</sup> ve diğ. 2014). CaCl<sub>2</sub> fazının elastik sabitlerinin basınç ile değişimleri 10.0 GPa basınca ve α-PbO<sub>2</sub> fazının elastik sabitleri de 18.0 GPa basınca kadar hesaplanmıştır. Kübik pirit fazında 23.5 GPa, ortorombik ZrO<sub>2</sub> fazında 30.0 GPa ve ortorombik cotunit fazında 20.0 GPa basınca kadar elastik sabitlerinin basınç ile değişimleri hesaplanmış ve topluca Tablo 4.4' te gösterilmiştir. CaCl<sub>2</sub> fazının elastik sabitlerinden C<sub>11</sub> önce 5.0 GPa basınca kadar artmakta sonra da azalmaktadır. C<sub>12</sub>, C<sub>13</sub>, C<sub>23</sub>, C<sub>22</sub> ve C<sub>33</sub> sabitleri basınç artırıldıkça artmaktadır. C<sub>44</sub>, C<sub>55</sub> ve C<sub>66</sub> kesme modülleri ise sırasıyla % 10, %10 ve % 16 gibi küçük oranlarda artmaktadır. α-PbO<sub>2</sub> fazında ise C<sub>44</sub>, C<sub>55</sub> ve C<sub>66</sub> kesme modülleri dışındaki elastik sabitleri basınç ile lineer olarak artmaktadır. C<sub>44</sub> değişmezken, C<sub>55</sub> ve C<sub>66</sub> kesme modülleri % 9 gibi çok küçük bir oranda artış göstermektedir. CaCl<sub>2</sub> ve α-PbO<sub>2</sub> fazlarının elastik sabitleri kararlılık kriterlerini (bkz. Denklem 3.29) sağladıkları için mekanik olarak kararlıdır. Pirit fazının elastik sabitleri C<sub>11</sub>, C<sub>12</sub> ve C<sub>44</sub> basınç ile % 30, % 62 ve % 26 oranlarında artmaktadır ve kararlılık kriterlerini (bkz. Denklem 3.27) sağladıklarından pirit fazı mekanik olarak

kararlıdır. ZrO<sub>2</sub> fazının elastik sabitlerinin tamamı basınç ile artmaktadır. En düşük artış oranı % 31 ile C<sub>11</sub>' de görülürken en büyük artış % 103 ile C<sub>23</sub> sabitinde görülmüştür. Bu fazın elastik sabitleri de kriterleri sağladıkları için mekanik olarak kararlıdır. Ortorombik cotunit fazının elastik sabitlerinin hepsi de basınç ile artmakta ve mekanik kararlılık kriterlerini sağlamaktadır. Tablo 4.4' te görüldüğü gibi C<sub>55</sub> ve

**Tablo 4.4:** SnO<sub>2</sub> malzemesinin yapısal fazlarının C<sub>ij</sub> (GPa) elastik sabitlerinin basınç altında değişimleri, Basınç değerleri GPa biriminde verilmiştir.

CaCl <sub>2</sub> faz									
Basınç	C <sub>11</sub>	C <sub>12</sub>	C <sub>13</sub>	C <sub>22</sub>	C <sub>23</sub>	C <sub>33</sub>	C <sub>44</sub>	C <sub>55</sub>	C <sub>66</sub>
0	215.1	147.2	133.1	215.4	134.6	388.6	86.5	86.3	181.0
5	237.7	179.5	150.0	237.4	152.8	418.4	91.2	88.6	196.3
10	225.0	214.4	161.2	281.8	189.5	448.4	95.5	95.3	210.4
$\alpha$ -PbO <sub>2</sub> faz									
Basınç	C <sub>11</sub>	C <sub>12</sub>	C <sub>13</sub>	C <sub>22</sub>	C <sub>23</sub>	C <sub>33</sub>	C <sub>44</sub>	C <sub>55</sub>	C <sub>66</sub>
0	241.6	154.2	121.1	256.9	83.5	257.1	74.8	92.5	111.7
5	266.2	167.2	163.3	276.9	71.3	320.3	76.4	96.3	116.1
10	292.4	190.8	185.4	293.2	126.7	342.3	76.5	99.3	119.5
15	316.5	211.0	204.7	302.7	133.7	360.9	74.8	101.3	121.2
18	333.5	253.5	217.5	307.2	137.2	373.4	73.0	101.9	121.1
Pirit faz									
Basınç	B <sub>0</sub>	C <sub>11</sub>	C <sub>12</sub>	C <sub>44</sub>					
0	199.2	327.2	135.2	104.8					
5	220.6	353.2	154.3	111.0					
10	240.0	390.4	164.7	113.9					
15	258.6	395.9	190.0	123.4					
23.5	288.8	427.6	219.5	131.9					
ZrO <sub>2</sub> faz									
Basınç	C <sub>11</sub>	C <sub>12</sub>	C <sub>13</sub>	C <sub>22</sub>	C <sub>23</sub>	C <sub>33</sub>	C <sub>44</sub>	C <sub>55</sub>	C <sub>66</sub>
0	329.7	164.2	135.5	353.0	127.2	346.6	61.0	82.0	75.5
10	374.1	228.6	185.7	424.1	185.4	402.8	80.4	96.8	97.6
20	404.5	265.7	225.9	479.6	232.5	441.6	95.5	96.7	115.6
30	432.5	294.8	263.0	495.9	258.3	473.3	108.3	120.0	132.0
Cotunit faz									
Basınç	C <sub>11</sub>	C <sub>12</sub>	C <sub>13</sub>	C <sub>22</sub>	C <sub>23</sub>	C <sub>33</sub>	C <sub>44</sub>	C <sub>55</sub>	C <sub>66</sub>
0	264.8	129.6	174.8	116.6	99.3	114.7	89.1	16.1	22.9
10	397.2	221.4	261.5	166.3	162.4	261.7	112.9	78.0	29.2
20	467.2	292.2	336.8	230.4	218.4	325.2	106.8	112.3	40.1

$C_{66}$  kesme modülleri sıfır basınç ve 0 K için oldukça küçük değerler vermektedir. Bu da cotunit yapının standart DFT yöntemiyle optimizasyonu yapılırken karşılaşılan güçlüğü'nü nedenini açıklamaktadır. Cotunit fazı yüksek basınç ve yüksek sıcaklık fazı olduğu için optimizasyonunun en azından deneysel olarak gözlemlendiği en düşük basınç ve üzeri basınçları kapsayacak şekilde yapılması gerekir. Bu durum hacim modülünün yeniden hesaplanması ile gösterilmiştir. Yapısal parametrelerin ve benzer şekilde elastik sabitlerinin de deneysel olarak gözlenen basınç ve üzeri basınçlarda hesaplanması durumunda, deneysel sonuçlar ile daha uyumlu olacağı beklenmelidir. Rutil sonrası yüksek basınç fazlarının elastik sabitleri ve bunların basınç ile değişimleri, literatürde henüz deneysel bir çalışma bulunamadığı için deneysel sonuçlar ile karşılaştırılamamıştır.

Elastik sabitlerinin hesaplanmasında farklı potansiyel kullanmanın etkisi araştırılmıştır. Bu tez çalışmasında kullanılan <sup>a</sup>PAW (GGA) potansiyellerinin PBE tipi, US (LDA) potansiyellerinden <sup>b,c</sup>Sn kullanılarak iki farklı şekilde ve <sup>d</sup>Sn(d) potansiyelleri ile elastik sabitleri hesaplanmıştır. Hesaplanan elastik sabitleri deneysel sonuçlar ve LDA potansiyelinin kullanıldığı diğer teorik sonuçlar ile karşılaştırmak amacıyla Tablo 4.5' te verilmiştir. Potansiyellerin <sup>b</sup>US (LDA) seçilmesi ve  $B_0$  hacim modülünün Birch-Murnaghan durum denklemi fitinden (bkz. Tablo 4.2) alınması sonucunda hesaplanan elastik sabitlerinin deney sonuçları ile uyumları şu şekildedir: Deneysel sonuçtan sapma oranı  $C_{11}$  için % 9.8,  $C_{13}$  için % 8.8 iken diğer elastik sabitlerinde bu oran % 6' dan daha küçüktür.  $B_0$  hacim modülünün  $T_6$  zorlanması ile hesaplanan değerinin kullanıldığı (bkz. Tablo 3.2) <sup>c</sup>US (LDA) hesaplamalarından elde edilen elastik sabitleri deney sonuçları ile en uyumlu olanlardır.  $C_{11}$  sabitindeki sapma oranı % 6' ya,  $C_{13}$  sabitindeki % 5.6' ya düşmüş diğerlerinde ise oran değişmemiş % 6' nın altında kalmıştır.  $B_0$  hacim modülündeki sapma % 5.8' den % 2.7'ye inmiştir. Tablo 4.5' te görüldüğü gibi  $B_0$  hacim modülünün BM durum denklemlerine fit edilmesinden alındığı (bkz. Tablo 4.2) <sup>d</sup>US (LDA) Sn(d) potansiyelleri sonuçlarının (bkz. Tablo 4.1) <sup>a</sup>PAW (GGA) potansiyelleri PBE tipi ile elde edilen sonuçlardan daha başarılı olmasına rağmen, <sup>c</sup>US (LDA) potansiyeli ve  $B_0$ ' ın  $T_6$  zorundan hesaplanarak alındığı sonuçlardaki kadar deney sonuçları ile uyumluluğa ulaşamamıştır. Başarı sıralaması en uyumlu olandan başladığında <sup>c</sup>US (LDA) ve  $B_0$  ( $T_6$  ile) Sn, <sup>b</sup>US (LDA) ve  $B_0$  (BM fit) Sn, <sup>d</sup>US (LDA) ve  $B_0$  (BM fit) Sn(d) ve <sup>a</sup>PAW (GGA) PBE tipi ve  $B_0$  (BM fit)

şeklinde. SnO<sub>2</sub> malzemesi için elde edilen bu sıralamanın farklı malzemelerde de aynı sonuçları verdiğini göstermektedir.

**Tablo 4.5:** SnO<sub>2</sub> rutil yapının elastik sabitlerinin farklı potansiyeller ile hesaplanması ve sonuçların deneysel ve LDA potansiyelinin kullanıldığı teorik çalışmalar ile karşılaştırılması, elastik sabitleri GPa birimindedir.

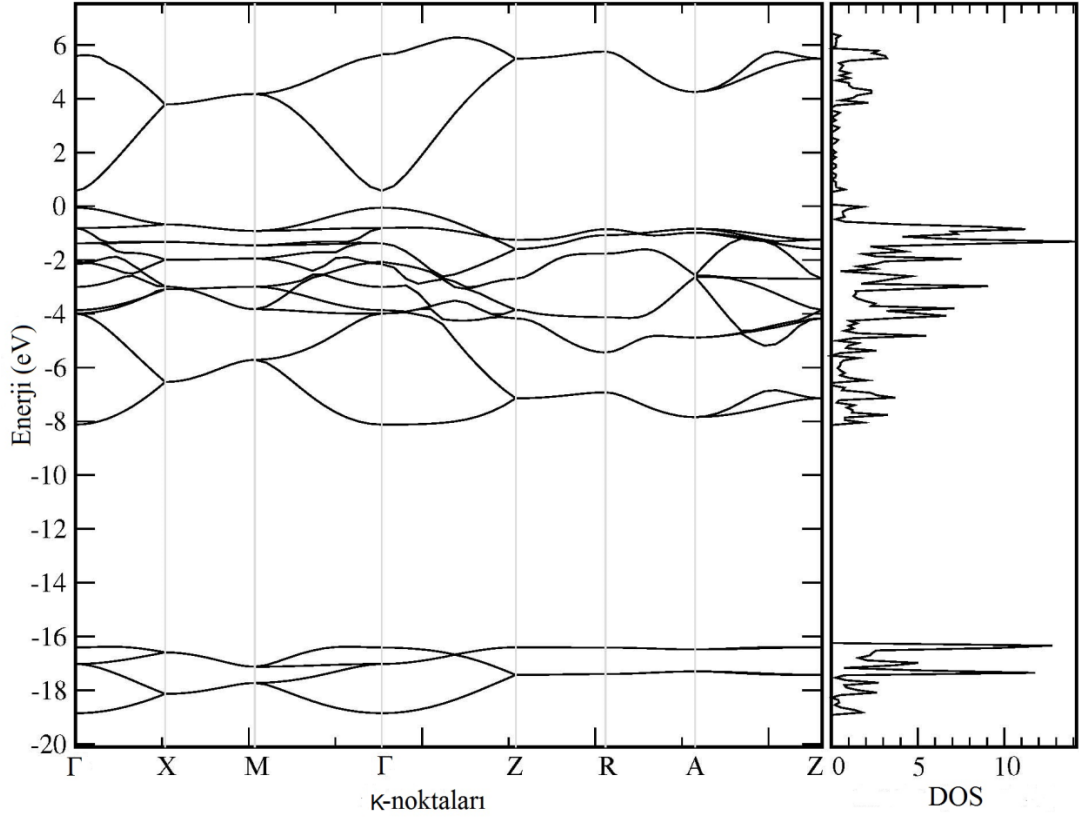
Referans	C <sub>11</sub>	C <sub>12</sub>	C <sub>13</sub>	C <sub>33</sub>	C <sub>44</sub>	C <sub>66</sub>	B <sub>0</sub>
Bu çalışma <sup>a</sup>	199.2	131.0	126.9	389.0	86.3	180.7	173.0
Bu çalışma <sup>b</sup>	236.1	168.3	141.8	424.0	98.6	198.0	200.0
Bu çalışma <sup>c</sup>	245.9	178.0	146.7	424.0	98.6	198.0	206.5
Bu çalışma <sup>d</sup>	231.2	157.8	133.1	417.6	98.9	198.6	192.0
Deney <sup>e</sup>	261.7	177.2	155.5	449.6	103.1	207.4	212.3
Deney <sup>f</sup>	268.4	173.4			109.2	207.3	
Teori <sup>g</sup>	274.3	180.9	149.8	412.5	94.3	202.9	211.7
Teori <sup>h</sup>	261.3	180.3	149.9	472.1	108.5	223.7	212.6

<sup>a</sup>(PAW (GGA)-PBE Sn ve B<sub>0</sub> (BM fit)), <sup>b</sup>(US (LDA)) Sn ve B<sub>0</sub> (BM fit), <sup>c</sup>(US (LDA) Sn ve B<sub>0</sub> (T<sub>6</sub>)), <sup>d</sup>(US (LDA) Sn(d) ve B<sub>0</sub> (BM fit)), <sup>e</sup>(Chang ve Graham 1975), <sup>f</sup>(Hellwig ve diğ. 2003), <sup>g</sup>(Saniz ve diğ. 2010), <sup>h</sup>(Liu ve diğ. 2011).

<sup>c</sup>US (LDA) ve B<sub>0</sub> (T<sub>6</sub> ile) Sn sonuçlarının diğer teorik çalışmalar ile uyumlu oldukları Tablo 4.5’ te görülmektedir. DFT hesaplamalarından elde edilen sonuçların deneysel sonuçlarla bu denli uyumlu elde edilmesi DFT’ nin tartışma götürmez başarılarından bir tanesidir.

## 4.2 Elektronik Band Aralığı

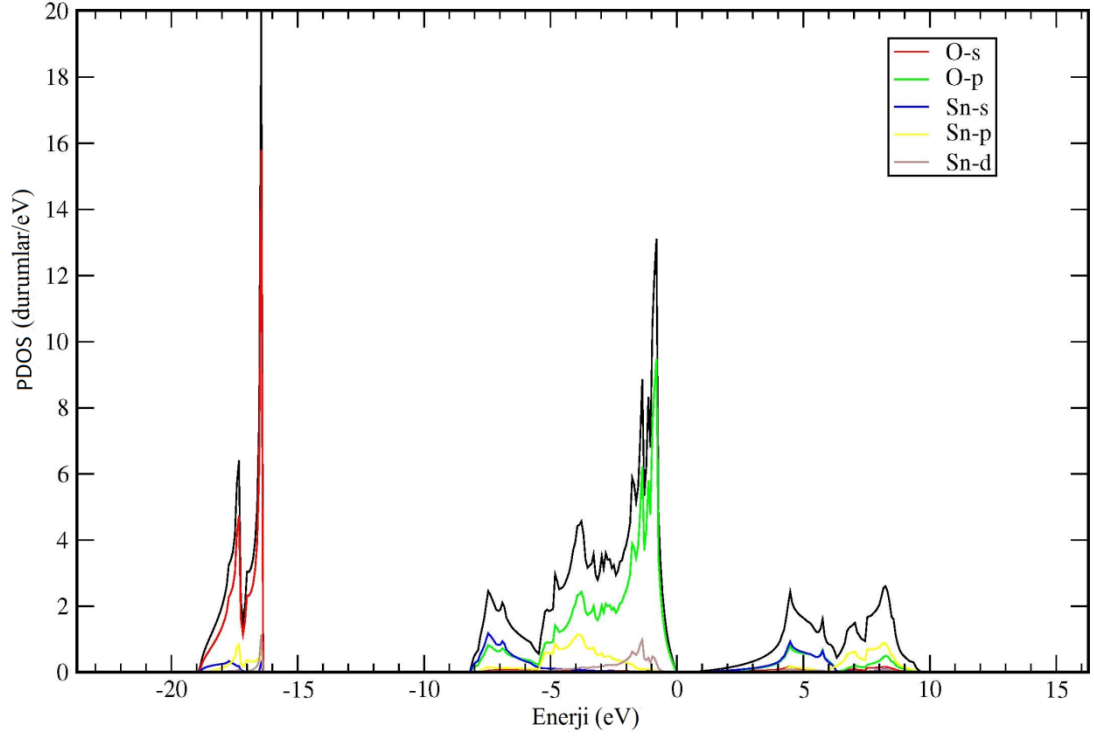
SnO<sub>2</sub> malzemesinin Eg enerji band aralığı ve durumlar yoğunluğu (DOS) ile valans ve iletim bandına katkılar (PDOS), PAW (GGA) potansiyellerinin PBE tipi kullanılarak hesaplanmış ve sırasıyla Şekil 4.4 ve Şekil 4.5’ te gösterilmiştir. E<sub>f</sub> Fermi enerji seviyesi enerji ekseninde sıfıra çekilecek şekilde ayarlanmıştır. Şekil 4.4’ te görüldüğü gibi DOS valans bandında yoğunlaşmıştır. Valans bandına ve iletim bandına katkılarının geldiği durumlar (PDOS) Şekil 4.5’ te daha ayrıntılı olarak gösterilmiştir. Valans bandının en üst seviyesine katkılarının ağırlıklı olarak O 2p durumlarından olmak üzere O 2p, Sn 5p durumlarından geldiği iletim bandının en alt seviyesini ise ağırlıklı olarak Sn 5s ve 5P durumlarının ve az miktarda da O 2p



**Şekil 4.4:** SnO<sub>2</sub> yarı iletken malzemesinin PAW (GGA) potansiyellerinin PBE tipi kullanılarak hesaplanan band aralığı değeri 0.63 eV olup  $\Gamma$  noktasında direk band aralığıdır.

durumlarının oluşturduğu belirlenmiştir. Enerji band aralığı US (LDA) potansiyeli kullanılarak da hesaplanmış ve 1.30 eV değeri elde edilmiştir. Hesaplanan  $E_g$  band aralık enerjileri Tablo 4.6' da elde edilebilen deneysel ve teorik çalışmaların sonuçları ile karşılaştırmıştır. PAW (GGA) potansiyelleri ile hesaplanan band aralığı enerjisi 0.63 eV ve US (LDA) potansiyeli ile hesaplanan değer 1.30 eV benzerleri potansiyellerin kullanıldığı teorik çalışmalar ile oldukça uyumlu olmalarına rağmen deneysel değerden (3.6 eV) küçük sonuçlar elde edilmiştir (Erdem<sup>b</sup> ve diğ. 2014). Aslında bu GGA ve LDA fonksiyonelleri içeren potansiyellerin kullanıldığı DFT hesaplarının genel bir sorunudur. Bu farklılığın nedeni ise tam değiş-tokuş ve korelasyon potansiyeli elektron sayılarının sürekli bir fonksiyonudur ve Exc enerjisinin yoğunluğa göre türevinin dolu kabuklarda süreksizlik göstermesi beklenmektedir. Halbuki LDA ve GGA fonksiyonellerinin içerdiği değiş-tokuş ve korelasyon potansiyellerinde tam sayı tercihi gibi bir sınırlama yoktur ve bu da  $E_g$  band aralığı hesabının düşük hesaplanmasına neden olmaktadır (Perdew ve Norman 1982; Perdew ve Levi 1983). Bu sorunu çözmek amacıyla yapılan çalışmalardan





**Şekil 4.5:** SnO<sub>2</sub> malzemesinin PAW (GGA) potansiyelinin PBE tipi kullanılarak hesaplanan detaylı durumlar yoğunluğu (PDOS).

birisi sadece enerji band aralığı hesaplamalarında kullanılan mBJ (modified Becke-Johnson) potansiyellerini geliştirmek olmuştur (Becke ve Johnson 2006). Fakat bu

**Tablo 4.6:** SnO<sub>2</sub> malzemesinin hesaplanan band aralığı enerjisinin deneysel ve teorik çalışmalar ile karşılaştırılması.

	E <sub>g</sub> band aralığı enerjisi (eV) $\Gamma$ noktasında (direk)		
Deney	3.6 <sup>a</sup>	3.59 <sup>b</sup>	
Bu çalışma PAW (GGA) PBE	0.63		
Bu çalışma US (LDA)	1.30		
GGA(PBE)	0.83 <sup>c</sup>	0.65 <sup>d</sup>	0.69 <sup>e</sup>
LDA	1.38 <sup>f</sup>	1.80 <sup>g</sup>	1.21 <sup>h</sup>
mBJ	2.76 <sup>c</sup>		
GW	3.85 <sup>g</sup>		
HSE03+ G <sub>0</sub> W <sub>0</sub>	3.65 <sup>i</sup>		
TDDFT			

<sup>a</sup>(Fröhlich ve diğ. 1978), <sup>b</sup>(Schweitzer ve diğ. 1999), <sup>c</sup>(Hassan ve diğ. 2013), <sup>d</sup>(Borges ve diğ. 2010), <sup>e</sup>(Duan 2008), <sup>f</sup>(Li ve diğ. 2010), <sup>g</sup>(Saniz ve diğ. 2010), <sup>h</sup>(Liu ve diğ. 2011), <sup>i</sup>(Schleife ve diğ. 2011).

potansiyel ile yapılan hesaplamada 2.7 eV deęeri ile deneysel deęerden küçük kalmaktadır. Bir başka çözüml de deęiş-tokuş ve korelasyon potansiyelini oluştururken deęiş-tokuş kısmının tam olarak hesaplandığı HF teorisinden almak ve LDA veya GGA fonksiyoneli ile karıştıarak B3LYP veya HSE tipinde hibrit fonksiyoneller kullanmaktır. Fakat bu fonksiyonellerin taşınabilirliği yani dięer fiziksel özelliklerin hesabına etkisi tartışmaya açıktır. *Ab initio* hesaplamalarının tutarlılığı adına atılacak en güzel adım enerji band aralığı ve optik özellikleri hesaplamak için geliştirilen ve uyarılmış durumların hesaplandığı GW veya TDDFT hesaplamaları yapmaktır. Fakat hesaplamalar yüksek işlemci hızı ve depolama alanı gerektirdiğinden günümüz teknolojileri ile gerçekleştirilmeleri şimdilik zor olmaktadır. Teknolojik gelişmeler bu hızla sürdürülebilirse yakın gelecekte bu hesaplamaların yaygınlaşması beklenebilir. Tablo 4.6' da görüldüğü gibi SnO<sub>2</sub> malzemesinin GW hesabı ile belirlenen enerji band aralığı 3.85 eV ve HSE03 + G<sub>0</sub>W<sub>0</sub> ile hesaplanan deęeri 3.65 eV' tur (Saniz ve dię. 2010; Schleife ve dię. 2011).

### 4.3 Örgü Dinamięi Özellikleri

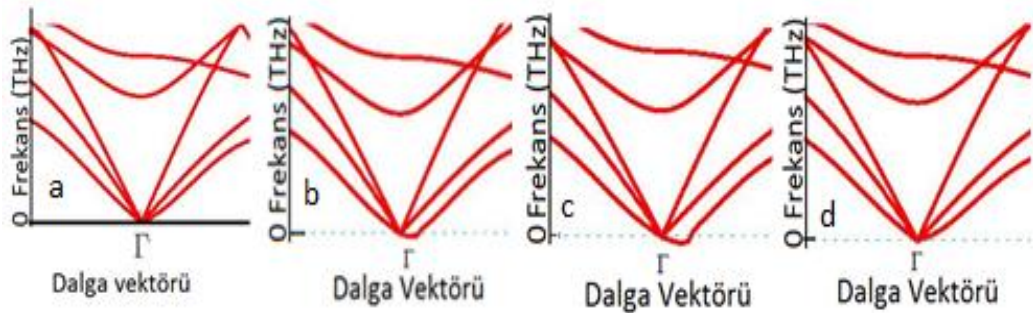
Örgü dinamięi hesaplamaları PAW (GGA) potansiyellerinin PBE tipi Sn ve LDA tipi Sn, US (LDA) Sn ve US (LDA) Sn(d) olmak üzere dört farklı potansiyel kullanılarak yapılmıştır ve  $\Gamma$  dalga vektörü için frekans deęerleri (THz) Tablo 4.7' de deneysel çalışma ile birlikte verilmiştir. SnO<sub>2</sub> rutil yapı birim hücresinde altı atom olduđu için üç tanesi akustik on beş tanesi optik olmak üzere toplam on sekiz mod frekansı vardır. Sadece optik frekanslar dikkate alındığında 4 valans elektronlu PAW (LDA) potansiyeli ve US (LDA) potansiyeli ile elde edilen sonuçlar deney sonuçları ile daha uyumlu görünmektedirler. Fakat akustik frekansların  $\Gamma(0,0,0)$  BB merkezi civarında davranışları incelendiğinde PAW (GGA) potansiyeli PBE tipinin dört valans elektronlu Sn ve US (LDA) potansiyellerinin on dört valanslı Sn(d) hesaplamalarından elde edilen sonuçların termodinamik olarak daha kararlı oldukları görülmektedir. Bu durum Şekil 4.6' da gösterilmiştir. Frekansların tamamı dikkate alındığında yapıyı daha kararlı gösteren PAW (GGA) potansiyellerinin PBE tipi Sn ve US (LDA) Sn(d) sonuçları deney sonuçlarıyla karşılaştırılmıştır. US (LDA) Sn(d) potansiyelleri sonuçlarının dięerine göre daha uyumlu olduđu görülmüş

**Tablo 4.7:** SnO<sub>2</sub> malzemesinin  $\Gamma$  noktasında farklı potansiyeller kullanılarak hesaplanan titreşim frekanslarının deneysel sonuç ile karşılaştırılması.

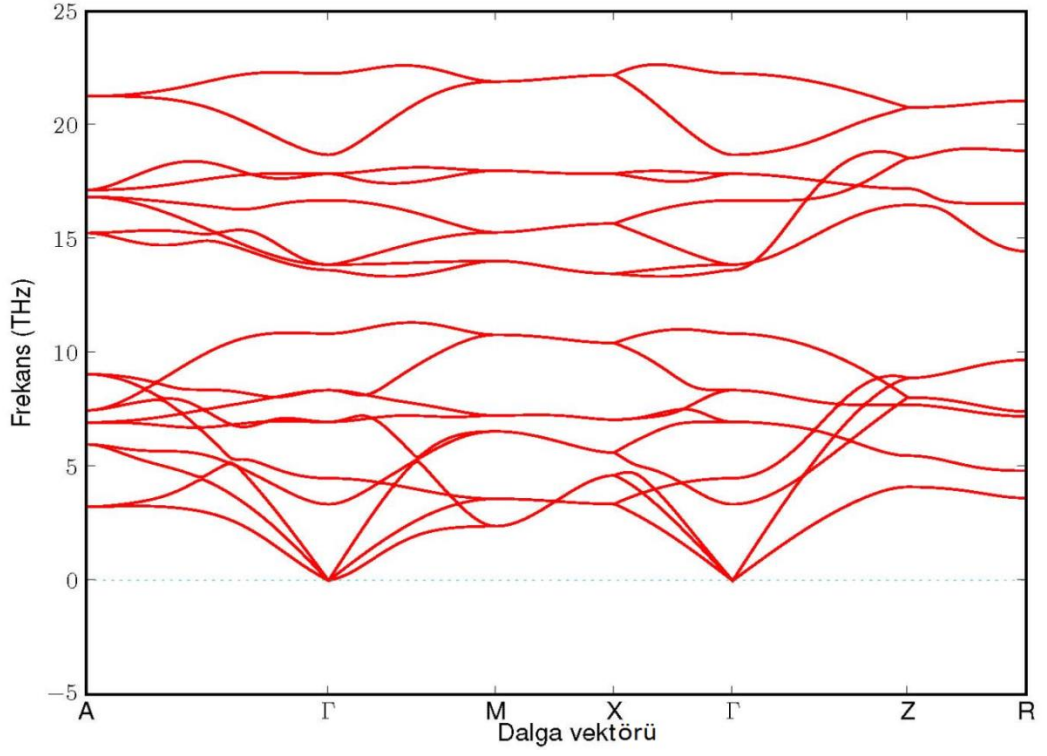
Frekans (THz)	Deneysel <sup>a</sup>	PAW (GGA)	PAW (LDA)	US (LDA)	US (LDA)
		PBE Sn	Sn	Sn	Sn(d)
1	0.00	0.00	0.00	0.00	0.00
2	0.00	0.00	0.00	0.00	0.00
3	0.00	0.00	0.00	0.00	0.00
4	3.00	3.23	2.96	2.99	3.36
5	4.20	4.27	4.39	4.41	4.50
6	7.31	6.60	6.60	6.78	6.97
7	8.27	6.60	6.60	6.78	6.97
8	8.78	7.94	8.50	8.40	8.36
9	10.97	7.94	8.50	8.40	8.36
10	11.93	10.21	10.40	10.59	10.85
11	14.27	13.16	13.96	13.85	13.64
12	14.30	13.39	14.18	14.21	13.88
13	15.14	13.39	14.18	14.21	13.88
14	18.53	16.00	16.84	16.88	16.70
15	19.13	16.74	18.02	17.98	17.87
16	21.13	16.74	18.02	17.98	17.87
17	23.08	17.84	18.98	19.00	18.70
18	23.44	21.59	22.95	22.60	22.27

<sup>a</sup>(Katiyar ve diğ. 1971)

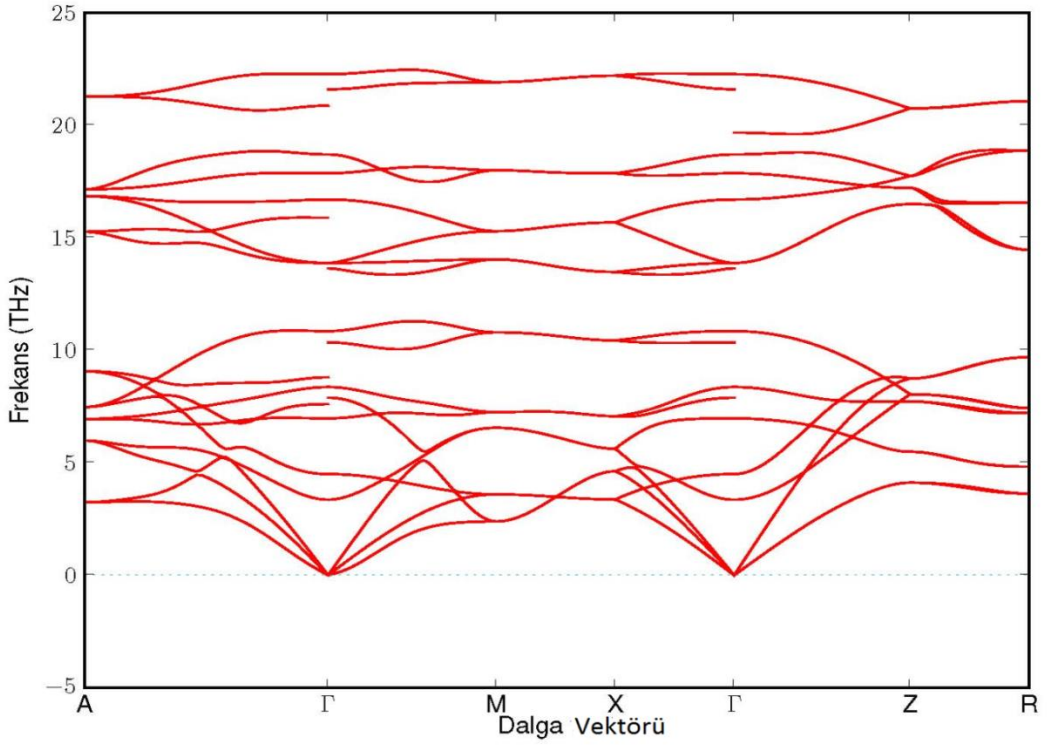
ve örgü dinamiği hesaplamalarının tamamında bu potansiyel türü kullanılmıştır. SnO<sub>2</sub> malzemesinin US (LDA) Sn(d) potansiyelleri kullanılarak hesaplanan dispersiyonları Şekil 4.7' de gösterilmiştir. Polarizasyon kaynaklı uzun dalga LO ve TO modlarındaki kaymaları hesaplayabilmek için dinamik matrise analitik olmayan



**Şekil 4.6:** SnO<sub>2</sub> malzemesinin farklı potansiyeller kullanılarak Brillouin Bölgesi merkezi  $\Gamma(0, 0, 0)$  civarında akustik mod frekanslarının davranışları, a) PAW (GGA)PBE Sn, b) PAW (LDA) Sn, c) US (LDA) Sn, d) US (LDA) Sn(d).



**Şekil 4.7:** SnO<sub>2</sub> malzemesi rutil yapısının US (LDA) Sn(d) potansiyeli kullanılarak hesaplanan dispersiyonları.



**Şekil 4.8:** Boyuna ve enine optik modlarda polarizasyon kaynaklı frekans kaymaları (LO/TO) dahil edildiğinde SnO<sub>2</sub> rutil yapı dispersiyonları.

terim katkılarının yapılması gerekmektedir. Bu amaçla DFPT metoduyla SnO<sub>2</sub> rutil yapısının makroskopik dielektrik sabiti ve Sn<sup>+4</sup> ve O<sup>-2</sup> iyonlarının etkili Born yükleri hesaplanmıştır. Makroskopik dielektrik tensörü ve etkili Born yükleri sırasıyla aşağıda verilmiştir:

$$\epsilon = \begin{pmatrix} 4.185 & 0.000 & 0.000 \\ 0.000 & 4.185 & 0.000 \\ 0.000 & 0.000 & 4.509 \end{pmatrix}, \quad (4.1)$$

$$Z^*(\text{Sn}) = \begin{pmatrix} 3.945 & 0.378 & 0.000 \\ 0.378 & 3.945 & 0.000 \\ 0.000 & 0.000 & 4.275 \end{pmatrix}, Z^*(\text{O}) = \begin{pmatrix} -1.972 & -0.598 & 0.000 \\ -0.598 & -1.972 & 0.000 \\ 0.000 & 0.000 & -2.136 \end{pmatrix}, \quad (4.2)$$

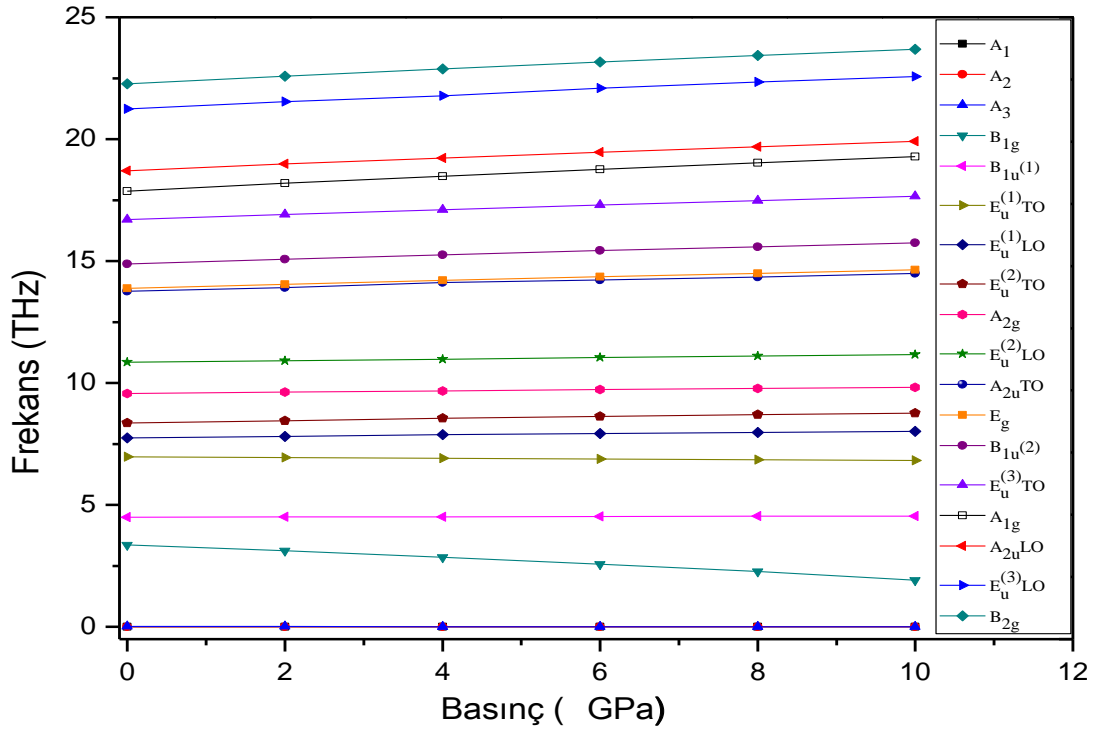
LO/TO kaymalarının dahil edildiği dispersiyonlar Şekil 4.8’ de görülmektedir. BB merkezi  $\Gamma$  noktasında hesaplanan frekans değerlerinin elde edilebilen deneysel ve teorik çalışmalar ile karşılaştırılması Tablo 4.8’ de verilmiştir. İlk üç akustik mod A<sub>1</sub>, A<sub>2</sub> ve A<sub>3</sub> sıfır (THz) frekans değerinde üst üste çakışmaktadır. Raman aktif modlar A<sub>1g</sub>, B<sub>1g</sub>, B<sub>2g</sub> ve E<sub>g</sub> % 0- 5.3 aralığında, IR aktif modlar A<sub>2u</sub> ve 3 tane E<sub>u</sub> % 3.3-9.6 aralığında ve sakin modlar B<sub>1u</sub> ve A<sub>2g</sub> modları % 5-14.6 aralığında değişen oranlarda deney sonuçlarından sapma göstermişlerdir. Frekansların tamamının ölçüldüğü deneysel çalışmada ölçümlerin 300 K ve 100 K değerleri verilmiştir (Katiyar ve diğ. 1971). Veriler genel olarak 100 K sonuçlarından alınmış, 100 K sonucunun olmadığı modlar için 300 K sonuçları kullanılmıştır. O K hesaplarının sonuçlarının deney sonuçları ile bu derece uyumlu olması ilk prensipler hesaplarından DFT yönteminin başarılarındanadır. SnO<sub>2</sub> rutil fazı dispersiyonlarının basınç ile değişimleri 0, 2, 4, 6, 8 ve 10 GPa basınç değerleri için hesaplanarak incelenmiştir ve sonuçlar Şekil 4.9’ da gösterilmiştir. Akustik modlar ile B<sub>1g</sub> ve E<sub>u</sub><sup>(1)</sup>(TO) mod frekansları dışındaki bütün frekanslar basınç artmasıyla birlikte artmaktadır. E<sub>u</sub><sup>(1)</sup>(TO) frekansı ve akustik mod frekansları değişmezken B<sub>1g</sub> frekansının azaldığı görülmektedir. Bu olay mod yumuşaması olarak bilinmektedir ve kararlı bir fazın yine kararlı bir diğer faza dönüşmesinin yani ferroelastik faz geçişinin bir göstergesi olarak yorumlanmaktadır. Yapılan yapısal hesaplamalarda rutil fazdan CaCl<sub>2</sub> fazına geçişin 11.6 GPa ve 7.2 GPa basınçlarda (bkz. Tablo 4.1 ve 4.2) gerçekleşeceği hesaplanmıştır.

**Tablo 4.8:** SnO<sub>2</sub> rutil yapı dispersiyonlarına boyuna ve enine optik modlarda polarizasyon kaynaklı frekans kaymaları (LO/TO) dahil edildiğinde BB merkezi  $\Gamma$  noktasında hesaplanan frekans değerlerinin elde edilebilen deneysel ve teorik çalışmalar ile karşılaştırılması.

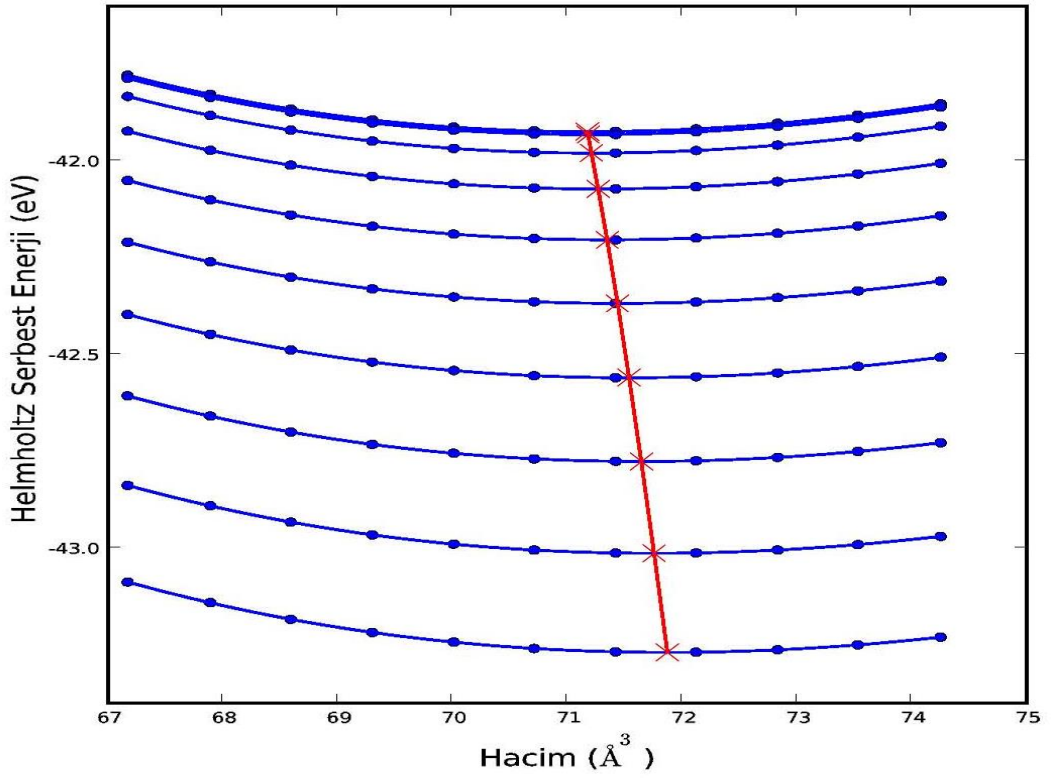
Mod (THz)	Bu çalışma	Deney <sup>a</sup>	Deney <sup>b</sup>	Deney <sup>c</sup>	Teori <sup>d</sup>	Teori <sup>e</sup>	Teori <sup>f</sup>	Teori <sup>g</sup>
A <sub>1g</sub>	18.11	19.13	19.00	19.07	19.13	18.98	18.51	19.36
A <sub>2g</sub>	10.19	11.93			10.98	10.79	9.60	8.94
B <sub>1g</sub>	2.94	3.00	3.69		3.14	3.12	2.48	4.32
B <sub>2g</sub>	22.27	23.44	23.26	23.29	22.84	22.93	22.00	22.23
E <sub>g</sub>	14.24	14.27	14.24	14.21	14.08	14.03	13.86	14.59
B <sub>1u</sub> <sup>(1)</sup>	4.41	4.20			4.40	4.41	4.15	3.93
B <sub>1u</sub> <sup>(2)</sup>	14.24	15.14			17.54	16.91	16.57	17.47
A <sub>2u</sub> (TO)	13.82	14.30			13.82	13.67	13.71	14.23
E <sub>u</sub> <sup>(1)</sup> (TO)	6.75	7.31			7.24	6.69	6.00	5.34
E <sub>u</sub> <sup>(2)</sup> (TO)	8.42	8.78			8.57	8.54	8.11	8.16
E <sub>u</sub> <sup>(3)</sup> (TO)	16.97	18.53			18.43	18.38	17.51	18.24
A <sub>2u</sub> (LO)	19.10	21.13			19.70	20.09	19.44	14.22
E <sub>u</sub> <sup>(1)</sup> (LO)	8.00	8.27			8.36	8.06	7.55	8.16
E <sub>u</sub> <sup>(2)</sup> (LO)	10.61	10.97			12.18	10.04	9.20	8.16
E <sub>u</sub> <sup>(3)</sup> (LO)	21.59	23.08			21.09	22.33	21.34	18.24

<sup>a</sup>(Katiyar ve diğ. 1971), <sup>b</sup>(Peercy ve Morosin 1973), <sup>c</sup>(Hellwig ve diğ. 2003), <sup>d</sup>(Parlinsky ve Kawazoe 2000), <sup>e</sup>(Lan ve diğ. 2012), <sup>f</sup>(Borges ve diğ. 2010), <sup>g</sup>(Gupta ve diğ. 2013).

Harmonik olmayan etkilerden anharmonik (doğrudan sıcaklık etkisi) katkılar psödo-harmonik yaklaşım yapılarak hacim kaynaklı olanlar ise kuazi-harmonik yaklaşım (bkz. Denklem 3.69) yapılarak hesaplanabilmektedir. Deneysel çalışmanın bir tanesinde SnO<sub>2</sub> malzemesinde 0-500 K sıcaklık aralığında saf hacim kaynaklı katkıların, saf sıcaklık kaynaklı katkılardan daha baskın olduğu ve saf sıcaklık katkılarının enerjisinin harmonik yaklaşım ile hesaplanan enerjilerin % 1' i mertebesinde veya daha az olduğu bildirilmiştir (Peercy ve Morosin 1973). Diğer bir



Şekil 4.9: SnO<sub>2</sub> rutil yapı mod frekanslarının basınç ile değişimleri.



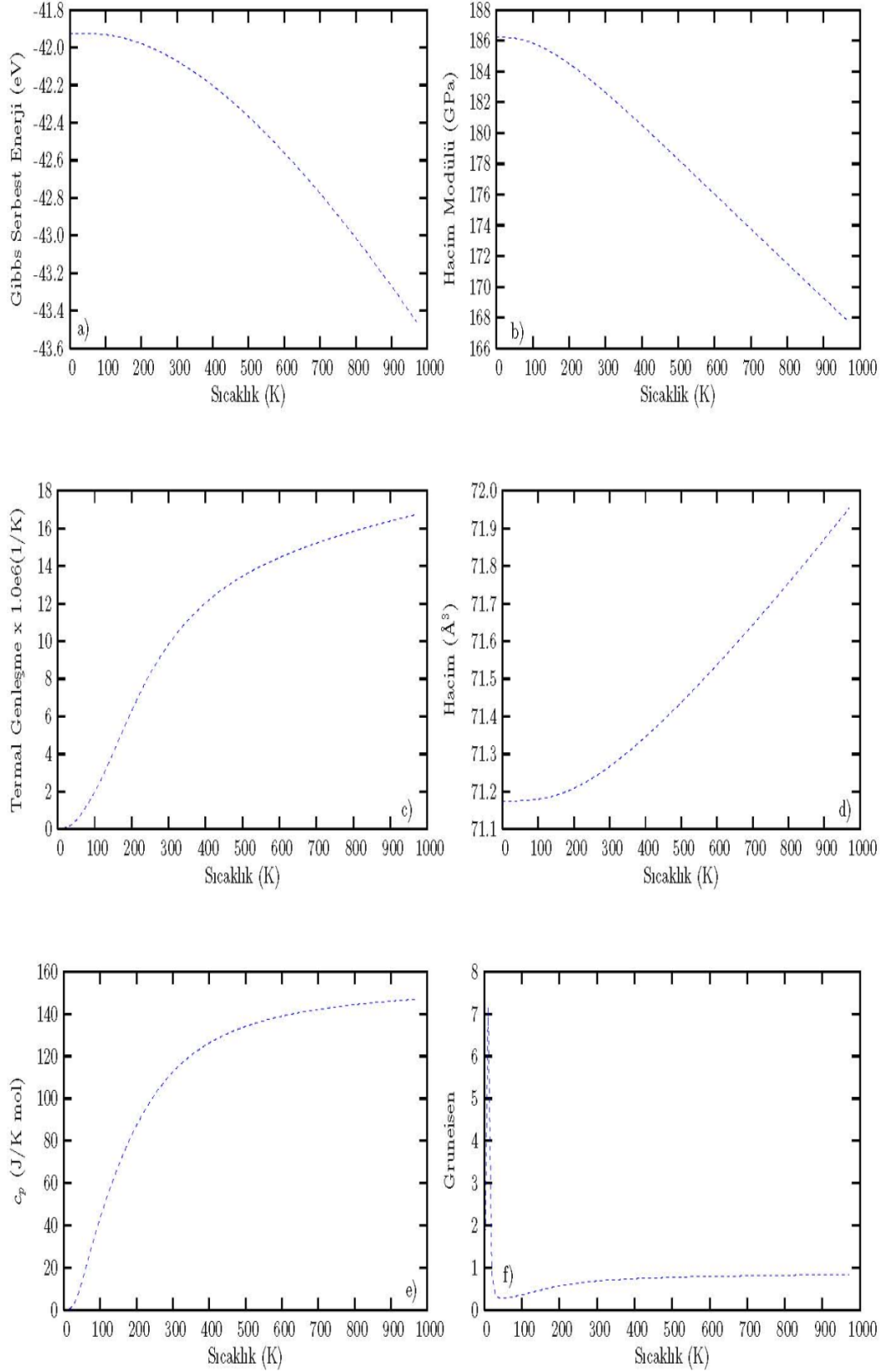
Şekil 4.10: Denge hacmi civarında Helmholtz serbest enerjisinin değişimleri. Düşey çizgi minimum enerjilerden geçmektedir.

deneysel çalışmada bu iki tür katkılar 83-873 K sıcaklık aralığında karşılaştırılmıştır (Lan ve diğ. 2012). Bu deneysel çalışmalar SnO<sub>2</sub> malzemesinin kuazi-harmonik yaklaşım yapılarak incelenmesine oldukça yatkın olduğunu göstermektedir.

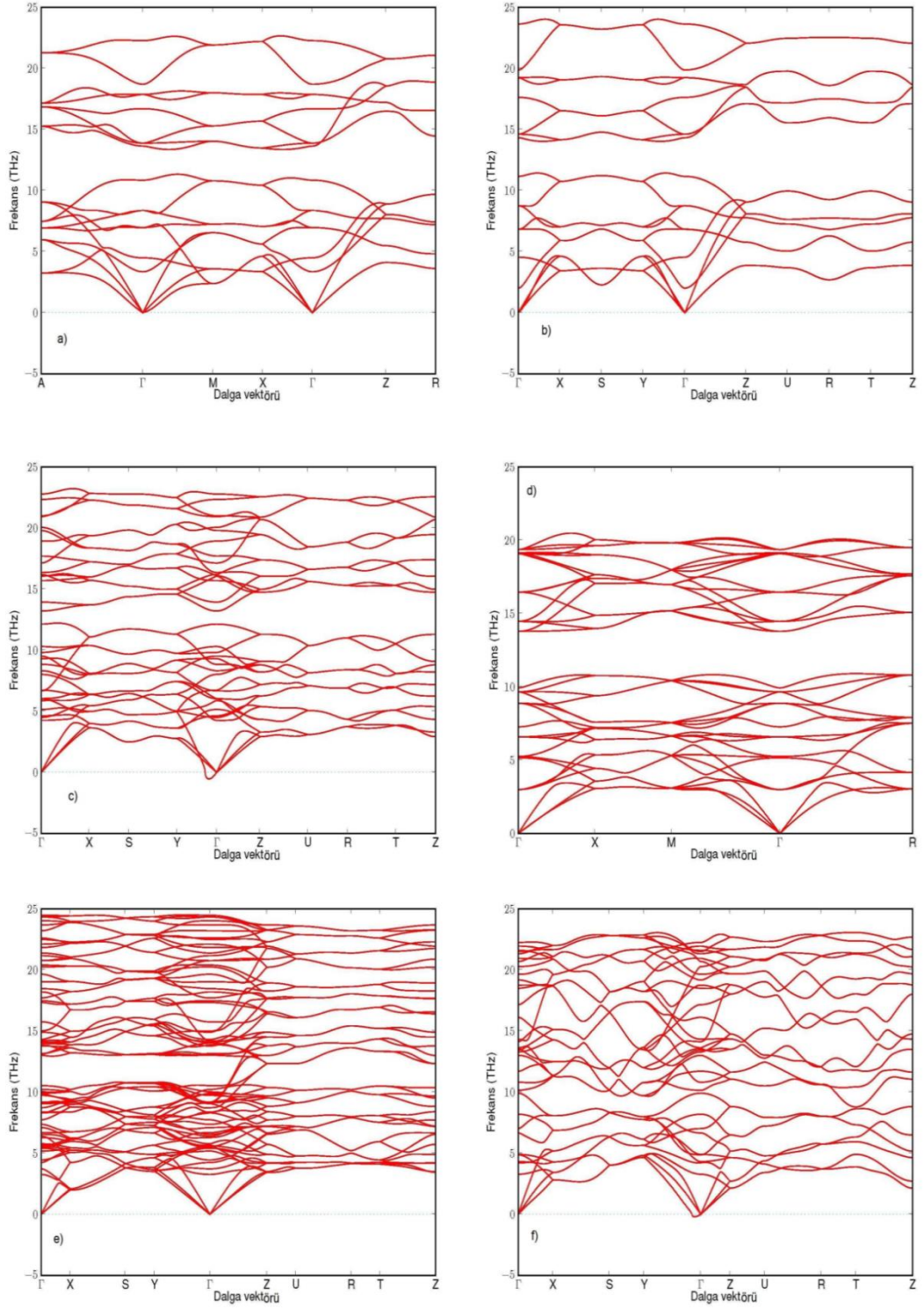
Kuazi-harmonik yaklaşım yapabilmek için denge hacmi ve civarında on bir farklı hacim için Helmholtz serbest enerjileri hesaplanmıştır. Helmholtz serbest enerji-hacim grafiği Şekil 4.10' da gösterilmiştir. 0-990 K sıcaklık aralığı için kuazi-harmonik yaklaşım yapılarak Gibbs serbest enerjisinin, B hacim modülünün, termal genleşme katsayısının, hacmin,  $c_p$  sabit basınç öz ısısının ve Grüneisen parametresinin sıcaklık ile değişimleri hesaplanmıştır ve Şekil 4.11' de gösterilmiştir. DFT metodu ile taban durum ( $T = 0$  K) hesapları yapıldığı göz önüne alındığında kuazi-harmonik yaklaşımın bazı fiziksel özelliklerin sıcaklığa bağlı davranışlarını hesaplamada büyük avantaj sağladığı görülmektedir. Gibbs serbest enerjisi ve hacim modülü sıcaklık artarken azalmakta, termal genleşme ve hacim ise artmaktadır. Bu tez çalışmasında hesaplanan termal genleşme katsayısının oda sıcaklığı ( $T=300$  K) değeri  $11.2 \times 10^{-6}$  (1/K), deneysel olarak ölçülen  $11.7 \times 10^{-6}$  (1/K) değeri ile oldukça uyumludur (Percy ve Morosin 1972). Sabit hacim öz ısısı  $c_p$  sıcaklık artmasıyla birlikte artmaktadır. Grüneisen parametresinin ise 1 civarında olduğu hesaplanmıştır.

SnO<sub>2</sub> malzemesinin deneysel olarak gözlemlendiği kesinleşen ve yapısal parametrelerinin belirlendiği yapısal fazlarının optimize edilmiş yapıları (0 K sıcaklığı ve sıfır basınç) kullanılarak dispersiyonları hesaplanmış ve termodinamik kararlılıkları incelenmiştir. Bazı deneysel çalışmalarda sıcaklık ve basınç artırıldığında malzemenin bazen tamamının bazen ise bir kısmının faz dönüşümüne uğrayarak tesbit edilemez oldukları bildirilmiştir. Bu nedenden dolayı yapısal fazların sıfır basınç optimize yapılarının yerine bu çalışmada ön görülen faz geçiş basıncı  $P_T$  veya civarında bir basınç değerindeki yapıları kullanılarak dispersiyonlarının hesaplanmasının daha gerçekçi olacağı değerlendirilmiştir ve dispersiyonlar yeniden hesaplanmıştır. Rutil yapı (0 GPa), CaCl<sub>2</sub> (7.07 GPa),  $\alpha$ -PbO<sub>2</sub> (9.75 GPa), pirit (15.00 GPa), ZrO<sub>2</sub> (33.96 GPa) ve cotunit yapı (43.62 GPa) hesaplanan dispersiyonları Şekil 4.12' de gösterilmektedir. Bu dispersiyonlar incelendiğinde  $\alpha$ -PbO<sub>2</sub> fazı dışındaki bütün fazların termodinamik olarak kararlı oldukları görülmektedir yani negatif frekansları yoktur.  $\alpha$ -PbO<sub>2</sub> fazının fonon





**Şekil 4.11:** Kuazi-harmaonik yaklaşım uygulanarak a) Gibss serbest enerjisi, b) B hacim modülü, c) Termal genleşme katsayısı, d) Hacim, e)  $c_p$  sabit basınç öz ısısı, f) Grüneisen parametresinin sıcaklık ile değişimleri.

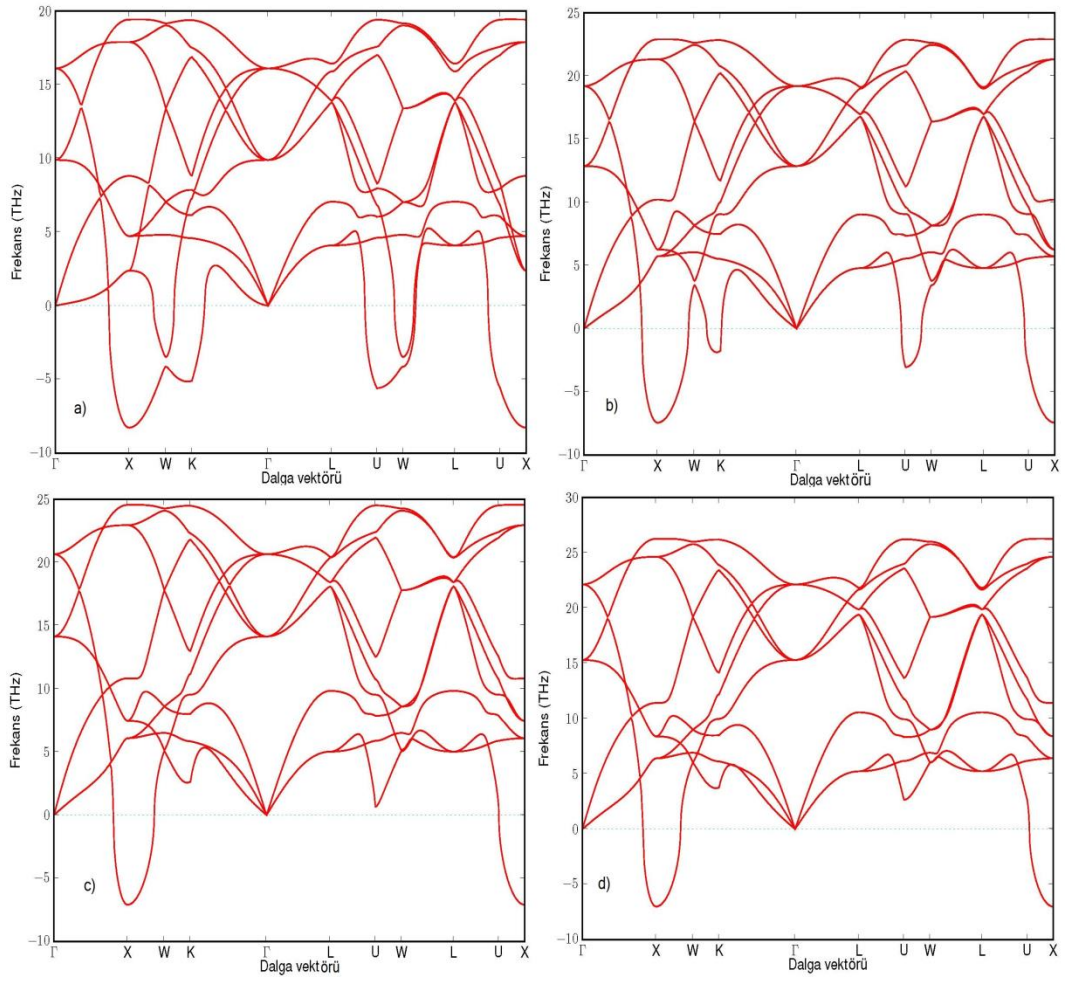


**Şekil 4.12:** SnO<sub>2</sub> yapısal fazlarının dispersiyonları ve hesaplandıkları basınç değerleri a) Rutil (0 GPa), b) CaCl<sub>2</sub> (7.07 GPa), c)  $\alpha$ -PbO<sub>2</sub> (9.75 GPa), d) pirit (15.00 GPa), e) ZrO<sub>2</sub> (33.96 GPa) f) cotunit (43.62 GPa).

dispersiyonları ise deneysel çalışmalar ile birlikte değerlendirilmelidir. Bu alandaki başarılı deneylerden birisinde bu faz gözlenememiştir. Sebep olarakta bu fazın kararlı

olduğu basınç bölgesinin atlanmış olabileceği, bu fazın oluşumu için gerekli termal engelin aşılamamış olması veya yine bu fazın oluşumunda yüksek kesme zoru gerekmesi gösterilmektedir (Siheh ve diğ. 2006). Deneysel çalışmalar iki aşamalı olarak gerçekleştirilirler. Birinci aşama ısıtma-sıkıştırma ve ikinci aşama ise soğutma-gevşetme süreçleridir. Diğer bir deneysel çalışmada ise oda sıcaklığında ısıtma yapmadan sadece basınç uygulandığını malzemenin rutil fazdan pirit faza direk geçiş yaptığı yani  $\text{CaCl}_2$  ve  $\alpha\text{-PbO}_2$  fazlarının görülmediği, ısıtma yapıldığında ise  $\text{CaCl}_2$  fazının olduğu deneyin ilerleyen aşamalarında ise  $\alpha\text{-PbO}_2$  fazının oluşmaya başladığı fakat  $\text{CaCl}_2$  fazının  $\alpha\text{-PbO}_2$  fazına dönüşümü tamamlanmadan her iki fazın birlikte pirit fazına dönüştüğü bildirilmiştir. İkinci aşamada ise numune NŞA ulaşana kadar devam edilmiş numunenin yarısının rutil faza geri dönüşmüş olduğu diğer yarısının da  $\alpha\text{-PbO}_2$  fazından olduğu ve  $\alpha\text{-PbO}_2$  fazının yapısal parametrelerinin bu şekilde belirlenebildiği bildirilmiştir (Haines ve Léger 1997). Deneysel verilerden anlaşılacağı gibi bu faz termal aktivasyon gerektiren bir fazdır ve normal şartlara döndükten sonra numunenin yarısının bu fazdan olduğu ve yapısal parametrelerinin tespiti mümkün olduğuna göre bu faz kararlı bir fazdır. Simülasyon çalışmalarında optimizasyonlar yapılırken iyonik rahatlamalara izin verilmesi termal etkileri çok küçük bir oranda temsil etse de bunun termal bariyeri aşmaya yetmediği uluslararası bir çalışmamızda anlatılmaktadır (Erdem ve diğ. 2015).

Bazı teorik çalışmalarda var olduğu ve faz sıralamasında  $\text{ZrO}_2$  fazından sonra cotunit fazından önce yer aldığı ileri sürülen florit fazı hakkında şimdilik deneysel bir çalışma bulunamamıştır. Yapısal çalışmalarımızda bu fazın  $\text{SnO}_2$  malzemesinin bir fazı olmasının mümkün görünmediği, deneysel olarak gözlenmesi durumunda ise cotunit fazından sonra gözlenmesi gerektiği bildirilmiştir. Bu fazın 0, 38, 63 ve 96 GPa basınçlarda dispersiyonları hesaplanmış ve Şekil 4.13' te gösterilmiştir. Dispersiyonların tamamında termodinamik kararsızlık tesbit edilmiştir ve florit fazının  $\text{SnO}_2$  malzemesinin fazı olamayacağı sonucuna varılmıştır. Teorik olarak kararlı olmayan bu fazın sıcaklık ve basınç etkilerinin birlikte incelendiği deneysel çalışmalarla incelenmesi gerekmektedir.



**Şekil 4.13:** SnO<sub>2</sub> malzemesinin florit yapısında farklı basınçlardaki dispersiyonları  
a) 0 GPa, b) 38 GPa, c) 63 GPa, d) 96 GPa.

## 5. SONUÇLAR VE ÖNERİLER

- Kalay bazlı malzemelerden SnO malzemesinin ilk prensipler hesaplamalarından DFT metodu ile PAW (GGA) potansiyellerinin PBE tipi kullanılarak yapısal optimizasyonları yapılmıştır. Deneysel olarak litharge (tetragonal) yapıda gözlenen malzemenin yapısal parametrelerinin deney sonuçları ile uyumlu oldukları görülmüştür.

- En son teknolojik ürünlerde çok kullanılan diğer bir kalay tabanlı malzeme olan SnO<sub>2</sub> (cassiterite) yarı iletken malzemesinin yapısal ve mekanik özellikleri, enerji band aralığı, örgü dinamiği hesapları yapılmıştır. Kuantum mekanik hesapların yapıldığı DFT metodu ile harmonik yaklaşımda taban durum özellikleri (T = 0 K) hesaplanabilmektedir. Kuazi-harmonik yaklaşım altında hesaplar yapılması bazı fiziksel özelliklerin sıcaklık ile değişimlerinin elde edilmesine imkan vermektedir.

- Hesaplamalar yapılırken PAW (GGA) tip PBE, PAW (LDA), US (LDA) potansiyellerinin kalay atomunun dört valans elektronlu olduğu Sn ve ondört valans elektronlu olduğu Sn(d) tipleri kullanılmış ve sonuçlar karşılaştırmalı olarak verilmiştir. SnO<sub>2</sub> malzemesinin deneysel olarak gözlenmiş ve yapısal parametreleri belirlenmiş olan altı farklı yapısal fazı vardır. Deneylerde gözlenme sıralarına göre bunlar: Rutil (tetragonal), CaCl<sub>2</sub> (ortorombik),  $\alpha$ -PbO<sub>2</sub> (ortorombik), pirit (kübik), ZrO<sub>2</sub> (ortorombik) ve cotunit (ortorombik) fazlardır.

- Yapısal optimizasyonlar ilk olarak PAW (GGA) potansiyellerinin PBE tipi kullanılarak yapılmıştır. Hesaplamalarda elde edilen faz sıralaması deneysel olan ile aynıdır. Örgü parametreleri aynı potansiyellerin kullanıldığı diğer teorik çalışmalar ile uyumlu, deneysel değerlerden ise % 1-2 oranında daha büyüktür. P<sub>T</sub> faz geçiş basınçları son iki faza geçiş dışındakiler deney sonuçları ile uyumludur. Yapısal hesaplar DFT metodunun başarılı olduğu bir alandır.

- Yapısal hesaplamalar US (LDA) potansiyellerinin iki farklı türü Sn ve Sn(d) kullanılarak tekrarlanmıştır. Sn potansiyelinin kullanıldığı çalışmada rutil fazdan pirit faza direk geçiş tesbit edilmiş yani CaCl<sub>2</sub> ve  $\alpha$ -PbO<sub>2</sub> fazları görülmemiştir. Sn(d)

potansiyeli kullanıldığında ise deneylerde gözlenen faz sıralaması eksiksiz elde edilmiştir. Sn potansiyeli ile hesaplanan örgü parametreleri deney sonuçlarına Sn(d) ile hesaplanandan daha yakın olmasına rağmen her iki potansiyel sonuçları da deneysel çalışmalardan % 1-2 oranında daha küçüktür. Yine hesaplanan  $P_T$  faz geçiş basınçları son iki faz dışında deney sonuçları ile uyumludur, son iki  $P_T$  değeri deney sonuçlarından düşüktür. Hesaplanan  $B_0$  hacim modülleri ilk üç fazda deney sonuçları ile uyumludur, son üç fazda ise uyum giderek düşmektedir. Standart DFT optimizasyonları denge hacmi civarında (pozitif ve negatif basınç bölgelerinde) yapılmaktadır. Halbuki bir fazın deneysel olarak gözlemlendiği basınç ve üzeri basınç değerlerinde yapılması durumunda deneysel uyumluluk tekrar yakalanmaktadır.

- Mekanik özelliklerden SnO<sub>2</sub> rutil yapısının ikinci mertebe elastik sabitleri hesaplanmıştır. Hesaplamalarda PAW ve US potansiyellerinin Sn ve Sn(d) olanları ile B hacim modülünün BM fitinden alındığı ya da  $\varepsilon_1 = \varepsilon_2 = \varepsilon_3 = \delta$  zorlanması ile elde edildiği farklı kombinasyonlar kullanılmıştır. SnO<sub>2</sub> malzemesinin hesaplanan  $C_{ij}$  elastik sabitlerinin deney sonuçları ile en uyumlu olanlarının US (LDA) Sn potansiyeli ve B hacim modülünün  $\varepsilon_1 = \varepsilon_2 = \varepsilon_3 = \delta$  zorlanmasından alındığı kombinasyon sonuçları olduğu görülmüştür. Deneysel sonuçtan sapma oranının % 6' dan daha küçük olduğu bu uyum DFT metodunun büyük başarılarından birisidir.

- Tetragonal yapıda altı, kübik yapıda üç ve ortorombik yapılarda dokuz tane elastik sabiti vardır. Bu tez çalışmasında SnO<sub>2</sub> malzemesinin deneysel olarak gözlenen tüm fazlarının elastik sabitleri ve bu sabitlerin basınç ile değişimleri ilk kez hesaplanmış ve literatüre kazandırılmıştır. Bu fazlar mekanik olarak kararlıdır.

- SnO<sub>2</sub> yarı iletken malzemesinin deneysel olarak ölçülen band aralık enerjisi 3.6 eV' tur. Bu tez çalışmasında PAW (GGA) potansiyellerinin PBE tipi ile 0.63 eV, US (LDA) potansiyelleri ile hesaplanan 1.3 eV değeri aynı tür potansiyellerin kullanıldığı diğer teorik çalışmalar ile oldukça uyumlu olmasına rağmen deneysel değerden düşüktür. Nedeni ise GGA ve LDA fonksiyonelleri ile taban durum hesaplarının yapıldığı DFT metodunda, enerjinin yoğunluğa göre türevlerinin kesikli olması gerekirken süreklilik göstermesidir. Geliştirilen HSE ve B3LYP gibi hibrit fonksiyoneller ile deney sonuçlarına uyumluluk yakalansa da gerçek çözümün uyarılmış durum hesaplarında (GW ve TDDFT) aranması daha tutarlı olacaktır.

- SnO<sub>2</sub> rutil yapı örgü dinamiği hesapları dört farklı potansiyel PAW (GGA) potansiyelleri PBE Sn tipi, PAW (LDA) Sn, US (LDA) Sn ve US (LDA) Sn(d) kullanılarak yapılmıştır. Birim hücrenin altı atom içerdiği yapıda üçü akustik onbeşi optik olan frekansların tamamı göz önüne alındığında deney sonuçları ile en uyumlu sonuçların US (LDA) Sn(d) potansiyeli ile elde edildiği görülmüş ve tüm örgü dinamiği hesaplamaları bu potansiyel tipi ile yapılmıştır. BB merkezinde  $\Gamma(0,0,0)$  kutuplanma kaynaklı frekans kaymaları (LO/TO splitting) hesaplanmıştır. A<sub>2g</sub> frekansının haricindeki frekanslarda deneysel sonuçtan sapma % 10' un altındadır. Bu da DFT metodu ile örgü dinamiği hesaplamalarının oldukça güvenilir olduğunu göstermektedir.

- Rutil yapı dispersiyonlarının basınç ile değişimleri incelendiğinde optik B<sub>1g</sub> frekansında CaCl<sub>2</sub> yapıya ferroelastik faz geçişinin göstergesi olan fonon yumuşaması görülmüştür.

- Kuazi-harmonik yaklaşım yapmak amacıyla denge hacmi ve civarında onbir farklı hacim için örgü dinamiği hesapları yapılmıştır. Helmholtz serbest enerjileri, Gibbs serbest enerjisinin, B hacim modülünün,  $\beta$  termal genişleme katsayısının, hacmin,  $c_p$  sabit basınç öz ısısının ve Grüneisen parametresinin sıcaklık ile değişimleri 0-990 K aralığında hesaplanmıştır. Elde edilen sonuçlar deney sonuçları ile uyumludur.

- Bu tez çalışmasında rutil faz dışındaki fazların fonon dispersiyonları ilk kez hesaplanmış ve literatüre kazandırılmıştır. Bu dispersiyonların beş tanesinin termodinamik kararlılık gösterdikleri,  $\alpha$ -PbO<sub>2</sub> fazının ise küçük miktarda da olsa kararsızlık göstergesi olarak değerlendirilen negatif frekans içerdiği görülmüştür. Termal etkilerden dolayı bu fazın deneylerde de özel şartlarda elde edilebildiği fakat yapısal özelliklerinin belirlenebildiği (kararlılık) göz önünde bulundurulduğunda  $\alpha$ -PbO<sub>2</sub> fazının SnO<sub>2</sub> malzemesinin bir fazı olduğu sonucuna varılmıştır.

- Bazı teorik çalışmalarda SnO<sub>2</sub> malzemesinin bir fazı olduğu ve sıralamadaki yerinin de ZrO<sub>2</sub> fazından sonra cotunit fazından önce olduğu ileri sürülen florit (kübik) fazı tez çalışmasında incelenmiştir. Yapısal çalışmalarda SnO<sub>2</sub> malzemesinin fazı olması mümkün gibi görünse de sıralamasının cotunit fazından sonra olabileceği

sonucuna varılmıştır. Fakat 0, 38, 63 ve 96 GPa basınçlarda hesaplanan dispersiyonlarının tamamının termodinamik olarak kararsızlık gösterdiği görülmüş ve florit fazının SnO<sub>2</sub> malzemesinin yapısal bir fazı olmasının mümkün görünmediği sonucuna varılmıştır.



## 6. KAYNAKLAR

- Alfè, D., “PHON: A program to calculate phonons using the small displacement method”, *Comput. Phys. Commun.*, 180, 2622-2633, (2009).
- Aschcroft, N. W., Mermin, N. D., Solid state Physics, USA: Thomson Learning, (1976).
- Becke, A.D., “Density functional exchange-energy approximation with correct asymptotic behavior”, *Phys. Rev. A*, 38, 3098-3100, (1988).
- Becke, A. D. and Johnson, E. R., “A simple effective potential for exchange”, *J. Chem. Phys.*, 124, 221101, 1-4, (2006).
- Beckstein, O., Klepeis, J. E., Hart, G. L. W., Pankrotov, O., “First-principles elastic constants and electronic structure of  $\alpha$ -Pt<sub>2</sub>Si and PtSi”, *Phys. Rev. B*, 63, 134112, 1-12, (2001).
- Bilbao Crystallographic Server: [http://www.cryst.ehu.es/cryst/get\\_kvec.html](http://www.cryst.ehu.es/cryst/get_kvec.html)
- Birch, F., “Finite Elastic Strain Cubic Crystals”, *Phys. Rev.*, 71, 11, 809-824, (1947).
- Blöchl, P. E., “Projector-augmented-wave method”, *Phys. Rev. B*, 50, 17953-17979, (1994).
- Borges, P. D., Scolfaro, M. R., Alves, H. W. L., Silva Jr., E. F., “DFT study of the electronic, vibrational and optical properties of SnO<sub>2</sub>”, *Theor. Chem. Acc.*, 126, 39-44, (2010).
- Brázdová, V. Bowler, D. R., Atomistic Computer Simulations A Practical Guide, Weinheim: WILEY-VCH Verlag GmbH & Co., (2013).
- Callister, Jr., W. D. and Rethwisch, d. G., Materials Science and Engineering An Introduction, USA: John Wiley & Sons, Inc, (2007).
- Ceperley, D. M. and Alder, B. J., “Ground state of the electron gas by a stochastic method”, *Phys. Rev. Lett.*, 45, 566-569, (1980).
- Chang, E. and Graham, E. K., “The Elastic Constants of Cassiterite SnO. and Their Pressure and Temperature Dependence”, *J. Geophys. Res.*, Vol. 80, No. 17, 2595-2599, (1975).
- Çağlar, Y., Çağlar, M., İlican, S., Yakuphanoglu, F., “Determination of the electronic parameters of nanostructure SnO<sub>2</sub>/ p-Si diode”, *Microelectron Eng.*, 86, 2072-2077 (2009).

Debye, P., “Zur Theorie der Spezifischen Wärmen”, *Ann. Phys.*, 344, 789-839, (1912).

Dikici, M., Kristallerin Esneklik Özellikleri, TURKEY: Samsun Ondokuz Mayıs Üniversitesi Yayınları, (1993).

Dirac, P. A. M., “Note on exchange phenomena in Thomas atom”, *Proc. Cambridge Phil. Soc.*, 26, 376-385, (1930).

Dove, M. T., Introduction to Lattice Dynamics, New York: Cambridge University Press, (1993).

Dreizler, R. M. and Providencia, J. (Eds.), in Density Functional Methods in Physics, New York, Plenum, (1985).

Duan, Y., “Electronic properties and stabilities of bulk and low-index surfaces of SnO in comparison with SnO<sub>2</sub> : A first-principles density functional approach with an empirical correction of van der Waals interactions”, *Phys. Rev. B*, 77, 045332, 1-22, (2008).

Einstein, A., “Die Plancksche Theorie der Strahlung und die Theorie der Spezifischen Wärme”, *Ann. Phys.*, 327, 180-190, (1906).

Erdem, İ., Kart, H. H., Cagin, T., “First principles studies of SnO at different structures”, *AMSE [Archives of Mater. Sci. and Eng.]*, 45, 2, 108-113, (2010).

Erdem<sup>a</sup>, İ., Kart, H. H., Cagin, T., “High pressure phase transition in SnO<sub>2</sub> polymorphs by first-principles calculations”, *J.Alloys Comp.*, 587, 638-645, (2014).

Erdem<sup>b</sup>, İ., Kart, H. H., “Density functional theory study of tin and titanium dioxides: Structural and mechanical properties in the tetragonal rutile phase”, *Mat. Sci. Semicon. Proc.*, 28, 59-65, (2014).

Erdem, İ., Kart, H. H., Cagin, T., “First principles lattice dynamics study of SnO<sub>2</sub> polymorphs”, *J.Alloys Comp.*, 633, 272-279, (2015).

Feng, Y., Cui, Y., Liu, J., Logan, B. E., “ Factors affecting the electro-catalytic characteristics of Eu doped SnO<sub>2</sub> / Sb electrode ”, *J. Hazard. Mater.*, 178, 29-34, (2010).

Fermi, E., “A statistical method for the determination of some properties of atoms and Its Application to the Theory of the Periodic System of the Elements”, *Z. Phys.*, 48, 73-79, (1928).

Fröhlich, D. and Kenklies, R., “Band-Gap Assignment in SnO<sub>2</sub> by Two-Photon Spectroscopy”, *Phys. Rev. Lett.*, 41, 25, 1750-1751, (1978).

Gnuplot site: <http://www.gnuplot.info>.

Gracia, L., Beltrán, L. A. and Andrés, J., “Characterization of the High-Pressure Structures and Phase Transformations in SnO<sub>2</sub>. A Density Functional Theory Study”, *J. Phys. Chem. B*, 111, 6479-6485, (2007).

Gupta, S. D., Gupta, S. K., Jha, P. K., Ovsyuk, N. N., “A first principles lattice dynamics and Raman spectra of the ferroelastic rutile to CaCl<sub>2</sub> phase transition in SnO<sub>2</sub> at high pressure”, *Raman Spectrosc.*, 44, 926-933, (2013).

Haines, J., Léger, J. M., “X-ray diffraction study of the phase transitions and structural evolution of tin dioxide at high pressure: Relationships between structure types and implications for other rutile-type dioxides”, *Phys. Rev. B*, 55, 17, 11144-11153, (1997).

Hamann, D. R., Schlüter, M., Chiang, C., “Norm-conserving pseudopotentials”, *Phys. Rev. Lett.*, 43, 1494-1497, (1979).

Hassan, F. E. H., Moussawi, S., Noun, W., Salameh, C., Postnikov, V., “Theoretical calculations of the high-pressure phases of SnO<sub>2</sub>”, *Comput. Mater. Sci.*, 72, 89-92, (2013).

Hellwig, H., Goncharov, A. F., Gregoryanz, E., Mao, H., Hemley, R. J., “Brillouin and Raman spectroscopy of the ferroelastic rutile-to-CaCl<sub>2</sub> transition in SnO<sub>2</sub> at high pressure”, *Phys. Rev. B*, 67, 174110, 1-7, (2003).

Herring, C., “A new method for calculating wave functions in crystals”, *Phys. Rev.*, 57, 1169-1177, (1940).

Hohenberg, P., Kohn, W., “Inhomogeneous electron gas”, *Phys. Rev.*, 136, B864-B871, (1964).

Hwang, S. H., Kim C., Jang, J., “SnO<sub>2</sub> nanoparticle embedded TiO<sub>2</sub> nanofibers-Highly efficient photocatalyst for the degradation of rhodamine B”, *Catal. Commun.*, 12, 1037-1041, (2011).

Jiang, J. Z., Gerward, L. And Olsen, J. S., “Pressure Induced Phase Transformation In Nanocrystal SnO<sub>2</sub>”, *Scripta Mater.*, 44, 1983-1986, (2001).

Katiyar, R. S., Dawson, P., Hargreave, M. M., Wilkonson, G. R., “Dynamics of the rutile structure. III. Lattice dynamics, infrared and Raman spectra of SnO<sub>2</sub>”, *J. Phys. C: Solid state Phys.*, 4, 2421-2431, (1971).

Kılıç, Ç., Zunger, A., “Origins of Coexistence of Conductivity and Transparency in SnO<sub>2</sub>”, *Phys. Rev. Lett.*, Vol. 88 (No. 9), 09550, 1-4, (2002).

Kerker, G. P., “Nonsingular atomic pseudopotentials for solid state applications”, *J. Phys. C*, 13, L189-L194, (1980).

Kieffer<sup>a</sup>, S. W., “Thermodynamics and Lattice Vibrations of Minerals: 1. Mineral Heat Capacities and Their Relationships to Simple Lattice Vibrational Models”, *Rev. Geophys. Space Phys.*, 17, 1-19, (1979).

- Kieffer<sup>b</sup>, S., W., “Thermodynamics and Lattice Vibrations of Minerals: 2. Vibrational characteristics of silicates”, *Rev. Geophys. Space Phys.*, 17, 20-34, (1979).
- Kieffer<sup>c</sup>, S., W., “Thermodynamics and Lattice Vibrations of Minerals: 3. Lattice Dynamics and an Approximation for Minerals With Application to Simple Substances and Framework Silicates”, *Rev. Geophys. Space Phys.*, 17, 35-59, (1979).
- Kittel, C., Introduction to Solid State Physics, USA: John Wiley & Sons Inc., (2005)
- Kohanoff, J., Electronic Structure Calculations for Solids and Molecules: Theory and Computational Methods, Cambridge: Cambridge University Press, (2006).
- Kohn, W., Sham, L. J., “Self-consistent equations including exchange and correlation effects”, *Phys. Rev.*, 140, A1133-A1138, (1965).
- Kokalj, A., “Computer graphics and graphical user interfaces as tools in simulations of matter at the atomic scale”, *Comp. Mater. Sci.*, 28, 155-168, (2003).
- Kresse, G. and Hafner, J., “Ab initio molecular dynamics for liquid metals”, *Phys. Rev. B*, 47, 558-561, (1993).
- Kresse, G. And Furthmüller, J., “Efficient iterative schemes for ab initio total-energy calculations using a plane-wave basis set”, *Phys. Rev. B*, 54, 10, 11169-11186, (1996).
- Kresse, G. And Joubert, J., “From ultrasoft pseudopotentials to the projector augmented-wave method”, *Phys. Rev. B*, 59, 1758-1775, (1999).
- Lan, T., Li, C. W., Fultz, B., “Phonon anharmonicity of rutile SnO<sub>2</sub> studied by Raman spectrometry and first principles calculations of the kinematics of phonon-phonon interactions”, *Phys. Rev. B*, 86, 134302, 1-7, (2012).
- Lee, C., Yang, W., and Parr, R. G., “Development of the Colle-Salvetti correlation-energy formula into a functional of the electron density”, *Phys. Rev. B*, 37, 785-789, (1988).
- Lee, J. G., Computational Material Science An Introduction, Florida: CRC Press, Taylor & Francis group, (2012).
- LeSar, R., Introduction to Computational Material Science Fundamentals to Applications, New York: Cambridge University Press, (2013).
- Li, B., Xiao, Luo, L., Xiao, T., Hu, X., Lu, L., Wang, J., Tang, y., “ Zn<sub>2</sub>SnO<sub>4</sub>-SnO<sub>2</sub> heterojunction nanocomposites fo dye-sensitized solar cells”, *J. Alloys Compd.*, 509 2186-2192, (2011).

Li, Y., Fan, W., Sun, H., Cheng, X., Li, P., Zhao, X., Hao, J. and Jiang, M., “Optical Properties of the High-Pressure Phases of SnO<sub>2</sub> First-Principles Calculation”, *J. Phys. Chem.A*, 114, 1052-1059, (2010).

Lian, P., Zhu, X., Liang, S., Li, Z., Yang, W., Wang, H., “ High reversible capacity of SnO<sub>2</sub> / graphene nanocomposite as an anode material for lithium-ion batteries”, *Electrochim. Acta*, 56, 4532-4539, (2011).

Liu, C. M., Chen, X. R., Ji, G. F., “First-principles investigations on structural, elastic and electronic properties of SnO<sub>2</sub> under pressure”, *Comput. Mater. Sci.*, 50, 1571-1577, (2011).

Martin, R. M., *Electronic Structure Basic Theory and Practical Methods*, New York: Cambridge university Press, (2004).

Mermin, N. D., “Thermal properties of the inhomogenous electron gas”, *Phys. Rev.*, 173, A1441-1443, (1965).

Monkhorst, H. J. and Pack, J. D., “Special points for Brillouin-zone integrations”, *Phys. Rev. B*, 13, no. 12, 5188-5192, (1976).

Nye, J.F., *Physical Properties of Crystals*, London: Oxford University Press, (1957).

Ohgaki, T., Matsuoka, R., Watanabe, K., Matsumoto, K., Adachi, Y., Sakaguchi, I., Hishita, S., Ohashi, N., Haneda, H., “Synthesizing SnO<sub>2</sub> thin films and characterizing sensing performances”, *Sens. Actuators B*, 150, 99-104, (2010).

Ovruksy, A. M. Prokhoda A. S., *Computational Materials Science*, Massachusetts: Elsevier Inc., (2014).

Ono, S., Ito, E., Katsura, T., Yoneda, A., Walter, M. J., Urakawa, S., Utsunami, w., Funakoshi, K., “Thermoelastic properties of the high-pressure phase of SnO<sub>2</sub> determined by in situ X-ray observations up to 30 GPa and 1400 K”, *Phys. Chem. Miner.*, 27, 618-622, (2000).

P4VASP site: <http://www.p4vasp.at/>.

Parlinsky, K., Kawazoe, Y., “Ab initio study of phonons in the rutile structure of SnO<sub>2</sub> under pressure”, *Eur. Phys. J. B*, 13, 679-683, (2000).

Peercy, P. S. and Morosin, B., “Pressure and Temperature Dependences of the Raman-Active Phonons in SnO<sub>2</sub>”, *Phys. Rev. B*, 7,6, 2779-2786, (1973).

Perdew, J. P., Zunger, A., “Self-interaction correction to density-functional approximations for many-electron systems”, *Phys. Rev. B*, 23, 5048-5079, (1981).

Perdew, J.P., Parr, R. G., Levy, M. and Balduz, J. L., “Density-Functional Theory for Fractional Particle Number: Derivative Discontinuities of the Energy”, *Phys. Rev. Lett.*, 49, 1691-1694, (1982).

- Perdew, J. P. and Levy, M., “Physical Content of the Exact Kohn-Sham Orbital Energies: Band Gaps and Derivative Discontinuities”, *Phys. Rev. Lett.*, 51, 1884-1887, (1983).
- Perdew, J. P., Burke, K., and Ernzerhof, M., “Generalized Gradient approximation made simple”, *Phys. Rev. Lett.*, 77, 3865-3868, (1996).
- Perdew, J. P., Kurth, S., Zupan, A., and Blaha, P., “Accurate density functional with correct formal properties: a step beyond the generalized gradient approximation”, *Phys. Rev. Lett.*, 82, 2544-2547, (1999).
- Philips, J. C. And Kleinman, L., “New method for calculating wave functions in crystals and molecules”, *Phys. Rev.*, 116, 287-294, (1959).
- Saniz, R., Dixit, H., Lameon, D. and Partoen, B., “Quasiparticle energies and uniaxial pressure effects on the properties of SnO<sub>2</sub>”, *Appl. Phys. Lett.*, 97, 261901, 1-3, (2010).
- Schleife, A., Varley, J. B., Fuchs, F., Rödl, C., Bechstedt, F., Rinke, P., Janotti, A. and Walle C. G. V., “Tin dioxide from first principles: Quasiparticle electronic states and optical properties”, *Phys. Rev. B*, 83, 035116, 1-9, (2011).
- Schweitzer, C., Reimann, K., Steube, M., “Two-photon spectroscopy of SnO<sub>2</sub> under hydrostatic pressure”, *Solid State. Commun.*, 110, 697-700, (1999).
- Shieh, S. R., Kubo, A. and Duffy, T. S., Prakapenka, V. B. and Shen, G., “High-pressure phases in SnO<sub>2</sub> to 117 GPa”, *Phys. Rev. B*, 73, 014105, 1-7, (2006).
- Slater, J. C., “Wave functions in a periodic potential”, *Phys. Rev.*, 51, 846-851, (1937).
- Srivastava, G. P., *The Physics of Phonons*, New York: Taylor & Francis Group, (1990).
- Thomas, L. H., “The calculation of atomic fields”, *Proc. Cambridge Phil. Soc.*, 23, 542-548, (1927).
- Togo, A., Oba, F., Tanaka, I., “First-principles calculations of the ferroelastic transition between rutile-type and CaCl<sub>2</sub> -type SiO<sub>2</sub> at high pressures”, *Phys. Rev. B*, 78, 134106, 1-9, (2008).
- Togo, A., Chaput, L., Tanaka, I., Hug, G., “First-Principles phonon calculations of thermal expansion in Ti<sub>3</sub>SiC<sub>2</sub> and Ti<sub>3</sub>GeC<sub>2</sub>”, *Phys. Rev. B*, 81, 174301, 1-6, (2010).
- Troullier, N., Martins, J. L., “Efficient pseudopotentials for plain-wave calculations”, *Phys. Rev. B*, 43, 1993-2006, (1991).
- Vanderblit, D., “Soft self-consistent pseudopotentials in a generalized eigenvalue formalism”, *Phys. Rev. B*, 41, 8887-8893, (1990).

VASP site: <https://www.vasp.at/index.php/documentation>.

Vosko, S. H., Wilk, L., and Nusair, M., “Accurate spin-dependent electron liquid correlation energies for local spin density calculations: a critical analysis”, *Can. J. Phys.*, 58, 1200-1211, (1980).

Von Barth, U. and Hedin, I., “A local exchange-correlation potential for the spin polarized case”, *J. Phys. C*, 5, 1629-1642, (1972).

Wallace, D.C., *Thermodynamics of Crystals*, USA: John Wiley & Sons. Inc., (1972).

Wang, Y., Wang, J. J., Wang, W. Y., Mei, Z. G., Shang, s. L., Chen, L. Q. and Liu, Z. K., “A mixed-space approach to first-principles calculations of phonon frequencies for polar materials”, *J. Phys.: Condens. Matter*. 22, 202201, 1-5, (2010).

Wang, X., Zhang, F. X., Syassen, K., Hanfland, M., Mathis, Y.-L., “Structural properties, infrared reflectivity, and Raman modes of SnO at high pressure”, *Phys. Stat. Sol. B*, 241, 14, 3168-3178, (2004).

## 7. ÖZGEÇMİŞ

Adı Soyadı : İsa ERDEM  
Doğum Yeri ve Tarihi : Başmakçı / 15.04.1970  
Lisans Üniversite : Kocaeli Üniversitesi  
Y. Lisans Üniversite : Pamukkale Üniversitesi  
Elektronik posta : ierdem@pau.edu.tr  
İletişim Adresi : Pamukkale Üniversitesi FEF Fizik Bölümü

### Yayın Listesi :

- Erdem, İ., Kart, H.H., Cagin, T., “First-principles studies of SnO at different structures ”, Archives of Materials Science and Engineering, 46(2) 108-113, (2010).
- Erdem, I., Kart, H. H., Cagin, T., “ High pressure phase transitions in SnO<sub>2</sub> polymorphs by first-principles calculations”, Journal of Alloys and Compounds, 587, 638-645, (2014).
- Erdem, I., Kart, H. H., “Density functional theory study of tin and titanium dioxides: Structural and mechanical properties in the tetragonal rutile phase”, Materials Science in Semiconductor Processing, (28) 59-65, (2014).
- Erdem, I., Kart, H. H., Cagin, T., “ First-principles lattice dynamics study of SnO<sub>2</sub> polymorphs”, Journal of Alloys and Compounds, 633, 272-279, (2015).

### Konferans listesi :

- Erdem, İ, Kart, H.H., Çağın, T., “First Principles Studies of SnO at different structures”, 13. International Materials Symposium, 2010 (Pamukkale Üniversitesi).
- Erdem, İ, Kart, H.H., “HIGH PRESSURE POLYMORPHS of SnO<sub>2</sub>”, TFD30, 2013 (İstanbul Üniversitesi).
- Erdem, İ, Kart, H.H., “Density Functional Theory Study of SnO<sub>2</sub> and TiO<sub>2</sub>”, 1st International Semiconductor Science and Technology Conference, 2014 (İstanbul Medeniyet Üniversitesi).